

Luis Henrique Teixeira Caetano

*Um Ambiente de Apoio e Análise à
Identificação Humana Através do DNA
Mitocondrial*

Maceió - AL, Brasil

15 de Maio de 2006

Proc: 20040429671-7.

Documento recebido

Ano: 11 / 08 / 2006

Maria Santana Bouleas

Assessoria de Funcionário

Luis Henrique Teixeira Caetano

*Um Ambiente de Apoio e Análise à
Identificação Humana Através do DNA
Mitochondrial*

Dissertação apresentada como requisito parcial para obtenção do grau de Mestre pelo curso de Mestrado em Modelagem Computacional de Conhecimento do Instituto de Computação da Universidade Federal de Alagoas.

Orientadora Prof. Dra. Eliana Silva de Almeida

Co-orientador:

Prof. Dr. Luiz Antônio Ferreira da Silva

INSTITUTO DE COMPUTAÇÃO
UNIVERSIDADE FEDERAL DE ALAGOAS

Maceió - AL, Brasil

15 de Maio de 2006

Catálogo na fonte
Universidade Federal de Alagoas
Biblioteca Central
Divisão de Tratamento Técnico
Bibliotecária Responsável: Helena Cristina Pimentel do Vale

C128u Caetano, Luis Henrique Teixeira.
Um ambiente de apoio e análise à identificação humana através do DNA Mitocondrial / Luis Henrique Teixeira Caetano. – Maceió, 2006.
144f. : il.

Orientadora: Eliana Silva de Almeida.
Co-Orientador: Luiz Antônio Ferreira da Silva.
Dissertação (mestrado em Modelagem Computacional de Conhecimento) – Universidade Federal de Alagoas. Instituto de Computação. Maceió, 2006.

Bibliografia: f. 135-140.

1. Bioinformática. 2. DNA – Alinhamento de sequência. 3. Sistema de recuperação da informação. 4. Banco de dados. 5. Banco de dados populacional. 6. DNAMt – Perfil. 7. Genética forense. 8. DNA forense. 9. Identificação humana. I. Título.

CDU: 004.78:575.113.1

Dissertação apresentada, como requisito parcial, para a obtenção do grau de Mestre pelo curso de Mestrado em Modelagem Computacional de Conhecimento, do Instituto de Computação da Universidade Federal de Alagoas, aprovada pela comissão examinadora que abaixo assina:



Prof. Dra. Eliana Silva de Almeida
UFAL - Instituto de Computação
Orientadora



Prof. Dr. Luiz Antônio Ferreira da Silva
UFAL - Instituto de Ciências
Biológicas e da Saúde
Co-orientador



Prof. Dr. Luiz Marcos Garcia Gonçalves
UFRN - Dep. de Engenharia de
Computação e Automoção
Examinador



Prof. Dr. Evandro de Barros Costa
UFAL - Instituto de Computação
Examinador

Resumo

A análise do DNA Mitochondrial já provou ser uma poderosa ferramenta de exclusão nos estudos de casos forenses. Ela está sendo utilizada, amplamente, para caracterizar espécimens biológicas forenses, particularmente quando há insuficiente DNA Nuclear em amostras para tipagem. Cabelos, ossos, dentes, dentre outras amostras biológicas que estejam severamente degradadas e ou em estado de decomposição, poderão ser submetidas à análise do seu DNA Mitochondrial.

Cientistas forenses analisam as variações genéticas das regiões HVI e HVII do DNA Mitochondrial para ajudar na identificação de pessoas desaparecidas e em casos criminais. Banco de dados populacionais estão sendo gerados e utilizados para estimar e determinar a raridade de perfis de DNA Mitochondrial obtidos em casos forenses.

Os laboratórios de DNA forense têm grande dificuldade em adotar *softwares* específicos, que se adaptem a sua rotina de trabalho, para dar suporte à gerência da grande quantidade de dados que são obtidos das análises de sequências do DNA Mitochondrial. Conseqüentemente, esta carência tem provocado erros na produção de perfis de DNA Mitochondrial para serem analisados e utilizados em casos forenses.

A presente dissertação descreve a implementação de um sistema de Bioinformática que vem contribuir para o processo de automatização das análises, do armazenamento e da comparação dos dados de perfis de DNA Mitochondrial para a identificação humana.

A ferramenta proposta é desenvolvida com base nos padrões descritos pela literatura, considerando a consistência no alinhamento de sequências do DNA Mitochondrial, gerando o haplótipo e anotando seus polimorfismos com o uso da nomenclatura apropriada, como também facilita a inspeção e validação de polimorfismos devido aos erros que poderão estar presentes na sua sequência de DNA.

A análise dos polimorfismos é uma ferramenta de grande valia na prevenção de erros que possam ser gerados durante todo o processo de manipulação, extração, amplificação, sequenciamento e no alinhamento de sequências, do DNA Mitochondrial. Isto nos habilita a criar, armazenar e estimar a frequência de perfis de DNA Mitochondrial, em banco de dados forenses e populacionais, com qualidade e eficácia.

O sistema de Bioinformática proposto é desenvolvido para ser utilizado no ambiente da *Web* contribuindo para a integração, padronização e a comunicação entre os laboratórios nacionais de DNA forense. Permitindo, assim, o compartilhamento de perfis de DNA Mitochondrial a serem comparados entre os diversos estados do país, usufruindo de um banco de dados comum.

Abstract

The Mitochondrial DNA analysis has proven to be a powerful exclusionary tool in forensic casework. It is being used widely to characterize forensic biological specimens, particularly when there is insufficient nuclear DNA in samples for typing. Hair shafts, bones, teeth and other samples that are severely decomposed may be subjected to Mitochondrial DNA analysis.

Forensic scientists analyse the HVI and HVII Mitochondrial DNA genetic variations to help resolve identity in missing persons and criminal cases. Population databases are being generated and used to estimate and determine the rarity of Mitochondrial DNA profiles obtained in forensic cases.

Forensic DNA labs have great difficulties in adopting specific softwares, which adapt to their work routine, for managing the massive amount of sequence data that are generated. Eventually, this lack has caused many errors on the production of Mitochondrial DNA profiles to be analysed and used for forensic purposes.

The present dissertation describes the implementation of a Bioinformatic system that contributes to the process of automated analysis, data storage and comparison of Mitochondrial DNA profiles for human identification.

The development of the proposed tool is based on the patterns described by the literature, taking in account the consistency of aligning Mitochondrial DNA sequences, which generates the haplotype and annotates its polymorphisms by the appropriate nomenclature, and also facilitates the inspection and validation of the polymorphisms due to the errors that can be present on the raw DNA sequence.

The analysis of polymorphisms is a tool of great value to help prevent errors that may be generated during the entire process of manipulation, extraction, amplification, sequencing and aligning Mitochondrial DNA sequences. Hence this enables us to create, store and estimate the frequency of Mitochondrial DNA profiles, in forensic and population databases, with efficiency and high quality.

The Bioinformatic system proposed is a web-based application that contributes to integrate, standardize and enable the communication between the national forensic DNA laboratories, thus allowing them to share Mitochondrial DNA profiles to be compared among the states of Brazil, through a mutual database.

Dedicatória

*À memória de minha avó Leticia,
eternamente querida ...*

Agradecimentos

Em primeiro lugar, gostaria de agradecer aos meus pais Lúcia e Luiz Carlos Caetano pela minha concepção, criação e por todos os princípios morais e éticos que me foram transmitidos. Em particular, agradeço ao meu pai pela construção do acesso às inúmeras possibilidades de aprendizagem e experiências de vida que me foram oferecidas. Agradeço também, em especial e com muito amor, à minha mãe que sempre me incentivou e me deu forças para lutar pelos meus objetivos e por tudo que a vida tem de melhor a oferecer.

Ao meu avô José Caetano (o Zé) pela sua alegria, energia, espírito jovem e o seu convívio diário nesta reta final dos trabalhos.

À todos os colegas de trabalho do laboratório de DNA forense da UFAL que sempre me receberam de abraços abertos. Em particular, à Adriana e ao Dalmo pela atenção e por tudo que me transmitiram sobre o estudo do DNA Mitocondrial humano.

Aos meus colegas de mestrado Liliane, Alan Pedro, Agnaldo, Frederico e o Glauber pelo companheirismo e a amizade durante esta jornada de dois anos. Dentre também, aos colegas do Instituto da Computação: o Tenório, Marcinho (Gabarito) e o Leandro (o Bill), pela força e atenção.

Aos Professores Dr. Evandro Costa, Dr. João Soletti e Dr. Henrique Pacca pela dedicação na contribuição da minha formação profissional.

À Prof. Dra. Eliana Silva de Almeida, amiga e orientadora, por toda a paciência, disponibilidade, sabedoria e pela confiança depositada em mim para a realização deste trabalho.

À FAPEAL pela subvengão de recursos para a efetivação desta pesquisa.

Por último, gostaria de agradecer ao amigo e Prof. Dr. Luiz Antônio Ferreira da Silva pela idealização deste trabalho, a oportunidade que me foi dada de estar encarregado e responsável pela elaboração e produção deste projeto, pela confiança depositada, a atenção, a paciência e a dedicação na minha formação.

... e viva a comunidade de *Softwares* Livre! Pois sem estas ferramentas a realização desta dissertação seria muito mais difícil.

Sumário

Lista de Figuras

Lista de Tabelas

1	Introdução	p. 17
1.1	O DNA Forense	p. 18
1.2	Motivação	p. 21
1.3	Objetivos	p. 23
1.4	Estrutura do texto	p. 24
2	Análises do DNA Mitocondrial	p. 25
2.1	Localização, estrutura e características	p. 26
2.2	Heteroplasmia	p. 28
2.3	Herança materna	p. 30
2.3.1	Identificação dos restos mortais da tumba de soldados da guerra do Vietnam	p. 32
2.3.2	Identificação dos restos mortais da família Romanov	p. 33
2.4	Sequência de referência	p. 36
2.5	Marcadores forense	p. 37
2.6	Sequenciamento em casos forenses	p. 38
2.7	Exibindo diferenças em relação à rCRS	p. 41
2.8	Interpretando resultados	p. 44
2.9	Estimando o peso da evidência	p. 46

2.10	Banco de dados populacional	p. 48
2.11	Definindo haplogrupos	p. 52
2.12	Normas de alinhamento	p. 54
2.13	Parâmetros de controle de qualidade	p. 55
3	Alinhando Sequências do DNA Mitochondrial Forense	p. 59
3.1	Comparação de sequências biológicas	p. 60
3.1.1	Alinhamento de sequências	p. 62
3.1.2	Esquema de pontuação	p. 63
3.1.3	Tipos de alinhamento de sequências	p. 65
3.1.4	O algoritmo de alinhamento global	p. 67
3.2	Inconsistência no alinhamento de sequências de DNA Mitochondrial . . .	p. 70
3.2.1	Problemáticas do alinhamento	p. 71
3.2.2	Ferramentas para o alinhamento de sequências	p. 78
3.2.3	Alinhando sequências nucleotídeas do DNA Mitochondrial	p. 84
3.2.3.1	A ferramenta de análise Align-EMBOSS	p. 86
3.2.3.2	A ferramenta de análise SeqScape	p. 96
4	O Sistema Eva	p. 103
4.1	Concepção	p. 104
4.2	Modelagem	p. 109
4.2.1	Módulo - Alinhamento de sequências	p. 111
4.2.2	Módulo - Validador de polimorfismos	p. 113
4.2.3	Módulo - Buscador de similaridades	p. 117
4.2.4	Módulo - Calculador probabilístico	p. 121
5	Experimentos e Simulações	p. 123
5.1	Análise das 123 amostras	p. 124

5.2	Estudo de caso forense	p. 126
5.2.1	O caso Mercedes	p. 126
5.2.2	Acidente aéreo	p. 131
6	Conclusões e Trabalhos Futuros	p. 133
6.1	Conclusões	p. 134
6.2	Trabalhos futuros	p. 137
	Referências	p. 139

Lista de Figuras

1	Ilustração dos dois tipos de genoma humano presentes na célula. Fonte: (BUTLER, 2005).	p. 27
2	Esquema do genoma circular do DNA Mitochondrial. No topo do genoma, demarcado com o retângulo vermelho, encontra-se a região hipervariável onde os cientistas forenses analisam o DNA para fins de identificação humana. Fonte: (BRANDON et al., 2004).	p. 27
3	Ilustração da ocorrência de uma heteroplasmia de comprimento, com a observação de um T em meio ao poly-C, em HVII.	p. 29
4	Observação de heteroplasmia na sequência (a) no sítio 16093, possuindo C e T como base, comparando-se a sequência (b) que, no mesmo sítio, possui apenas um T. Fonte: (BUTLER, 2005).	p. 29
5	Ilustração da herança materna do DNAm para 18 indivíduos em uma árvore genealógica hipotética. Os quadrados representam os homens e os círculos as mulheres. Cada tipo único de DNAm é representado por uma letra alfabética. Fonte: (BUTLER, 2005).	p. 30
6	Linagem da família Romanov. Os indivíduos representados pela cor azul são parentes maternos de Tsar II e os em verde são parentes maternos de Tsarina. Os parentes maternos vivos Príncipe Philip (de Tsarina) e Xenia (de Tsar II) serviram como amostra de referência, com os polimorfismos de seus haplotipos relativos as posições da rCRS. Fonte: (BUTLER, 2005).	p. 34
7	Ilustração das 3 regiões hipervariáveis do D-loop para utilização em investigações forenses.	p. 37
8	Processo para avaliação do DNAm.	p. 38
9	Exemplo ilustrativo de um eletroferograma. Os picos gerados do sequenciamento correspondem ao valor de qualidade de cada nucleotídeo na sua posição, representados por suas respectivas cores. Quanto maior o pico, maior o valor de qualidade da base. As bases com N significam que o sequenciador não conseguiu ler ou determinar um único tipo de nucleotídeo (A, G, T ou C) presente naquela posição.	p. 40
10	Ilustração do alinhamento de F e R para gerar a sequência consenso. Note que apenas as bases da F são mantidas tal como a rCRS quando foi sequenciada, para que ambas sejam alinhadas e comparadas entre si.	p. 40

11	Comparação das sequências de amostra (E) e (R) com a rCRS, relatando suas diferenças no seu devido formato de dado.	p. 42
12	Anotação do resultado das inserções.	p. 43
13	Anotação do resultado das deleções. A nomenclatura de anotação nos círculos vermelhos não são recomendadas, porém a sua utilização ainda poderá ser vista na literatura.	p. 43
14	Ilustração de uma tabela do banco de dados de perfis de DNAm ^t do CODIS ^{mt}	p. 49
15	Tela principal do MitoSearch para a entrada dos polimorfismos a serem examinados na sua base de dados.	p. 50
16	Ilustração do relacionamento entre as tabelas do banco de dados populacional do CODIS ^{mt} (FBI). A tabela que armazena os perfis de DNAm ^t é a “ <i>Forensic Profiles</i> ”. Observe que esta tabela foi modelada de forma que cada polimorfismo, do haplótipo do perfil, é representado como sendo um atributo da mesma (pelos números de 1 a 45).	p. 51
17	Distribuição dos haplogrupos nas diversas regiões do mundo.	p. 53
18	Exemplo hipotético da troca de coluna na preparação de uma tabela de dados, demonstrando os polimorfismos das amostras em relação a rCRS. Os pontos representam a igualdade das bases. A linha pontilhada significa a coluna que foi trocada e as setas representam as devidas posições das colunas.	p. 56
19	Alinhamento entre <i>s</i> e <i>t</i> com <i>valor máximo</i> de: $3 \cdot 1 + 3 \cdot -1 + 2 \cdot -2 = -4$	p. 64
20	Alinhamento entre <i>s</i> e <i>t</i> com <i>valor máximo</i> de: $5 \cdot 1 + 0 \cdot -1 + 1 \cdot -2 = -3$	p. 64
21	Alinhamento entre <i>s</i> e <i>t</i> com <i>valor máximo</i> de: $4 \cdot 1 + 2 \cdot -1 + 2 \cdot -2 = -2$	p. 64
22	Matriz gerada para computar alinhamentos ótimos.	p. 68
23	Possível alinhamento ótimo obtido através da matriz ilustrada na figura 22, passando por $a[1,3] \rightarrow a[3,2] \rightarrow a[2,2] \rightarrow a[0,0]$	p. 70
24	Serviços de Bioinformática oferecidos pelo EBI.	p. 80
25	Interface da ferramenta WU-Blast2 com suas diversas opções de configuração do alinhamento, entre DNA ou proteínas, para a busca de similaridades nos bancos de dados.	p. 81
26	Interface “amigável” do InterProScan.	p. 82
27	Interface gráfica do ClustalW para o alinhamento de múltiplas sequências, com suas diversas opções de configuração do alinhamento.	p. 83

- 28 Interface do Align-EMBOSS com suas configurações de alinhamento pré-determinadas para a análise de moléculas de proteína, um grande risco para geração de erros em estudos de casos forenses. p. 88
- 29 Alinhamento local para HVI da amostra LUC-01, contra os 16569pb da rCRS, gerado pelo Align-EMBOSS. Foram mantidos os valores *default* para *Gap Open*, *Gap Extend* e *Matrix*, com *Molecule* para DNA. As entre linhas amarelas destacam a ambiguidade de numeração das bases geradas pela ferramenta, possibilitando ao usuário de cometer os erros das classes 1, 2 e 4, por exemplo: 87T ou 87C (seção 2.13). As entre linhas verdes destacam o alinhamento correto, de acordo com as três recomendações, produzindo os seguintes polimorfismos para HVI: 16111T, 16209C, 16223T, 16290T, 16319A, 16362C. p. 89
- 30 Alinhamento local para HVII da amostra LUC-01, contra os 16569pb da rCRS, gerado pelo Align-EMBOSS. Foram mantidos os valores *default* para *Gap Open*, *Gap Extend* e *Matrix*, com *Molecule* para DNA. As entre linhas amarelas destacam a ambiguidade de numeração das bases geradas pela ferramenta, possibilitando ao usuário de cometer os erros das classes 1, 2 e 4, por exemplo: 202G ou 202A (seção 2.13). As entre linhas verdes destacam o alinhamento correto e as entre linhas vermelhas os incorretos, de acordo com as três recomendações, produzindo os seguintes polimorfismos para HVII: 73G, 116C, 133G, 210G, 235G, 263G, 3091C, 3092T, 310C. p. 90
- 31 Alinhamento global para HVI da amostra LUC-01, contra os 16569pb da rCRS, gerado pelo Align-EMBOSS. Foram mantidos os valores *default* para *Gap Open*, *Gap Extend* e *Matrix*, com *Molecule* para DNA. A entre linha vermelha destaca a enorme quantidade de *gaps* inserido no alinhamento, o que não vai de acordo com as três recomendações. O alinhamento não pode ser exibido por inteiro pois ultrapassou as dimensões do monitor, devido aos 16569pb alinhados. O mesmo experimento foi realizado para HVII da amostra LUC-01 (com as mesmas configurações), apresentando uma taxa de 98% de inserções de *gaps* no alinhamento. p. 91
- 32 Alinhamento local para HVI da amostra LUC-01 contra HVI da rCRS, gerado pelo Align-EMBOSS. Foram mantidos os valores *default* para *Gap open*, *Gap Extend* e *Matrix*, com *Molecule* para DNA. As entre linhas amarelas destacam a numeração incorreta das bases geradas pela ferramenta, possibilitando ao usuário de cometer os erros das classes 1, 2 e 4 (seção 2.13). As entre linhas verdes destacam o alinhamento correto, de acordo com as três recomendações. Porém, a geração incorreta da numeração das bases resulta em uma falha total do processo de alinhamento, produzindo os seguintes polimorfismos para HVI: 88T, 186C, 200T, 267T, 296A, 339C. p. 92

33	Alinhamento local para HIV1 da amostra LUC-01 contra HIV1 da rCRS, gerado pelo Align-EMBOSS. Foram mantidos os valores <i>default</i> para <i>Gap Open</i> , <i>Gap Extend</i> e <i>Matrix</i> , com <i>Molecule</i> para DNA. As entre linhas amarelas destacam a numeração incorreta das bases geradas pela ferramenta, possibilitando ao usuário de cometer os erros das classes 1, 2 e 4 (seção 2.13). As entre linhas verdes destacam o alinhamento correto e a vermelha o incorreto, de acordo com as tres recomendações. Porém, a geração incorreta da numeração das bases resulta em uma falha total do processo de alinhamento.	p. 93
34	Alinhamento global para HIV1 da amostra LUC-01 contra HIV1 da rCRS, gerado pelo Align-EMBOSS. Foram mantidos os valores <i>default</i> para <i>Gap Open</i> , <i>Gap Extend</i> e <i>Matrix</i> , com <i>Molecule</i> para DNA. As entre linhas amarelas destacam a numeração incorreta das bases geradas pela ferramenta, possibilitando ao usuário de cometer os erros das classes 1, 2 e 4 (seção 2.13). As entre linhas verdes destacam o alinhamento correto, de acordo com as tres recomendações. Porém, a geração incorreta da numeração das bases resulta em uma falha total do processo de alinhamento, produzindo os seguintes polimorfismos para HIV1: 88T, 186C, 200T, 267T, 296A, 339C.	p. 94
35	Alinhamento global para HIV1 da amostra LUC-01 contra HIV1 da rCRS, gerado pelo Align-EMBOSS. Foram mantidos os valores <i>default</i> para <i>Gap Open</i> , <i>Gap Extend</i> e <i>Matrix</i> , com <i>Molecule</i> para DNA. As entre linhas amarelas destacam a numeração incorreta das bases geradas pela ferramenta, possibilitando ao usuário de cometer os erros das classes 1, 2 e 4 (seção 2.13). As entre linhas verdes destacam o alinhamento correto e a vermelha os incorretos, de acordo com as tres recomendações. Porém, a geração incorreta da numeração das bases resulta em uma falha total do processo de alinhamento.	p. 95
36	Alinhamento confuso gerado pelo SeqScape da sequência HIV1 da amostra AL09. O resultado gerado foi de HIV1 - 75G, 146C, 153G, 235G, 236C, 263G, 310.1C, 310.2T, 310.3C.	p. 98
37	Exemplo ilustrativo de como são gerados e importados os arquivos ABI do sequenciador, como projeto, para o SeqScape.	p. 99
38	Interface gráfica do SeqScape, demonstrando o resultado da análise de sequências. Observe que podemos visualizar o alinhamento relativo a rCRS e o seu eletroferograma, para que se possa reavaliar a qualidade dos picos das bases das sequências.	p. 100
39	O SeqScape possibilita a edição dos resultados gerado pelo alinhamento.	p. 101
40	Relatório gerado pelo SeqScape com os dados do resultado da análise.	p. 102
41	Ilustração das etapas executadas pelos geneticistas para a análise do DNAmt em estudos de casos forenses.	p. 105

42	Esquema de funcionamento de um sistema <i>Web</i> . A linha verde representa o fluxo da Internet, a laranja a rede local dos terminais e a azul, a rede local do servidor <i>Web</i> . As setas pretas representam o canal de comunicação que interliga as redes.	p. 107
43	Função elaborada para evitar ataques de SQL <i>Injection</i> . Observe que o objetivo é anular qualquer sintaxe de SQL, tags de HTML ou da própria linguagem de programação, e qualquer caractere que venha a possibilitar a ocorrência de um erro da instrução de código utilizado pela aplicação que possa vir a revelar informações cruciais do seu banco de dados.	p. 108
44	Diagrama do fluxo de dados no sistema Eva.	p. 110
45	Arquitetura do sistema Eva - Identificação humana através do DNA Mitochondrial, composta pelos quatro módulos.	p. 110
46	Exemplo de um arquivo Fasta formatado.	p. 111
47	Geração de cada alinhamento das regiões HVI e HVII com os haplótipos anotados de acordo com a padronização, realizado pelo módulo - Alinhamento de sequencias.	p. 112
48	Heurística adotada pelo módulo - Alinhamento de sequencias, na leitura da matriz para obter o alinhamento ótimo. A preferência das setas se dá de acordo com a sequência das cores: verde, laranja e azul.	p. 113
49	Resultado da análise dos polimorfismos do haplótipo da amostra <i>P100001</i> , gerados pelo módulo - validador de polimorfismos, e exibidos pelo módulo - Alinhamento de sequencias.	p. 115
50	Diagrama do módulo - Validador de polimorfismos.	p. 115
51	Verificação de um novo polimorfismos detectado pelo módulo - Validador de polimorfismos.	p. 116
52	Diagrama do módulo - Buscador de similaridades.	p. 119
53	Resultado da análise das comparações entre um perfil de um PD com os perfis de RC, gerado pelo módulo - Buscador de similaridades. As entre linhas verdes representam os perfis RC com os quais se obteve um <i>match</i> em relação ao perfil PD. As entre linhas amarelas representam as variantes em relação a PD.	p. 120
54	Diagrama do módulo - Calculador probabilístico.	p. 122
55	Ilustração do mapa que representa o Estado de Alagoas, indicando os municípios de origem dos 123 indivíduos analisados. Fonte: (BARBOSA, 2006).	p. 124
56	Mutações suspeitas de erro, detectadas pelo Eva.	p. 125

57	Perfil da amostra Cab01, gerado através da análise das sequências de HVI e HVII, pelo Eva. As entre linhas laranjas destacam o polimorfismo que, a princípio, era duvidoso, mas acabou sendo confirmado com a atualização da base de dados de polimorfismos.	p. 128
58	Perfil da amostra Cab02 gerado através da análise das sequências de HVI e HVII, pelo Eva. . . .	p. 129
59	Resultado final do caso CF/M/01 realizado através do Eva.	p. 130

Lista de Tabelas

1	Comparações entre o DNA Nuclear e o DNA Mitochondrial.	p. 27
2	Códigos da 'IUPAC' para denominação da base de sítios que apresentarem mais de um nucleotídeo (heteroplasmia).	p. 42
3	Interpretação de resultados da análise entre duas sequências de DNAmr.	p. 45
4	Exemplo de 4 haplogrupos demonstrando o seu padrão de polimorfismos das regiões codificantes e da região controle, como também a sua origem geográfica.	p. 52
5	Parte da tabela que contém todos os polimorfismos validados pela literatura, da posição 7 à 16567, através do MITOMAP.	p. 114

1 Introdução

*“Toda grande jornada
começa com um pequeno passo.”*

Provérbio Chinês

Neste capítulo são apresentados o objetivo e a estrutura deste trabalho ...

1.1 O DNA Forense

A mais moderna metodologia aplicada mundialmente na identificação humana e, talvez, a mais importante contribuição da ciência para o combate ao crime e à impunidade, é a identificação humana pelo estudo do DNA (*deoxyribonucleic acid*). A utilização do DNA é mais conhecida devido à divulgação de casos famosos na mídia como um instrumento para determinação de paternidade. No entanto, o estudo do DNA tem aplicação muito mais ampla, podendo servir à resolução de casos criminais, identificar restos mortais ou pessoas desaparecidas.

O uso da análise do DNA Forense na resolução de casos que requerem a identificação de pessoas está sendo utilizado nos tribunais com sucesso, sendo comparado e até superando a impressão digital (SILVA; PASSOS, 2002) introduzida a mais de um século como prova investigativa. As polícias têm utilizado as evidências de DNA Forense a não mais do que uma década, que emergiu como uma das ferramentas mais poderosas disponíveis para agentes de execução da lei e para a administração de justiça.

A análise do DNA é a próxima geração de identificação humana na ciência de investigação policial e é também considerada como mais uma ferramenta primordial para a segurança pública. Através do DNA pode-se identificar pessoas através de amostras biológicas como, por exemplo, a partir do sangue ou sêmen desidratados, ossos, bulbo capilar, saliva, pele, suor, esfregaços anais, orais ou vaginais, mesmo em quantidades microscópicas. Esta sua abrangência tem redirecionado os estudos nas academias de formação de polícias em vários países.

O estudo do DNA Mitochondrial também passou a fazer parte do arsenal biotecnológico utilizado para a identificação humana¹. Sua herança é exclusivamente materna: passando da mãe para os filhos, das filhas para os netos e assim sucessivamente. Através desta mais recente metodologia, um indivíduo pode ser identificado a partir da comparação do seu DNA Mitochondrial com aqueles de seus parentes genéticos maternos. A análise do DNA Mitochondrial é a metodologia de escolha para a identificação humana através de restos humanos antigos, por exemplo: a partir de ossos e dentes que resistiram à sua degradação ao longo dos anos, e também, como em investigações criminais onde, por exemplo, as únicas evidências são pêlos sem bulbo ou quando há somente restos mortais altamente degradados obtidos como evidências biológicas. Essa metodologia é ainda utilizada em

¹Em 1996 é utilizado pela primeira vez a evidência do DNA Mitochondrial na corte judicial nos EUA. Paul Ware é condenado por estupro e assassinato de uma garota de 4 anos, depois de ter encontrado um *match* do seu perfil de DNA Mitochondrial com a da amostra de um cabelo encontrado no corpo da criança.

estudos antropológicos e evolutivos. Investigações a partir deste tipo de DNA consistem em sequenciar, alinhar e comparar as regiões hipervariáveis, do genoma mitocondrial, de evidências biológicas e de indivíduos referenciais à luz do conhecimento.

A partir da descoberta das regiões hipervariáveis do DNA, investigações genéticas têm possibilitado a resolução de disputas envolvendo direito de famílias e de nacionalidade. O emprego das inovações surgidas em consequência da evolução do conhecimento científico nessa área estendeu-se a investigações criminais, e hoje, profissionais com conhecimento aprofundados de biologia molecular, genética e estatística (expertos em identificação humana pelo DNA) fazem parte dos quadros técnico-científicos de serviços relacionados com a segurança pública, tornando-se assim altamente importante para os poderes judiciário e executivo, devido ao seu poder de discriminação.

O tipo de herança do DNA Mitocondrial pode ser muito útil em testes de identificação humana porque permite uma comparação direta de sequências de parentes com a mesma linhagem materna, sem ambiguidade causada por recombinação meiótica e mistura de genes nucleares. De fato, quando a amostra sequenciada é comparada com uma pessoa de referência, a probabilidade de um parentesco materno pode ser calculada.

O conhecimento da frequência com que certos tipos de DNA Mitocondrial ocorrem numa dada população é de crucial importância para a aplicação de seus marcadores forenses já que os tipos de sequências de DNA Mitocondrial estão fortemente correlacionadas com origens geográficas, fenótipos ou etnias.

A identificação humana através do DNA Mitocondrial se dá pelo cumprimento de várias etapas, com diferentes processos de análises, realizados a partir de uma amostra biológica em questão. As etapas envolvidas podem ser divididas em duas fases. A primeira se dá pelo trabalho de laboratório, envolvendo processos para a extração e amplificação do DNA, com a manipulação do material da amostra e com produtos bioquímicos. Já a segunda fase se dá pelo uso da computação para dar suporte nos processos de sequenciamento do DNA, alinhamento de sequências, análise de qualidade, armazenamento e comparação de dados, cálculos estatísticos e probabilísticos etc.

Nesta dissertação estuda-se algumas técnicas para o alinhamento de sequências de DNA. Este estudo é realizado para a escolha da técnica mais apropriada para o alinhamento de sequências do DNA Mitocondrial humano em estudos de casos forenses. Veremos que a etapa do alinhamento é uma das mais cruciais e problemáticas, ainda hoje, no estudo do DNA Mitocondrial, bem como também é tratada a forma de anotar o resultado dessa análise para ser armazenado e comparado no banco de dados.

Um dos maiores problemas enfrentados pela identificação humana através do DNA Mitocondrial é a falta de ferramentas específicas para alinhar, gerar o haplótipo², verificar erros e, em seguida, armazenar estas informações em bancos de dados para depois serem analisadas, de maneira comparativa, em busca de similaridades. Diante dessa carência a comunidade forense tem tido dificuldades para gerar bancos de dados populacionais pois o seu uso é indispensável em estudos de casos forenses para realizar cálculos estatísticos e probabilísticos. Estes problemas são aqui tratados e uma solução é apresentada com o desenvolvimento de um sistema computacional.

²Grupo de alelos (polimorfismos do DNA) situados em regiões muito próximas, sendo transmitidos em conjunto, como uma unidade, para os descendentes.

1.2 Motivação

No cenário da Bioinformática a pesquisa está amplamente voltada para o estudo do genoma humano, especificamente na análise de novos genes. Nela, encontram-se linhas de pesquisa voltadas para desvendar proteínas e suas funções. Estudos voltados para a determinação da estrutura 3D da proteína contribuem para revelar a sua real funcionalidade (GIBAS; JAMBECK, 2001; LESK, 2002; BARNES; GRAY, 2003).

No entanto, existe pouca atenção voltada para o estudo do DNA forense. Geneticistas forenses dependem, muitas vezes, da utilização de ferramentas de Bioinformática que sejam genéricas e voltadas para análises genômicas (BENTON, 1996).

A motivação deste trabalho partiu do laboratório de DNA forense da UFAL. Lá detectou-se a escassez de ferramentas específicas para tratar das análises do DNA Mitochondrial forense, com o objetivo de identificar amostras de pessoas desaparecidas.

A Bioinformática é bastante conhecida por possuir como um dos seus primordiais problemas a gerência da grande quantidade de dados que são gerados a partir dos seus estudos genômicos. A problemática não poderia ser diferente em se tratando do DNA Mitochondrial Forense.

O estudo do DNA Mitochondrial forense necessita, como ferramenta básica, uma base de dados de perfis populacionais, visto que o estudo da identificação de pessoas através do DNA é baseado e constituído em cálculos probabilísticos e estatísticos, quanto maior for o tamanho dessa base mais precisa será a estimava deste cálculo. No entanto, a construção desta base de dados precisa ser cuidadosamente elaborada, desde a etapa da tipagem da amostra em questão (fase de laboratório) até a sua fase de análises da sua sequência, o qual é realizada através de softwares de Bioinformática.

A prática atual realizada pelos geneticistas forenses para organizar estas informações se resumem a armazenar seus dados em editores de texto e/ou em planilhas. Tal abordagem é bastante deficiente no que diz respeito a precariedade da formatação que estes dados estão sujeitos a receber para serem, eventualmente, comparados entre si. Sem contar que esta formatação poderá variar entre os laboratórios, o que comprometeria seriamente o compartilhamento destes dados entre eles para serem analisados.

É também visível a falta de integração das ferramentas utilizadas para análise do alinhamento de sequências com as ferramentas de armazenamento de dados. Este problema ocasiona o geneticista forense a ter que editar e copiar o resultado do alinhamento de suas sequências, armazenando-os (digitando) em ferramentas inapropriadas, sem nenhum controle do tipo de dado, para então serem comparados manualmente.

Realizar a identificação humana através do DNA Mitocondrial necessita de uma avaliação rigorosa dos passos para gerar, validar, armazenar, comparar e estimar o peso de perfis de DNA Mitocondrial em estudos de casos forenses. Portanto, este trabalho foi realizado com a finalidade de construir o ferramental necessário de análise e armazenamento, em um banco de dados relacional, integrando e automatizando o seu uso para serem utilizadas no ambiente da *Web*.

1.3 Objetivos

O trabalho ora proposto possui os seguintes objetivos:

1. Desenvolver uma ferramenta para o alinhamento específico de sequências do DNA Mitocondrial.
2. Gerar o haplótipo do perfil de DNA Mitocondrial no seu devido formato de anotação.
3. Elaborar uma ferramenta para a verificação de erros no haplótipo.
4. Construir um banco de dados relacional para comportar e gerenciar as três bases de dados, quais são: de pessoas desaparecidas, reclamantes e de perfis populacionais.
5. Automatizar o processo de armazenamento e comparação de perfis.
6. Estimar o peso de uma evidência ao acaso.

1.4 Estrutura do texto

A dissertação está dividida em seis capítulos. Neste primeiro capítulo é descrito todo o contexto geral do cenário do DNA forense e a utilização do DNA Mitocondrial como instrumento para a identificação humana, em especial, a partir de restos mortais degradados. A justificativa para a realização deste trabalho é descrita através das motivações e, em seguida, são apontados os objetivos a serem atingidos com o ultimar das atividades estabelecidas neste projeto de mestrado.

O segundo capítulo descreve uma introdução ao DNA Mitocondrial focada, basicamente, em suas características de localização e estrutura dentro da célula, informações estas que são utilizadas para o seu estudo em casos forenses. Também são apresentadas, detalhadamente, as técnicas ferramentais utilizadas nas suas análises e as práticas de manipulação dos seus dados.

O terceiro capítulo é especificamente voltado para a discussão das diversas técnicas utilizadas na comparação de sequências biológicas. Este capítulo é uma extensão do segundo capítulo, na apresentação das diversas problemáticas encontradas nas análises do DNA Mitocondrial, onde é descrito, especificamente, a carência de ferramentas para o alinhamento de suas sequências nucleotídeas, com exemplos de uso.

O quarto capítulo descreve uma solução computacional fundamentada de acordo com a concepção das problemáticas apresentadas nos capítulos anteriores. Neste capítulo é descrito, em detalhes, a modelagem do sistema computacional e de seus módulos que, em conjunto, reúnem as ferramentas essenciais para o estudo de casos forenses, através da análise do DNA Mitocondrial humano.

No capítulo cinco são descritos os experimentos e os resultados obtidos, como teste, para comprovar a utilidade do ambiente computacional, proposto no capítulo quatro.

Por último, o capítulo seis apresenta as conclusões gerais deste trabalho e as diversas indicações para trabalhos futuros que visam dar continuidade no desenvolvimento da solução computacional, elaborada pelo presente estudo.

2 *Análises do DNA Mitocondrial*

“O DNA é o mensageiro, que ilumina (nossa conexão com o passado), transmitido de geração para geração, carregado, literalmente, nos corpos de (nossos) antepassados. Cada mensagem traça uma jornada através do espaço e do tempo, uma jornada realizada pelas longas linhas que nascem através das mães antecessoras.”

Bryan Sykes. *The Seven Daughters of Eve*

Este capítulo descreve as características do DNA Mitocondrial, os passos que envolvem a obtenção de resultados em estudos de casos forenses, e também sobre as importantes temáticas envolvidas na interpretação de seus resultados ...

2.1 Localização, estrutura e características

O genoma humano está localizado dentro do núcleo de cada célula. No entanto, existe um pequeno genoma circular encontrado dentro da mitocôndria¹. Este genoma, o DNA Mitochondrial (DNAm_t), molécula de DNA extra-nuclear presente apenas nas mitocôndrias, pode variar bastante em número dentro da célula. Existem, em média, 4 a 5 cópias de moléculas de DNAm_t por mitocôndria, podendo até variar entre um número de 1 a 15 cópias (SATO; KUROIWA, 1991). Devido a célula poder conter centenas de mitocôndrias, estimado na média de 500 cópias, matematicamente, poderão existir milhares de moléculas de DNAm_t em cada célula (SATO; KUROIWA, 1991)(figura 1).

Por possuir o maior número de moléculas de DNA por célula, o DNAm_t obtém um índice de maior sucesso em relação aos marcadores do DNA Nuclear STR² na tipagem de amostras biológicas que possam ter sido danificadas com o calor ou com a umidade (Tabela 1). Também vale salientar que a soma de todas as cópias de moléculas de DNAm_t geram menos de 1% do conteúdo total de DNA Nuclear (DNAn) que uma célula pode possuir, assumindo que existam 1000 cópias de DNAm_t no tamanho de 16569 pares de base (pb) e duas cópias de DNAn no tamanho de 3.2 bilhões de pares de base.

O DNAm_t tem aproximadamente 16569pb e possui 37 genes que codificam proteínas utilizadas na produção de energia da célula. O número total de nucleotídeos no genoma mitocondrial pode variar devido a pequena taxa de mutações resultantes de inserções ou deleções. Por exemplo, existe uma repetição de binucleotídeos entre as posições 514 a 524 que na maioria dos indivíduos é de ACACACACAC ou (AC)₅, mas esse número pode variar entre (AC)₃ a (AC)₇. Dos 37 genes transcritos no DNAm_t, encontrados na região codificante, 13 incluem proteínas, dois RNAs ribossomais (rRNA) e 22 RNAs transportadores (tRDNA) (figura 2).

A variabilidade de nucleotídeos e polimorfismos entre indivíduos no *displacement loop*³ é mais abundante do que nas regiões codificantes, pois suas restrições são menores devido a não codificação de genes. Em outras palavras, podem ocorrer diferenças na região D-loop, pois nela não se codifica qualquer substância necessária para a funcionalidade da célula. A maior parte da atenção em estudos de DNA forense envolve o uso de duas regiões hipervariáveis, dentro a região controle, comumente referidas como HV1 e HV2.

¹Organela celular, produtora de energia, que reside dentro do citoplasma.

²STR (*Short Tandem Repeat*), pequenos fragmentos de sequências de DNA (2 à 6 bases) que se repetem. É, nos dias de hoje, o marcador mais utilizado no estudo de casos forenses e testes de paternidade.

³Posições não codificantes da região controle, também conhecida por D-loop.

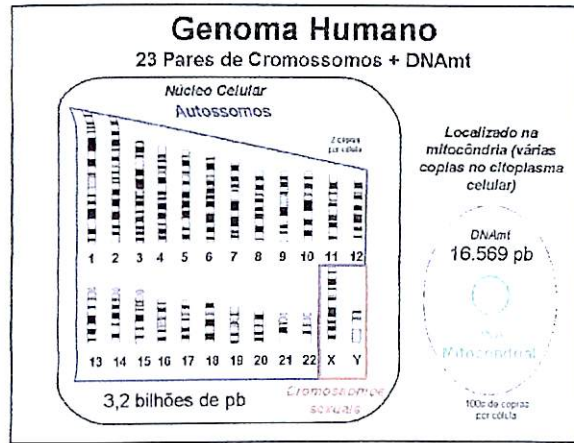


Figura 1: Ilustração dos dois tipos de genoma humano presentes na célula. Fonte: (BUTLER, 2005).

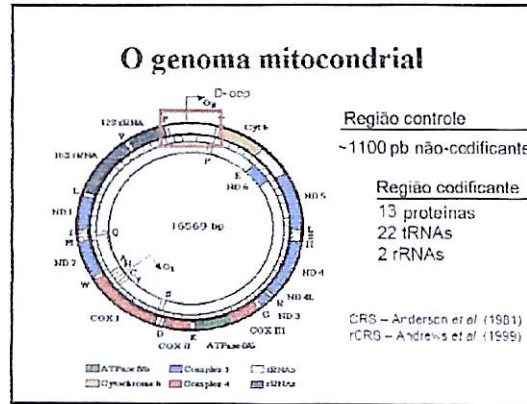


Figura 2: Esquema do genoma circular do DNA Mitocondrial. No topo do genoma, demarcado com o retângulo vermelho, encontra-se a região hipervariável onde os cientistas forenses analisam o DNA para fins de identificação humana. Fonte: (BRANDON et al., 2004).

Características	DNA Nuclear (DNAn)	DNA Mitocondrial (DNAm)
Tamanho do genoma	~ 3,2 Bilhões pb	~ 16569 pb
Cópias por célula	2 (1 alelo de cada parente)	Pode ser > 1000
% total do conteúdo de DNA por célula	99,75%	0,25%
Estrutura	Linear	Circular
Herança	Pai e mãe	Materna
Recombinação	Sim	Não
Exclusividade	Único por indivíduo (exceto irmão gêmeos)	Não único por indivíduo (mesmo que dos parentes maternos)
Taxa de mutação	Pequena	No mínimo 5-10 vezes mais que o DNAn
Sequência de Referência	Descrito em 2001 pelo Projeto do Genoma Humano	Descrito em 1981 por Anderson e Colaboradores

Tabela 1: Comparações entre o DNA Nuclear e o DNA Mitocondrial.

2.2 Heteroplasmia

A heteroplasmia é a presença de mais de um tipo de DNAmít em um indivíduo, existindo assim a possibilidade de ocorrer duas ou mais populações de DNAmít dentre as células de um indivíduo, como também, dentro de somente uma célula ou dentro de uma mitocôndria (MELTON, 2004).

É improvável que as milhares de moléculas do DNAmít sejam completamente idênticas, dado que as regiões do genoma mitocondrial podem variar de 6 a 17 vezes a mais do que uma única cópia de um gene nuclear. Assim, para que uma transmissão de mutação possa ser detectada no DNAmít, essa mutação deverá se espalhar a uma frequência considerável dentre as células e as moléculas de mitocôndria. A heteroplasmia poderá se manifestar a partir das seguintes formas (CARRACEDO et al., 2000):

- Um indivíduo poderá ter mais de um tipo de DNAmít em um único tecido;
- Um indivíduo poderá exibir um único tipo de DNAmít em um tecido e um outro tipo de DNAmít em um outro tecido;
- Indivíduos poderão ser heteroplásmicos em um único tecido e homoplásmico num outro tecido.

Dado o fato da ocorrência de heteroplasmia, deve-se então recorrer as recomendações de interpretação para resolver as diferenças entre as amostras de evidência e referência.

Os dois tipos de heteroplasmia validados pela literatura são a heteroplasmia de sequência e a de comprimento (MELTON, 2004). A heteroplasmia de comprimento geralmente ocorre nas regiões do poly-C, em HVI, nas posições 16184 - 16193, e também em HVII, nas posições 303 - 310 (figura 3) (STEWART et al., 2001). A heteroplasmia de sequência é tipicamente observada pela presença de dois ou mais nucleotídeos ocupando o mesmo sítio em diferentes moléculas de DNAmít, podendo ser vista em eletroferogramas onde existam picos sobrepostos (figura 4).

A heteroplasmia poderá também ocorrer em mais de um sítio. Esta condição é conhecida por “triplasmia” e tem sido observada na literatura (TULLY et al., 2000). Mas, a sua ocorrência é raríssima em relação a heteroplasmia de um só sítio.

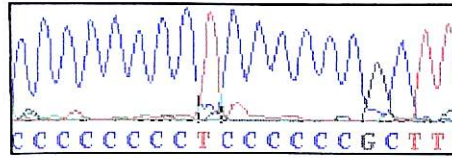


Figura 3: Ilustração da ocorrência de uma heteroplasmia de comprimento, com a observação de um T em meio ao poly-C, em HVII.

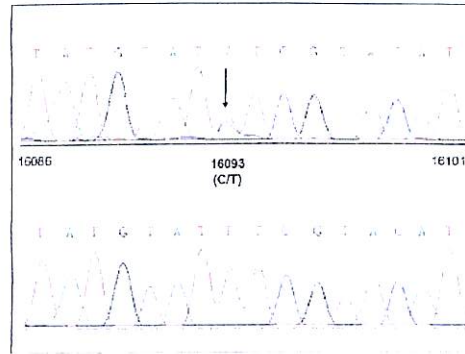


Figura 4: Observação de heteroplasmia na sequência (a) no sítio 16093, possuindo C e T como base, comparando-se à sequência (b) que, no mesmo sítio, possui apenas um T. Fonte: (BUTLER, 2005).

Visto a raridade de encontrar mais de uma ocorrência de heteroplasmia dentre os 610 nucleotídeos sequenciados para HVI e HVII, o relato de Grybowski sobre a ocorrência de seis sítios heteroplásmicos, em um indivíduo, levantou suspeitas sobre a sua estratégia utilizada no sequenciamento. O estudo de Grybowski foi criticado por conter, possivelmente, contaminação devido ao excessivo número de ciclos utilizados na amplificação das amostras (BRANDSTÄTTER; PARSONS, 2003). Uma nova análise realizada nestas mesmas amostras, desta vez utilizando-se uma abordagem direta de PCR, obteve como resultado a redução no número de sítios heteroplásmicos.

Um dos maiores problemas em amostras heteroplásmicas é que a frequência das bases podem não permanecer as mesmas dentre os outros tipos de tecidos, tais como o sangue e cabelo ou entre vários cabelos. Alguns protocolos do DNAmT recomendam sequenciar vários cabelos de um indivíduo no esforço de se confirmar a heteroplasmia.

Os *hotspots* de heteroplasmia incluem as seguintes posições em HVI: 16093, 16129, 16153, 16189, 16192, 16293, 16309 e 16337; e para HVII, nas posições: 72, 152, 189, 207 e 279 (TULLY et al., 2000; BRANDSTÄTTER; PARSONS, 2003).

Enquanto que o acontecimento de uma heteroplasmia pode, as vezes, dificultar a interpretação final do resultado do DNAmT, a sua presença em sítios idênticos pode aprimorar ainda mais a probabilidade de um *match*, tal como é descrito no estudo do caso da família Romanov (seção 2.3.2).

2.3 Herança materna

Para fins forenses e na identificação de pessoas desaparecidas, como também, em qualquer outra área de pesquisa, o DNAm humano é considerado estritamente herdado da mãe para seus filhos.

Durante a fecundação, somente o núcleo do espermatozóide consegue penetrar e unir-se diretamente ao núcleo do óvulo. Desta forma, a mitocôndria, juntamente com suas moléculas de DNAm, é passada diretamente para o prole, independente de qualquer influência paterna.

Nos óvulos, tem se observado uma quantidade de 100 mil moléculas de DNAm, o que acarreta na diluição extrema da passagem de qualquer molécula de DNAm paterno para o zigoto (CHEN et al., 1995). Portanto, com a exceção de mutações, a mãe passa adiante o seu DNAm para seus filhos e conseqüentemente tanto esses descendentes, como os parentes maternos, possuem ou possuirão seus DNAm idênticos.

Na figura 5 é dado um exemplo de uma árvore genealógica de famílias para demonstrar a herança padrão do DNAm. Neste exemplo, os indivíduos 1, 5, 7 e 12 possuem exclusivamente um único tipo de DNAm. Note também que o indivíduo 16 irá possuir o mesmo DNAm que os outros sete indivíduos, representados pelo número 2, 3, 6, 8, 11, 13 e 15.

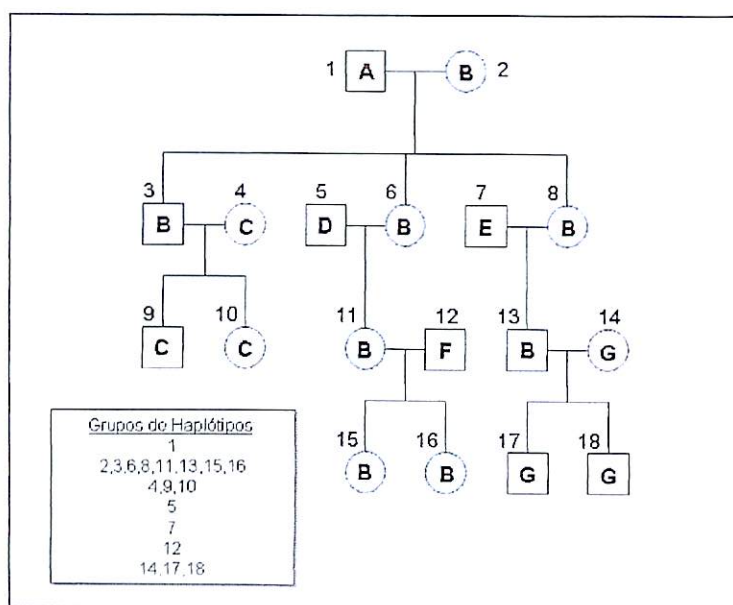


Figura 5: Ilustração da herança materna do DNAm para 18 indivíduos em uma árvore genealógica hipotética. Os quadrados representam os homens e os círculos as mulheres. Cada tipo único de DNAm é representado por uma letra alfabética. Fonte: (BUTLER, 2005).

Esta característica pode servir de grande ajuda na resolução de pessoas desaparecidas ou na investigação de desastres em grande massa, por exemplo: a identificação de restos mortais no ataque terrorista ao World Trade Center, no dia 11 de setembro de 2001 em Nova York, EUA. Mas, ao mesmo tempo, esta característica poderá reduzir a significância de um *match*¹ em casos forenses, visto que até mesmo parentes muito distantes podem possuir o mesmo tipo de DN.Ant, o que também acarreta no aumento do número de amostras que poderão servir como referência para confirmar a identidade de uma pessoa desaparecida.

Evidências a partir do DN.Ant tem ajudado muito na tarefa de associar e/ou ligar famílias, por exemplo: o famoso caso da identificação do desconhecido soldado da guerra do vietnam, como também na resolução de quebra cabeças históricos, tais como, o caso da família Romanov. Os dois casos são descritos nas duas próximas seções.

¹Palavra de origem inglesa que tem como significado, para o nosso contexto, a observação de uma igualdade ou semelhança muito próxima na comparação entre duas sequências.

2.3.1 Identificação dos restos mortais da tumba de soldados da guerra do Vietnam

No dia 30 de Junho de 1998, o secretário de defesa americano, William Cohen, anunciou ao mundo que a tecnologia do DNA foi utilizada para identificar um soldado da guerra do Vietnam, da tumba de soldados não identificados localizado no cemitério nacional de Arlington. Os restos mortais do 1º tenente da força aérea dos EUA, Michael J. Blassie, foram identificados através do uso de seu DNAm. Uma comparação exata dos 610 nucleotídeos da polimórfica região controle do seu DNAm foi obtida através dos de sua mãe. Ao mesmo tempo, oito dos demais possíveis soldados foram excluídos devido a um não *match* entre outras referências de famílias a procura de seus parentes desaparecidos na guerra.

O tenente Blassie chegou ao Vietnam em Janeiro de 1972. Seu jato de caça A-37B foi derrubado no dia 11 de maio, de 1972, num região próxima a fronteira da cidade de Cambodgia. A região não pôde ser revistada e seus restos mortais não puderam ser recuperados até cinco meses depois. Por este tempo, foram encontradas apenas algumas ossadas e alguns itens pessoais, incluindo o seu cartão de identificação. Os seus restos mortais foram enviados para o laboratório central de identificação do exército no Hawaii, onde lá permaneceu por oito anos, quando uma revisão militar alterou sua designação para "desconhecido" e seu cartão de identificação, encontrado junto aos restos mortais, havia desaparecido.

Em meados de junho de 1998, conseguiu-se extrair informações sobre a sequência do DNAm através da ossada de um pélvis da tumba de soldados não identificados, cujo material foi analisado no "laboratório de identificação através do DNA das forças armadas" (AFDIL). Supostos parentes maternos dos oito soldados não identificados, cujos restos mortais foram encontrados naquela região, foram avaliados como amostras para referência. As posições 16021 a 16365 (IIVI) e as posições 73 a 340 (IIVII), da polimórfica região controle, foram submetidas a análises. Dentre as comparações entre as amostras de referências e os restos mortais, apenas um *match* perfeito foi observado: o que ligou a mãe de Blassie ao resto mortal de seu filho (Michael Blassie). Devido a essa identificação positiva, a família Blassie foi autorizada a enterrar os restos mortais do 1º tenente no cemitério nacional de Jefferson Barracks (HOLLAND; PARSONS, 1999).

2.3.2 Identificação dos restos mortais da família Romanov

Em 1918, após a revolução soviética, o czar⁵ russo e sua família foram mantidos como prisioneiros do novo regime. Acredita-se que o czar russo Nicolás II, sua mulher, a czarina Alexandra, suas 4 filhas e 1 filho, três empregados e o médico da família foram fuzilados pelos bolcheviques. Parece que algumas das vítimas não morreram imediatamente. Como consequência, os corpos foram golpeados até a comprovação do falecimento de todos. Acredita-se também que, depois de esquartejados, os corpos foram lançados em uma fossa a cerca de 20 Km do local onde a família foi mantida prisioneira. Supostamente, despejou-se ácido sulfúrico sobre os cadáveres para evitar uma posterior identificação e a fossa foi aterrada.

Em 1991, esta fossa foi descoberta e encontrados restos ósseos humanos que correspondiam a 9 cadáveres com traços de tortura e marcas de bala (GILL et al., 1994). Especialistas forenses russos realizaram estudo de reconstrução facial computadorizada, comparação de arcadas dentárias e estimativa de idade e sexo dos indivíduos. A presença de pegas dentárias em ouro indicava que alguns dos cadáveres poderiam ter pertencido à aristocracia. Por fim, os estudos constataram que os restos mortais poderiam corresponder ao czar, czarina e a 3 dos 5 filhos. Concluiu-se que faltavam os restos do filho Alexei e de Anastasia, uma das filhas.

Em 1992, um laboratório inglês iniciou estudos através da análise por DNA, visando a identificação fidedigna das partes. Este laboratório adotou dois procedimentos: a análise do STR, para comprovar se os restos mortais se tratavam de um grupo familiar, e análise de DNA Mitocondrial, para determinar relação de parentesco com os descendentes da família Romanov por via materna.

O sexo dos indivíduos foi determinado através da amplificação do gene amelogenina. Após a análise dos 9 esqueletos, as tipagens por DNA confirmaram as conclusões do exame físico, constatando-se que os restos mortais eram correspondentes a 4 homens e 5 mulheres. Mesmo diante de dificuldades decorrentes de artefatos gerados durante as reações de PCR⁶, foi concluído que 5 restos ósseos pertenciam a um mesmo grupo familiar. Caso se tratasse da família Romanov, os dados indicavam que uma das princesas e o príncipe não se encontravam na tumba. O fato corroborou a hipótese de que dois corpos teriam sido enterrados ou incinerados separadamente, ou que Anastasia e Alexei teriam sobrevivido.

⁵Título que se dava ao imperador na Rússia, e aos antigos soberanos sérvios e búlgaros.

⁶*Polymerase Chain Reaction*. Método de amplificação (na criação de múltiplas cópias) do DNA, sem o uso de um organismo vivo.

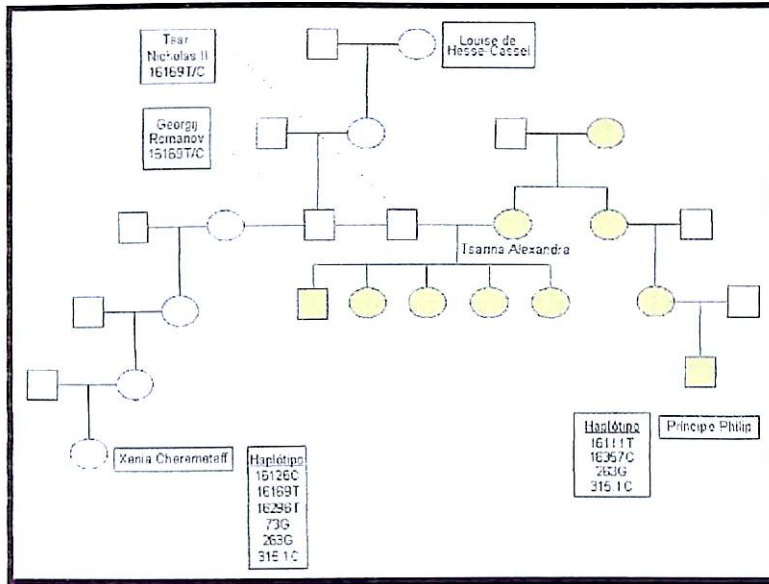


Figura 6: Linhagem da família Romanov. Os indivíduos representados pela cor azul são parentes maternos de Tsar II e os em verde são parentes maternos de Tsarina. Os parentes maternos vivos Príncipe Philip (de Tsarina) e Xania (de Tsar II) serviram como amostra de referência, com os polimorfismos de seus haplótipos relativos às posições da rCRS. Fonte: (BUTLER, 2005).

Com respeito ao DNAmT, os 9 esqueletos tiveram sequenciadas as regiões hipervariáveis HVI e HVII. Sequências idênticas foram obtidas para a suposta czarina e os três possíveis filhos. Como referência, foi utilizada a sequência de DNAmT produzida a partir de amostra de sangue do Príncipe Philip, Duque de Edimburgo, sobrinho-neto da czarina. Sua sequência era idêntica àquela da czarina e de seus filhos (figura 6).

Em relação ao czar, a sequência proveniente dos restos mortais foi inicialmente comparada com a de uma neta, de sua irmã, ainda viva. As duas sequências eram idênticas, exceto quanto a uma heteroplasmia na posição 16169 no DNA extraído a partir do esqueleto atribuído ao czar, que indicava as bases citosina e timina. Na sequência da amostra de referência, esta posição era ocupada somente por timina. Os dados apontavam ser a análise inconclusiva quando decidiu-se exumar o corpo do irmão do czar, George Romanov, morto em 1899. Neste, verificou-se no DNAmT, exatamente a mesma sequência e heteroplasmia em relação ao czar, finalizando, então, a identificação (DEBENHAM, 1996).

A partir desse caso, verifica-se que uma heteroplasmia pode reforçar o poder de discriminação da técnica. Como não era possível analisar as sequências da mãe e do avô czar, não se sabe se elas também apresentavam esta heteroplasmia. Provavelmente, o DNAmT contendo timina na posição 16169 segregou para homoplasmia nas gerações seguintes.

O caso Romanov ainda esteve no cenário científico até 1995, quando a sequência de DNAmf de uma mulher chamada Anna Maarian, suposta princesa Anastasia, que teria, então, escapado da chacina, não coincidiu com o perfil já verificado para a czarina (STONEKING et al., 1995).

O caso da família Romanov é um dos mais famosos exemplos da aplicação do DNAmf na identificação humana. Enquanto o emprego da análise de DNAmf STR foi útil para provar a relação de parentesco entre os esqueletos, o DNAmf foi utilizado para identificação através da comparação com amostras de indivíduos separados por várias gerações.

2.4 Sequência de referência

O primeiro DNAm humano foi sequenciado em 1981 no laboratório de Frederick Sanger na Universidade de Cambridge, Inglaterra (ANDERSON et al., 1981). Por muitos anos, a sequência original de Anderson foi utilizada como a sequência de referência para ser comparada com outras novas sequências. A sequência de Anderson é também conhecida como a *Cambridge Reference Sequence* (CRS). Tipicamente, os laboratórios de DNA exibem como resultado as variações resultantes da comparação entre a *L-strand*⁷ da CRS. Assim, por exemplo, a observação de um nucleotídeo C na posição 16126 em uma sequência de amostra, na qual é observado um T na sequência de Anderson, é representado por 16126C. Caso não seja verificado mais nenhuma outra variação, fica subentendido que as demais bases entre as duas sequências são idênticas, portanto, não será necessário qualquer tipo de representação das mesmas.

A CRS foi novamente sequenciada em 1999, através da placenta original, mesmo material utilizado por Anderson e colaboradores do primeiro sequenciamento na época (ANDREWS et al., 1999). Devido as melhorias conquistadas nas últimas duas décadas na área da tecnologia do sequenciamento de DNA, existiu um consentimento em revisar e corrigir os erros da CRS original para tornar seu uso mais robusto como sequência de referência no futuro. Um dos erros representou a perda de uma única citosina na CRS revisada ou *revised* CRS (rCRS) na posição 3106-3107, tornando-a uma base menor com 16568pb em relação a CRS original com 16569pb (ANDERSON et al., 1981). Entretanto, é utilizado uma deleção na posição 3107 que serve de apoio para manter a numeração histórica (ANDREWS et al., 1999). Felizmente, nenhum erro foi observado nas duas regiões hipervariáveis que são intensamente utilizadas em aplicações forenses, cuja sua extensão abrange as posições 16024-16365 e 73-310. A rCRS com 16568pb está disponível no site do MITOMAP (BRANDON et al., 2004).

É importante notar que a rCRS não é a única utilizada como sequência de referência. Por exemplo, o genoma mitocondrial utilizado como referência pelo *National Center for Biotechnology Information* é o Genbank AF347015⁸, sequenciado por Ingman (INGMAN et al., 2000). Seu tamanho é de 16571pb e é derivada de um indivíduo Africano (Yoruba). Portanto, é indispensável destacar a sequência de referência que esteja sendo utilizada no estudo (BUTLER, 2005).

⁷O genoma mitocondrial é composto por duas fitas, a fita leve (*light strand* ou L-strand) e a fita pesada (*heavy strand* ou H-strand). A fita pesada é representada pelo círculo externo contendo um número maior de Guanina e Citosina do que a fita leve, representada pelo círculo interno (figura 2).

⁸Número de referência para busca no site. URL - <http://www.ncbi.nlm.nih.gov/Genbank/>

2.5 Marcadores forense

A região de maior variação do DNAmT, entre indivíduos humanos na população, é encontrada na região controle ou D-loop, como é descrito na seção 2.1. As duas regiões do D-loop conhecidas por região hipervariável I (HVI, HV1 ou HVS-I) e a região hipervariável II (HVII, HV2 ou HVS-II) são normalmente examinadas pela amplificação do PCR, e em seguida, são realizadas análises das suas sequências. Aproximadamente 610pb são avaliados através da região controle, 342pb da HVI e 269pb da HVII (figura 7).

Para cada sequência de amostra, suas posições de 16024 a 16365 em HVI e 73 a 340 em HVII são determinadas e comparadas com a rCRS. As diferenças entre a comparação são anotadas e exibidas indicando a posição e o nucleotídeo da base alterada.

Em alguns casos, uma terceira região hipervariável (HVIII), com 137pb e compreendendo as posições 438 a 574, é examinada. Sítios adicionais de polimorfismos, dentre HVIII, poderão ser de grande valia na resolução de casos forenses, onde as regiões HVI e HVII de uma amostra estejam indistinguíveis.

Um número de diferentes tipos de PCR e primers⁹ são utilizados no sequenciamento para gerar dados de sequências do DNAmT nas regiões HVI e HVII.

A região controle do DNAmT tem sido estimada a variar em torno de 1 a 2%, ou seja, perto de 7 a 14 nucleotídeos dentre os 610pb na comparação entre indivíduos sem nenhuma ligação de parentesco (BUDOWLE et al., 1999). Esta variação abrange toda região HVI e HVII, cuja medição é determinada com a análise do sequenciamento.

No entanto, existem *hotspots*¹⁰ ou sítios hipervariáveis e regiões onde a maioria dessas mutações estão próximas (STONEKING et al., 1991). A parte disso, já foram desenvolvidos outros métodos para que se possa visualizar rapidamente variações do DNAmT e excluir amostras que não coincidirem (BUTLER, 2005).

⁹São filamentos de nucleotídeo que servem como ponto de partida para a replicação do DNA.

¹⁰Na genética, o termo *hotspot* significa: posições no DNA onde ocorrem mutações incomuns com um certo grau de frequência.

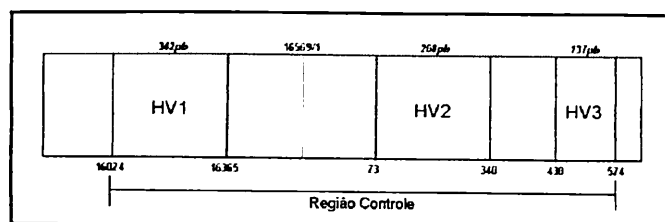


Figura 7: Ilustração das 3 regiões hipervariáveis do D-loop para utilização em investigações forenses.

2.6 Sequenciamento em casos forenses

Os passos envolvidos para se chegar na comparação de seqüências de DNAm¹¹ estão ilustrados na figura 8. A extração do DNAm deverá ser realizada em laboratórios com rigoroso controle de higiene, devido ao DNAm ser mais sensível à contaminação do que o DNA, uma vez que o seu número de cópias por célula é bem maior. Conseqüentemente, é preferível que se analise as amostras de referência depois que as amostras de evidência tenham sido processadas, para evitar qualquer pontencialidade de contaminação.

As amostras de DNA em investigação geralmente encontram-se bastante degradadas, o que pode dificultar a sua total legibilidade na etapa de leitura do sequenciamento. A amostra de referência de uma vítima, um suspeito e ou de um parente materno, é tipicamente disponível como manchas de sangue ou suabe bucal, contendo assim uma melhor qualidade de DNA (BUTLER, 2005).

O sequenciamento do DNAm é realizado em ambas direções, *forward* (F) e *reverse* (R), para que as fitas complementares possam ser comparadas entre si, com o propósito de controle de qualidade. Se não for possível obter os dois filamentos de seqüência, por exemplo, o segmento do poly-C¹¹, então o mesmo filamento poderá ser sequenciado duas vezes em reações separadas.

¹¹Significa um conjunto contínuo de várias citosinas na seqüência.
Exemplo: ATGCTCCCCCGGTC

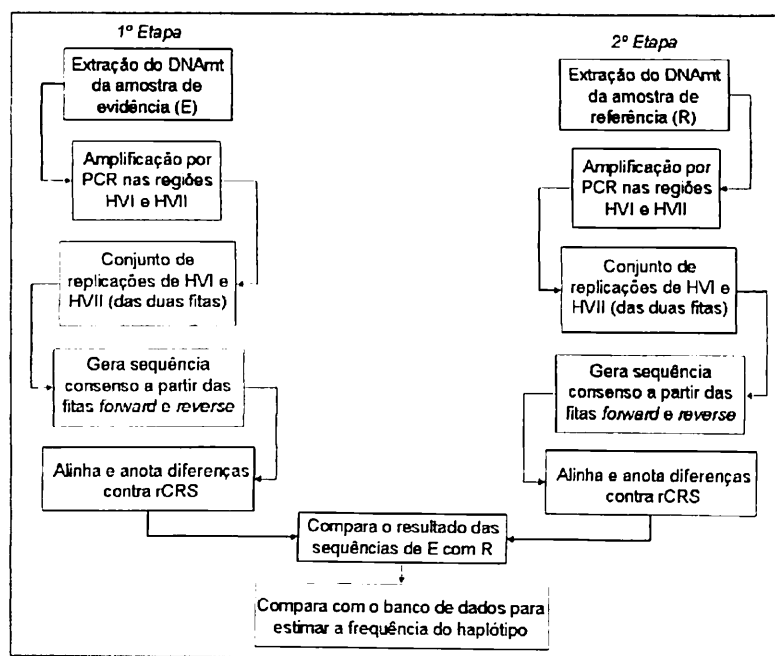


Figura 8: Processo para avaliação do DNAm.

O processo de sequenciamento nem sempre tem como resultado dados limpos, claros e sem ambigüidade para cada base. Algumas regiões como o poly-C são desafiadoras de se decifrar (STEWART et al., 2001) e poderão até não ser incluídas na interpretação dos resultados finais.

Os sequenciamentos realizados por meios químicos e ou por instrumentos têm sido aperfeiçoados ao longo dos anos, o que proporcionou uma melhora na aparição dos picos, apresentando mais sensibilidade e pouco ruído. Mesmo assim, ainda é necessário uma revisão manual de cada nucleotídeo com o objetivo de editar as bases, caso o algoritmo de determinação de base tenha cometido algum erro (figura 9).

Ainda não existe nenhum software que possa, de forma robusta, avaliar sequências e dados do DNAm de forma automatizada com confiança, sem nenhuma intervenção humana (BUTLER, 2005).

O processo de edição de sequência é realizado com a ajuda do alinhamento das duas sequências, *forward* e *reverse*, de uma amostra em questão. Deste alinhamento é gerado a sequência consenso (figura 10). Softwares tais como o SeqScape (Applied Biosystems¹²) alinham as sequências F e R, posicionando-as lado a lado e possibilitam a visualização de seus eletroferogramas.

Todavia, é aconselhável que dois analistas forenses examinem, interpretem e editem a mesma sequência para depois comparar o resultado das duas análises como uma última medida de qualidade de segurança (ISENBERG, 2004).

¹²URL - <http://www.appliedbiosystems.com/>

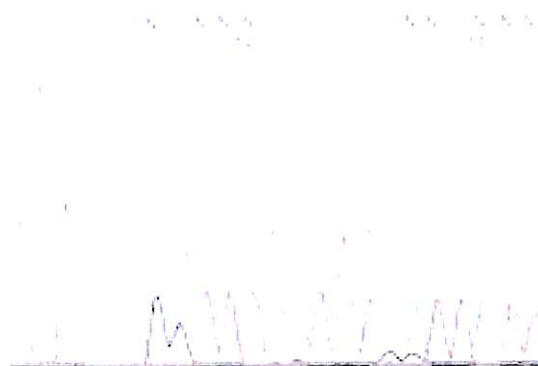


Figura 9: Exemplo ilustrativo de um eletroferograma. Os picos gerados do sequenciamento correspondem ao valor de qualidade de cada nucleotídeo na sua posição, representados por suas respectivas cores. Quanto maior o pico, maior o valor de qualidade da base. As bases com N significam que o sequenciador não conseguiu ler ou determinar um único tipo de nucleotídeo (A, G, T ou C) presente naquela posição.

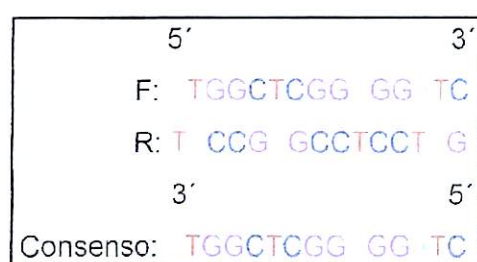


Figura 10: Ilustração do alinhamento de F e R para gerar a sequência consenso. Note que apenas as bases da F são mantidas tal como a rCRS quando foi sequenciada, para que ambas sejam alinhadas e comparadas entre si.

2.7 Exibindo diferenças em relação à rCRS

Após o processo de alinhamento exibe-se apenas, como resultado final das análises, as diferenças entre a comparação de uma sequência de amostra com a rCRS.

Quando diferenças são observadas, anota-se então a posição do nucleotídeo seguido de sua base. Por exemplo, na figura 11 as diferenças são observadas nas posições 16095 e 16131, e depois são relatadas no seu formato de dado 16095C e 16131A. Neste formato, assume-se que todos os outros nucleotídeos são idênticos aos da rCRS.

Bases ambíguas que não possam ser determinadas são usualmente anotadas por um N. Já em posições de ambigüidades confirmadas (heteroplasmia) os códigos da *Internacional Union of Pure and Applied Chemistry* (IUPAC) poderão ser utilizados, tais como na Tabela 2 (SWGDM, 2003).

A inserção de um nucleotídeo em uma sequência de DNAm em relação a rCRS é relatada por anotar primeiro o sítio imediato a 5' da posição de inserção em comparação com a rCRS, seguido de um ponto '.' e um 1 (para a primeira inserção) e um 2 (caso exista uma segunda inserção), e assim em diante, anotando no fim o nucleotídeo que foi inserido (BUDOWLE et al., 2003). Por exemplo, 315.1C é uma observação comum onde seis Cs são observados, acompanhado de um T na posição 310 numa sequência de amostra. Já a rCRS contém apenas cinco Cs nas posições 311-315 (ANDREWS et al., 1999). Portanto, a anotação 315.1C descreve a presença de cinco citosinas nas posições 311-315 na rCRS, e um extra C numa sequência de amostra, como inserção '.1C', antecedente a posição 316 (figura 12).

Deleções são anotadas pelo número da posição onde se observou a deleção relativo a rCRS e seguido por um hífen '-' ou por um D, d ou del, por exemplo: 309D, 309d, 309- ou del (figura 13).

A combinação das diversas formas para anotar inserções e deleções poderão gerar múltiplas possibilidades na hora de relatar o resultado das diferenças em relação a sequência de referência. Devido a isto, foram criadas recomendações para garantir a consistência no tratamento do tamanho de variantes, no qual veremos com detalhes na próxima seção.

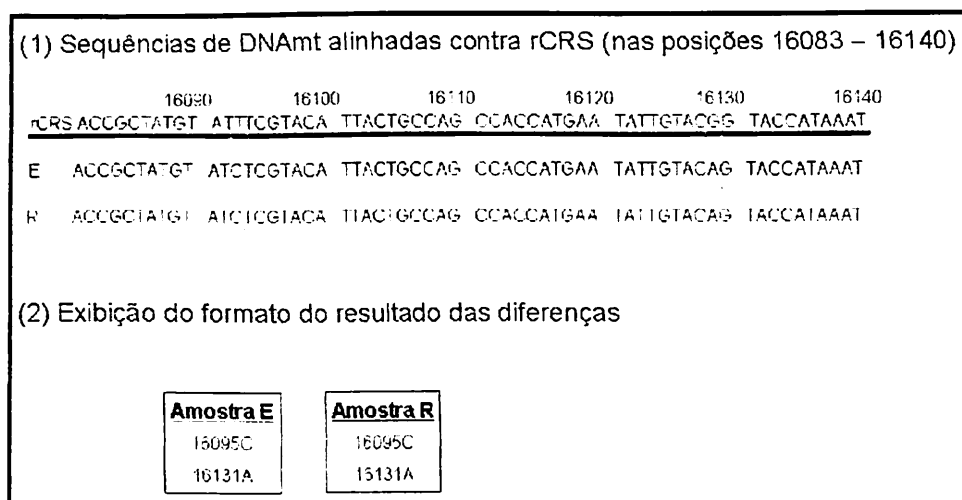


Figura 11: Comparação das sequências de amostra (E) e (R) com a rCRS, relatando suas diferenças no seu devido formato de dado.

Código	Ambiguidade
R	A ou G
Y	C ou T
K	G ou T
M	A ou C
B	C, G ou T
D	A, G ou T
H	A, C ou T
V	A, C ou G
S	G ou C
W	A ou T

Tabela 2: Códigos da IUPAC para denominação da base de sítios que apresentarem mais de um nucleotídeo (heteroplasmia).

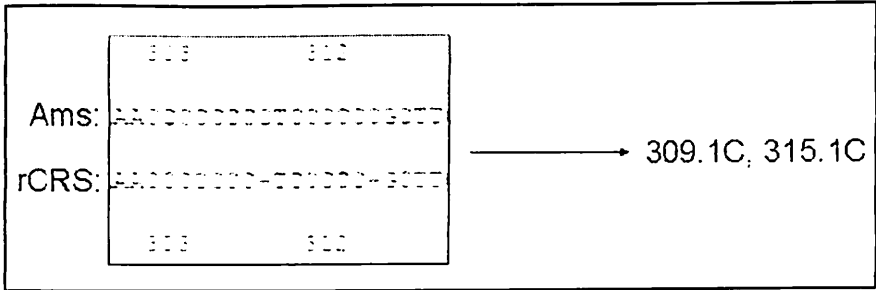


Figura 12: Anotação do resultado das inserções.

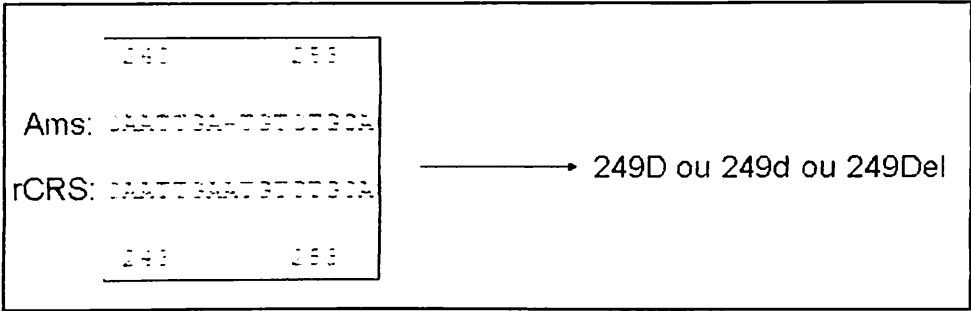


Figura 13: Anotação do resultado das deleções. A nomenclatura de anotação nos círculos vermelhos não são recomendadas, porém a sua utilização ainda poderá ser vista na literatura.

2.8 Interpretando resultados

Após ter completado a etapa de sequenciamento e análise das sequências, os resultados das amostras (E) e (R) são comparados e avaliados (figura 11). A comparação entre as duas sequências em questão irão resultar em um *match* perfeito ou não, muito embora essa interpretação nem sempre seja tão elementar. Os resultados estão organizados em três tipos de categorias: exclusão, inconclusivo ou não-excludente.

O *Scientific Working Group on DNA Analysis Methods* (SWGDM) lista as seguintes recomendações na etapa de interpretação dos resultados:

- *Exclusão* ▷ Caso seja verificado a presença de dois ou mais polimorfismo na comparação entre o haplótipo de duas amostras em questão. O grau de parentesco materno ou a ligação de um indivíduo a uma amostra, neste caso, poderá ser de fato um resultado nulo.
- *Inconclusivo* ▷ Caso exista apenas uma única diferença, entre uma amostra de evidência em relação a uma amostra de referência, o resultado será encarado como inconclusivo, podendo este ter ou não um grau de parentesco materno.
- *Não-Exclusão* ▷ Se o haplótipo de cada amostra em questão apresentar o mesmo número de polimorfismo, como também, por exemplo: o mesmo tipo de base, um comprimento de variação comum no poly-C (heteroplasmia) em HV2; poderá-se concluir que existe um forte grau de parentesco materno entre as duas amostras em questão. Isto fortalece a acusação delas serem referentes a uma mesma pessoa ou de uma mesma linhagem materna.

Um exemplo sobre a interpretação de uma não-exclusão seria: uma sequência que contenha heteroplasmia num determinado sítio em relação a uma outra sequência em comparação e as cujas duas compartilham do mesmo perfil de haplótipo (figura 4). Neste caso, elas não poderão ser excluídas de possuir um grau de parentesco materno em comum (ver seção 2.3.2). Diversos exemplos poderão ser vistos com respeito às normas de interpretação (tabela 3), recomendadas pelo SWGDAM.

Resultado do alinhamento	Observações	Interpretação
(E) TATTGTACGG (R) TATTGTACGG	As duas sequências estão concorrentes com o mesmo tipo de base em cada posição	Não-Exclusão
(E) TATTGCACAG (R) TATTGTACGG	As sequências variam em duas posições	Exclusão
(E) TATTNTACGG (R) TATTGTACGG	Observado apenas uma única base não repetida (heteroplasmia), com todas as outras em comum	Não-Exclusão
(E) TATTNTACGG (R) TATTGTAC <u>NG</u>	Observado apenas uma ambiguidade em ambas as sequências em posições diferentes	Não-Exclusivo
(E) TATTGTACA/GG (R) TATTGTAC G G	Deteção de heteroplasmia na sequência (E), com a sequência (R) apontando uma base de nucleotídeo em comum, ambas na mesma posição	Não-Exclusivo
(E) TATTGTACA/GG (R) TATTGTACA/GG	Quando as sequências compartilham de uma mesma heteroplasmia na mesma posição	Não-Exclusivo
(E) TATTGCACGG (R) TATTGT <u>A</u> CGG	Diferença de apenas uma única triplaça entre as sequências	Inconclusivo

Tabela 3: Interpretação de resultados da análise entre duas sequências de DNAm.

A única razão pela qual a diferença de uma única base é considerada como resultado inconclusivo é devido ao fato de já ter sido observado na literatura a ocorrência de mutação no genoma mitocondrial passado de mãe para filho (PARSONS et al., 1997). Por exemplo, se uma amostra de evidência de um sujeito (a) é analisada e comparada com a de um parente materno (b), como sendo a amostra de referência no teste, é possível que aconteça a diferença de uma única base (quando se espera o resultado de um *match* perfeito), mesmo que as duas amostras em questão sejam de mãe e filho. Neste caso, outras amostras são coletadas de ambas as partes para serem averiguadas com mais testes que possam vir a esclarecer esta incógnita a um resultado conclusivo.

2.9 Estimando o peso da evidência

Quando se obtém uma ‘não-exclusão’ como resultado de uma interpretação entre uma amostra de evidência e uma de referência, o próximo passo será estimar (estatisticamente) o grau de significância deste resultado de um *match* perfeito. A prática atual em comunicar a raridade de um perfil de DNAm, dentre um número de outros perfis escolhidos ao acaso (sem nenhuma ligação de parentesco entre si), envolve a contagem do número de vezes que este haplótipo em particular (perfil de DNAm) é observado no banco de dados (WILSON et al., 1993; BUDOWLE et al., 1999). Esta aproximação é comumente denominada de “o método da contagem” na qual se baseia, totalmente, na busca do número de amostras presentes no banco de dados. Conseqüentemente, quanto maior for o número de amostras sem nenhuma ligação de parentesco (escolhidas ao acaso) no banco de dados, melhor será o valor do dado estatístico da estimativa na busca pela frequência daquele haplótipo em questão.

A frequência da maioria dos perfis de DNAm na população é em torno de 60% desconhecida, no presente momento, pois eles ocorrem apenas uma só vez dentro do banco de dados (ISENBERG, 2004). Baseado em informações populacionais, o intervalo de confiança poderá ser utilizado para estimar os limites inferior e superior no cálculo de frequência (HOLLAND; PARSONS, 1999; TULLY et al., 2001).

Em casos onde um perfil de DNAm em questão é observado em um número X vezes no banco de dados, composto por um número de N perfis, a frequência p deste perfil em questão poderá ser calculada utilizando-se a seguinte equação:

$$p = \frac{X}{N} \quad (2.1)$$

Um intervalo de confiança de 95% poderá ser utilizado como estimativa da frequência deste perfil, utilizando:

$$p \pm 1.96 \sqrt{\frac{(p)(1-p)}{N}} \quad (2.2)$$

Em casos em que o perfil de DNAm não seja observado no banco de dados, o intervalo de confiança de 95% é utilizado:

$$1 - \alpha^{\frac{1}{N}} \quad (2.3)$$

Onde α é o coeficiente de confiança (0.05 para o intervalo de confiança de 95%) e N é o tamanho do banco de dados.

Por exemplo, o perfil de DNAm (haplótipo) do tipo: 16129A, 263G, 309D, 315.1C é observado duas vezes no banco de Africanos-Americanos dentre 1148 perfis, duas vezes em 1655 perfis Caucásianos e nenhuma vez em 686 perfis Hispânicos, quando comparado com perfis do *mtDNA Population Database* (MONSON et al., 2002). A seguir, utilizando as equações acima, calcularemos a raridade deste perfil nos seguintes exemplos:

1. Para Africano-Americano:

$$p = \frac{2}{1148} \pm 1.96 \sqrt{\frac{(\frac{2}{1148})(1 - \frac{2}{1148})}{1148}} = 0.0017 \pm 0.002 = 0.4\%$$

2. Para Caucásianos:

$$p = \frac{2}{1655} \pm 1.96 \sqrt{\frac{(\frac{2}{1655})(1 - \frac{2}{1655})}{1655}} = 0.0012 \pm 0.0017 = 0.29\%$$

3. Para Hispânicos:

$$1 - (0.05)^{\frac{1}{686}} = 1 - 0.9956 = 0.0044 = 0.44\%$$

Estes cálculos demonstram que o peso da evidência poderá ser um tanto similar quer seja encontrado ou não, um *match* do perfil no banco de dados. No primeiro exemplo, nós calculamos, com 95% de certeza, que a sua frequência varia entre os limites 0 e 0.001 (0.0017 \pm 0.002). Mesmo assim, o maior valor que sua frequência poderá atingir é de 0.004%, ou seja, a probabilidade de encontrarmos este perfil na população é praticamente zero (0.4%). Com um perfil apresentando tal frequência, nós podemos excluir também, com 95% de certeza, 99.6% da população como possíveis fontes deste perfil DNAm. Já no exemplo 3, amostras que nunca tenham sido observadas no banco de dados (Hispânico), poderá excluir 99.56% da população como possíveis fontes daquele perfil, com N igual a 686.

É importante ressaltar que o DNAm nunca terá o poder de discriminação que um marcador STR de autossomos¹³, visto que sua herança é uniparental. (HOLLAND; PARSONS, 1999; TULLY et al., 2001; ISENBERG, 2004)

¹³Qualquer região no cromossomo que não esteja ligada ao sexo.

2.10 Banco de dados populacional

Os bancos de dados populacionais atuam como uma ferramenta importantíssima e de uso indispensável para estimar a frequência dos haplótipos de DNAm^t que são tratados em casos forenses, ou seja, quando se obtém um *match* na comparação entre o perfil DNAm^t de um suspeito e o de uma amostra de referência.

Um grande esforço, de diversos laboratórios, já foi gasto para reunir milhares de informações sobre perfis de DNAm^t de pessoas não relacionadas matematicamente e de diferentes grupos populacionais em todo mundo. O mais importante e também o mais difícil é gerar, construir e manter informações de alta qualidade para serem alimentadas aos bancos de dados, no intuito de poder estimar, com segurança, a frequência de um *match* ao acaso.

Uma das maiores fraquezas na análise do DNAm^t é que alguns haplótipos são um tanto comuns, mesmo nos diversos grupos de populações. Por exemplo, dentre os 1655 perfis DNAm^t de Causacianos no banco de dados populacional do FBI¹⁴, existem 15 perfis idênticos que dividem o mesmo haplótipo {263G, 315.1C} e outros 153 perfis que diferem em apenas um único polimorfismo. Assim, os 168 perfis de 1655 (10.2%) no banco de Causacianos não podem ser excluídos caso seja observada uma amostra com este mesmo perfil de DNAm^t.

Segundo Coble, já existem estudos para conseguir informações adicionais de sítios polimórficos em outras regiões do genoma mitocondrial, com o devido propósito de facilitar a resolução destes tipos comuns de perfil DNAm^t (COBLE et al., 2004).

Os resultados da tipagem de amostras desconhecidas de DNAm^t só serão valiosos se estas amostras forem avaliadas quando comparadas com uma amostra de referência e um banco de dados populacional. Já existem bancos de dados com mais de mil indivíduos sem nenhuma ligação de parentesco de múltiplos grupos populacionais (ATTMONELL et al., 2000; WITTIGA et al., 2000; RÖHL et al., 2001; MONSON et al., 2002).

O maior banco de dados já anotado até então contém 14138 sequências de indivíduos das regiões HV1 e HVII. Esta informação foi coletada de 103 publicações desde Janeiro de 2000, treze base de dados publicadas em 2000 e 2001 e de duas bases de dados não publicadas. Das 116 publicações, 90 delas requereram algum tipo de mudança e correção de erros ou ajustes na nomenclatura (RÖHL et al., 2001).

¹⁴*Federal Bureau of Investigation*: Órgão federal dos Estados Unidos que faz o papel de polícia federal daquele país. Sua sede fica em Washington, DC.

Microsoft Access - [Forensic Databases : Tabela]

Arquivo Editar Exibir Inserir Formatar Registros

Db_Id	Name	Group_Id
1	African-American	1
2	Afro-Caribbean	1
3	Sierra Leone	1
4	Caucasian	2
5	Hispanic	3
6	Japan	4
7	Korea	4
8	Thailand	4
9	Taijap	5
10	Apache	5
11	Egypt	1
12	Unspecified Origin	7
13	China-Taiwan	4
14	Guam	4
15	India	2
16	Pakistan	4

Figura 14: Ilustração de uma tabela do banco de dados de perfis de DNAm^t do CODIS^{mt}.

Isto demonstra que gerar dados precisos de sequências de DNAm^t para serem utilizados em bancos de dados forenses é uma tarefa complexa. A estimativa da frequência populacional para uma eventual “defesa legalizada” de um tipo de DNAm^t só poderá ser concretizada com a utilização de dados de alta qualidade e confiança que, consequentemente, ainda estão por ser produzidos.

O FBI já compilou o *mtDNA Population Database*, também conhecido como o CODIS^{mt} (MONSON et al., 2002), com o propósito de poder estimar frequências de perfis de DNAm^t para uma defesa legalizada.

O banco de dados do CODIS^{mt} possui dados forenses e dados publicados pela literatura (MILLER; BROWN; BUDOWLE, 2003). A modelagem do seu banco de dados tem o intuito de separar dados obtidos de laboratórios, validados pela utilização de protocolos forenses, daqueles laboratórios de pesquisas acadêmicas cuja qualidade dos dados não foram revisados segundo os protocolos publicados na literatura (figura 16).

O banco de dados forense do CODIS^{mt} contém 4839 perfis de DNAm^t de 16 diferentes tipos de populações (figura 14). Seus perfis foram sequenciados e seus eletroferogramas revisados nas posições 16024-16365 para HVI e nas posições 73-430 para HVII.

De modo a classificar os perfis de DNAm^t, o CODIS^{mt} utiliza um padrão de 14 caracteres alfanuméricos, com 3 blocos separados por um ‘.’, designados a identificar cada perfil de DNAm^t no banco, por exemplo: ‘BRA.CAU.000063’. O primeiro bloco de três caracteres representa o país de origem, o segundo block representa o grupo étnico e o último bloco, com 6 caracteres, representa a numeração sequencial.

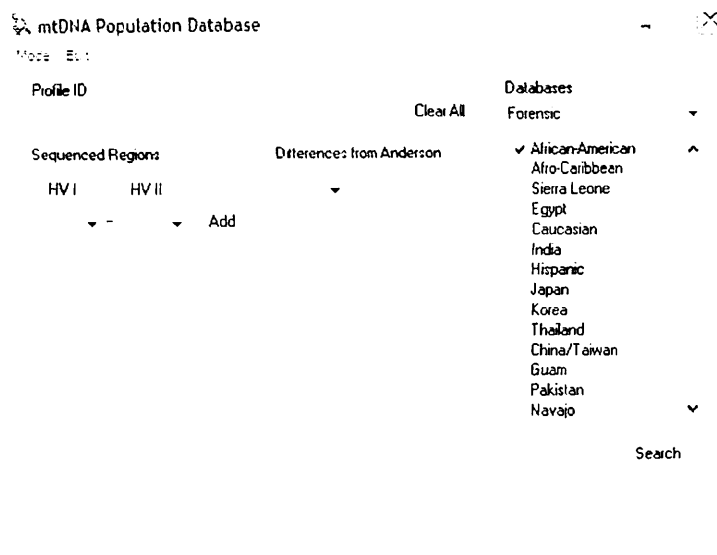


Figura 15: Tela principal do MitoSearch para a entrada dos polimorfismos a serem examinados na sua base de dados.

Este banco foi lançado em Abril de 2002 no formato de banco de dados do Microsoft Access e o seu download poderá ser feito pelo site do FBI na Internet, em conjunto com uma ferramenta de análise denominada MitoSearch (MONSON et al., 2002).

O MitoSearch pode comparar o haplótipo de perfis de DNAm com os dados das populações da figura 14, na qual sua entrada de dados exige apenas os polimorfismos em relação a rCRS (figura 15). Como resultado, o obtém-se número de vezes que um perfil aparece dentre cada um dos grupos populacionais. Por exemplo, o perfil de DNAm {16129A, 263G, 309D, 3151C} ocorre duas vezes em 1148 perfis de Afro-Americanos, duas vezes em 1655 perfis de Caucasianos e nenhuma vez em 686 perfis Hispânicos.

Em contrapartida, a comunidade Européia de sequenciamento do DNAm forense vem desenvolvendo um novo banco de dados populacional de alta qualidade para fins de aplicações de testes forenses e de identificação humana. A *European DNA Profiling Group* lançou o projeto *mitochondrial DNA population database* (EMPOP) para construir este novo banco. O sistema já está em fase de testes e poderá ser acessado *online*¹⁵ para avaliação (com um pedido de autorização).

¹⁵URL - <http://www.empop.org>

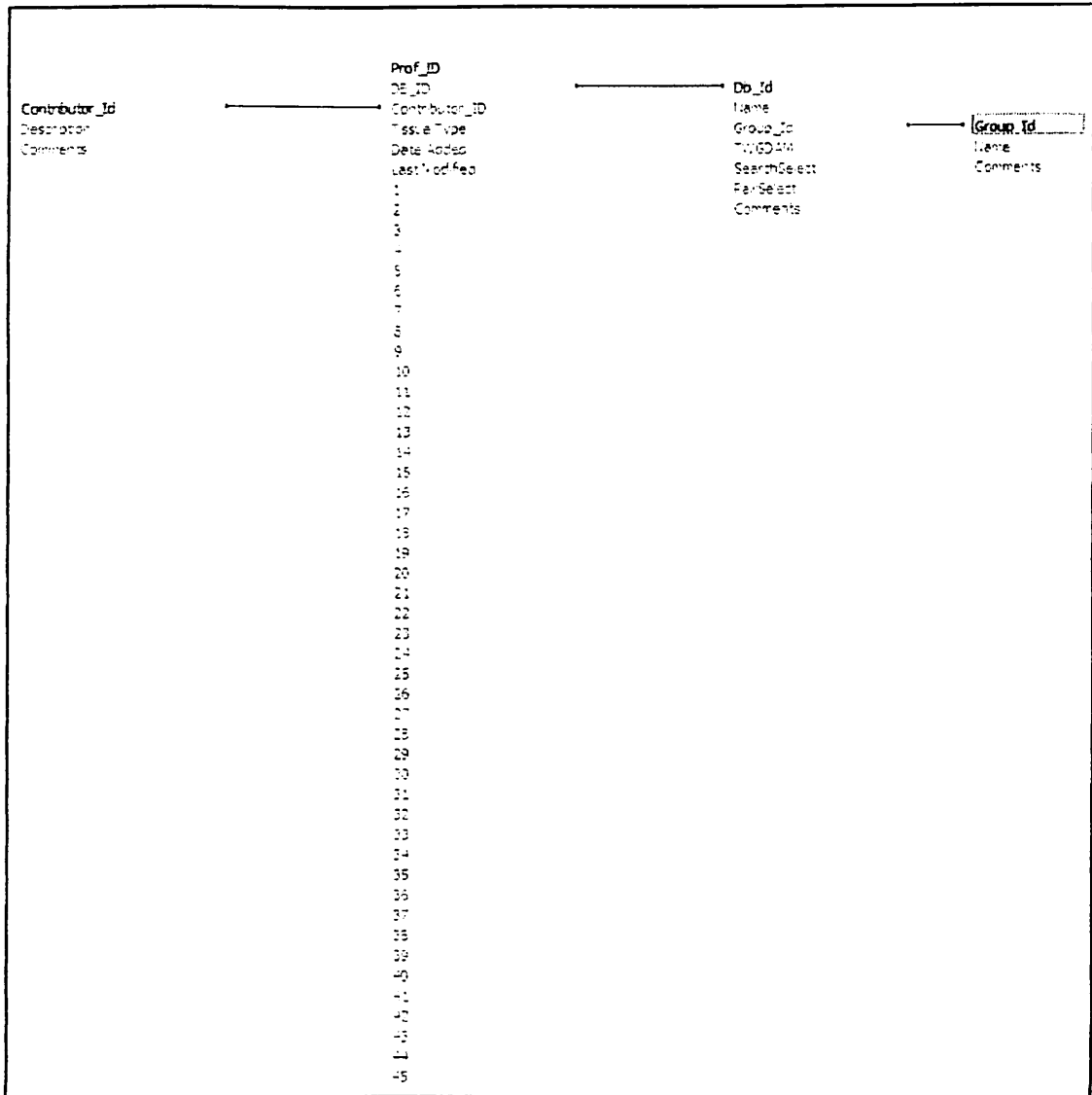


Figura 16: Ilustração do relacionamento entre as tabelas do banco de dados populacional do CODIS^{mt} (FBI). A tabela que armazena os perfis de DNAm é a “*Forensic Profiles*”. Observe que esta tabela foi modelada de forma que cada polimorfismo, do haplótipo do perfil, é representado como sendo um atributo da mesma (pelos números de 1 a 45).

2.11 Definindo haplogrupos

Durante o progresso da tipagem do DNAm, semelhanças entre os polimorfismos dos haplótipos das diversas amostras de diferentes regiões do globo foram observadas. Com isto, os haplótipos que apresentassem um certo grau de semelhança entre seus polimorfismos foram agrupados em haplogrupos (WALLACE; BROWN; LOTT, 1999; RUIZ-PESINI et al., 2004). Estes haplogrupos foram originalmente definidos em meados dos anos 80 e 90, agrupando-se as amostras que compartilhassem do mesmo, ou similar, padrão de polimorfismos, de acordo com cada grupo populacional e sua origem geográfica (Tabela 4).

Os haplogrupos estão correlacionados aos polimorfismos das regiões HVI e HVII e também estão de acordo com outras variações do genoma mitocondrial que podem vir a ocorrer (SNP)¹⁶. Os haplogrupos denominados por letras alfanúmericas tais como A, B, C, D, E, F, G e M são associados a Asiáticos, enquanto que a maioria dos nativos Americanos se encaixam nos haplogrupos A, B, C e D. Os haplogrupos L1, L2 e L3 são de origem Africana e os haplogrupos H, I, J, K, T, U, V, W e X estão associados a populações da Europa (figura 17) (ALLARD et al., 2002, 2004, 2005; ALVES-SILVA et al., 2000).

As informações de haplogrupo autentica e liga os perfis de DNAm a um determinado grupo populacional. Esta informação é importante no contexto forense pois serve como ajuda no controle de qualidade das sequências dos perfis armazenados em bancos de dados populacionais (ACHILLI et al., 2004; BUDOWLE et al., 2003; YAO; BRAVE; BANDELT, 2004).

¹⁶A ocorrência de uma variação no DNA que envolve a mudança de apenas um único nucleotídeo.

Haplogrupo (População)	Região Codificante Polimorfismos	Região Controle Polimorfismos
A (Asiático)	663	16233T, 16290T, 16319A, 235G
B (Asiático)	Deleções de 9pb, 16159C	16217C, 16189C
J (Caucasiano)	4216C, 12612G, 13708C	16069T, 16126C, 259T
L1 (Africano)	2758A, 3594T, 10810C	16187T, 16189C, 16223T, 16278T, 16311C

Tabela 4: Exemplo de 4 haplogrupos demonstrando o seu padrão de polimorfismos das regiões codificantes e da região controle, como também a sua origem geográfica.

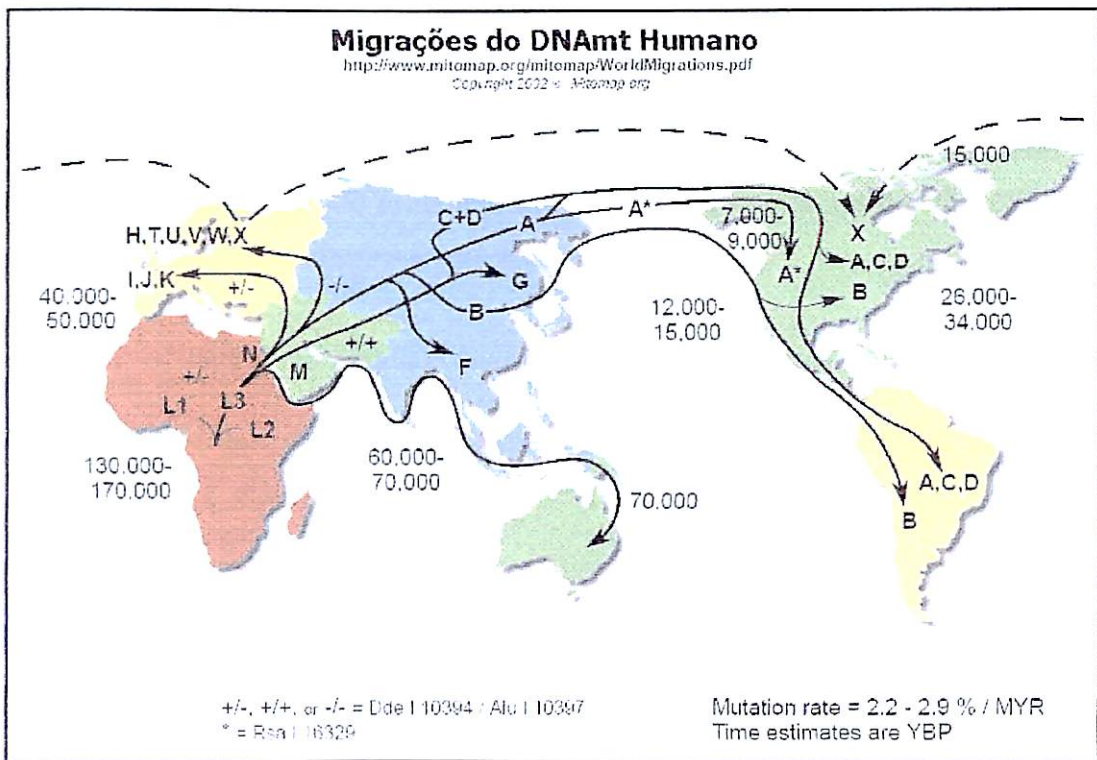


Figura 17: Distribuição dos haplogrupos nas diversas regiões do mundo.

2.12 Normas de alinhamento

Ambiguidades com respeito a nomenclatura dos resultados do DNAm_t poderão resultar em duas diferentes análises com relação a uma mesma amostra. Banco de dados populacionais poderão ter múltiplas entradas diferentes para um mesmo haplótipo de DNAm_t, impedindo assim uma estimativa precisa da frequência de um perfil em particular. Portanto, a padronização na designação das sequências de DNAm_t é de extrema importância para que se possa gerar e compartilhar dados entre os laboratórios (CAETANO et al., 2005a, 2005b).

O alinhamento entre as sequências de amostra e a rCRS tem como grande desafio a determinação de polimorfismos. O modo de tratamento de inserções e deleções (*gaps*) poderão variar entre os laboratórios, o que causará diferentes codificações para uma mesma amostra. O laboratório do FBI elaborou um número de recomendações para possibilitar a consistência no tratamento do tamanho de variantes em sequências de DNAm_t (WILSON et al., 2002). Três recomendações foram feitas:

1. Relatar os perfis com a menor quantidade de polimorfismos em relação a rCRS.
2. Caso exista mais de uma forma para relatar perfis com a menor quantidade de polimorfismos em relação a rCRS, tais polimorfismos deverão ser priorizados da seguinte maneira:
 - a) inserções-deleções (indels).
 - b) transição.
 - c) transversão.
3. Inserções e deleções deverão ser postos na 3' em relação a *light strand*.

As inserções e deleções deverão ser combinadas em situações que mantenham o mesmo número de polimorfismos em relação a rCRS. Estas recomendações estão organizadas em hierarquia, portanto, a recomendação 1 deverá tomar precedência sobre a recomendação 2 e 3. Demonstraremos alguns exemplos na seção 3.2.1 que necessitam de consistência no tratamento do tamanho de variantes na análise de sequências de DNAm_t, e como é realizado a anotação do seu resultado.

2.13 Parâmetros de controle de qualidade

É evidente a preocupação dos responsáveis pelos bancos de dados forenses com a qualidade das sequências de DNAm armazenadas e a importância destes bancos no processo de estimar a frequência de um *match* de uma amostra de evidência ligada a um suspeito, para ser utilizada como prova em um julgamento legal nos tribunais de justiça.

É demonstrado que as sequências de DNAm publicadas estão predispostas a conter erros, principalmente devido a má interpretação dos dados brutos de sequência (eletroferograma) e ou a introdução de erros no processo de transcrição dos dados e dos resultados (RöHL et al., 2001; BANDELT et al., 2001, 2002; FORSTER, 2003; DENNIS, 2003).

Em 1999, na conferência internacional da *International Society for Forensic Genetics* (ISFG), o *European DNA Profiling* (EDNAP) apresentou a proposta de desenvolver uma aplicação *Web* para a criação de um banco de dados *online* de DNAm (EMPOP) (PARSON et al., 2001b) que armazene dados populacionais de alta qualidade. Os dados que são importados para o banco de dados do EMPOP são fornecidos somente pelos laboratórios internacionais de DNA forense que participarem dos exercícios colaborativos (*collaborative exercises* - CE) da EDNAP (PARSON et al., 2004a). Os princípios básicos do CE foram modelados em sistemas existentes de controle de qualidade forense (CARRACEDO et al., 1998, 2001; RAND; SCHÜRENKAMP; BRINKMANN, 2002) na tentativa de avaliar as seguintes áreas:

1. A geração de resultados coerentes de sequências de DNAm entre diferentes laboratórios, utilizando suas técnicas individuais e instrumentais.
2. Os requisitos necessários para estabelecer, com sucesso, um processo padronizado de análise das sequências de DNAm para uniformizar a nomenclatura e a interpretação dos dados.
3. Introduzir o uso de um sistema computacional para garantir a transferência e o armazenamento dos dados, com segurança.

De forma conceitual, o método mais utilizado na detecção de erros é bastante simples: o haplótipo de DNAm precisa se encaixar dentro de uma parte específica da filogenia que é caracterizada por polimorfismos ou mutações específicas. Em situações onde não se consegue encaixar o haplótipo dentro de um padrão filogenético, é esperado então que este perfil tenha tido a sua natureza biológica modificada ou que ele seja apenas desconhecido.

Sítio	100	101	102	103
rCRS	T	G	A	T
1ª Amostra	■	■	■	A
2ª Amostra	■	C	■	■
3ª Amostra	■	C	■	■

Figura 18: Exemplo hipotético da troca de coluna na preparação de uma tabela de dados, demonstrando os polimorfismos das amostras em relação a rCRS. Os pontos representam a igualdade das bases. A listra pontilhada significa a coluna que foi trocada e as setas representam as devidas posições das colunas.

Este processo é realizado utilizando-se uma ferramenta de análise filogenética. Através dela, as similaridades e as diferenças entre múltiplas sequências relacionadas (isto é, de uma mesma região) poderão ser comparadas sistematicamente. Nela, o haplótipo é comparado com vários outros perfis na tentativa de verificar se o haplótipo difere extremamente dos outros. Um resultado com diferenças extremas ou incomuns poderá ser o indício de que a sequência foi contaminada ou anotada de maneira indevida. Por exemplo, o laboratório poderá trocar a sequência de HVI da amostra (a) e uni-la com a HVII da amostra (b), criando assim uma recombinação artificial ou uma composição de sequência por acidente. Portanto, o uso da análise filogenética pode ajudar na verificação de erros e na qualidade das sequências (BANDELT et al., 2001; BUDOWLE; POLANSKEY; ALLARD, 2004). Segundo (SALAS et al., 2005), existem cinco classes de erros que podem afetar a sequência, são elas:

- Classe 1 (*base shift*) : Um ou mais sítios são mau classificados no alinhamento, por exemplo, 316.1C ao invés de 315.1C; Lê-se a posição errada do sítio no alinhamento, por exemplo, o alinhamento aponta 73G e o resultado anotado é 74G; Troca-se a coluna durante a preparação de uma tabela de dados (figura 18).
- Classe 2 (*reference bias*) : Anota-se a base da rCRS ao invés do polimorfismo da amostra. Por exemplo, rCRS: 73A e amostra: 73G, anotando 73A ao invés de 73G.
- Classe 3 (mutação fantasma) : São polimorfismos incomuns que podem aparecer na sequência devido ao uso incorreto do sequenciador, da contaminação no manuseio da amostra (produtos bioquímico). É considerado o estado de degradação da amostra.

- Classe 1 (*base misscoring*) : Anotar errado, numa tabela de dados, a letra do nucleotídeo, trocar um nucleotídeo por um ponto '.' e/ou confundir uma transição a uma transversão e vice-versa, como ilustra a figura 18.
- Classe 5 (recombinação artificial) : Combinar HVI e HVII de diferentes amostras ao determinar o haplótipo de um perfil.

Uma inspeção geral realizada nos dados Afro-Americanos do banco de dados de DNAmf do SWGDAM (CODIS - FBI) apontou uma série de deficiências em relação a sua qualidade. Dentre os 1148 perfis, foi detectado cinco erros de recombinação artificial que podem ter sido ocasionados devido a uma mistura de amostras e/ou de materiais em laboratório, ou até mesmo, durante a transcrição dos dados (BANDELT; SALAS; BRAVI, 2004).

Em Bandelt, Salas e Lutz-Bonengel (2001), é descrito um dos erros mais explícitos encontrados no banco do FBI referente a combinação híbrida de dados no haplótipo do perfil USA.AFR.000942 que combina o primeiro segmento HVI, referido ao haplogrupo Africano L1b, com o segundo segmento HVII, referido a um haplogrupo de Nativo Americanos, denominado C1.

Uma série de outros erros como os da classe 1, 2, 3 e 4 já foram detectados no banco do FBI e acredita-se que ainda existam erros a serem descobertos e corrigidos. Estes erros vêm sendo detectados desde o início de 2001 até os dias de hoje nos diversos bancos de dados de DNAmf publicados na literatura. A oposição do instituto nacional de justiça dos E.U.A ao CODIS, devido a sua extensa avaliação sobre a qualidade e confiança dos seus dados, inibiu o FBI na geração de um novo e confiável banco de dados de DNAmf nos E.U.A.

A abordagem filogenética é ainda considerada o ponto de partida para uma reanálise sistemática dos dados de DNAmf, mesmo levando em consideração que esta ferramenta detecta apenas, em média, 50% dos erros (SALAS et al., 2005). Inúmeros erros que são difíceis ou quase impossíveis de se observar através da análise filogenética poderão permanecer no banco.

Desta forma, alguns dos haplogrupos oeste eurásianos, tal como o haplogrupo H, possuem quase nenhum sítio para o diagnóstico de HVI e HVII que facilitaria a detecção de recombinação artificial através do seu estudo filogenético (SALAS et al., 2005). O *Mitomap database* (BRANDON et al., 2004) também poderá servir de ajuda na verificação de erros através da sua base de dados de mutações variantes, da região controle, validadas pela literatura.

Neste capítulo, abordamos as principais características do DNAm e suas problemáticas encontradas pela comunidade forense para produzir e gerar dados de perfis genéticos de qualidade para serem utilizados em estudos de casos forenses.

No próximo capítulo discutiremos a problemática de se alinhar sequências de DNAm com exemplos de testes, realizados em ferramentas de análises, para alinhar sequências de nucleotídeos como, por exemplo, a ferramenta comercial SeqScape, bastante utilizada em laboratórios de DNA forense.

3 Alinhando Sequências do DNA Mitochondrial Forense

“Biology easily has 500 years of exciting problems to work on”

Donald E. Knuth

Este capítulo introduz o conceito do alinhamento de sequências, em especial o alinhamento global entre duas sequências, apresentando um dos métodos mais utilizados na comparação de sequências de DNA através da programação dinâmica. Por fim, é demonstrado a problemática encontrada no alinhamento de sequências de DNA Mitochondrial no estudo de casos forenses. A seção 3.1 e suas subseções estão fortemente baseadas nos capítulos 2 e 3 do livro Setubal e Meidanis (1997), no capítulo 6 do livro Pevzner (2001) e nas dissertações de mestrado Ticona (2003), Montera (2004) ...

3.1 Comparação de sequências biológicas

A comparação de sequências pode ser considerada a operação primitiva mais importante na biologia computacional. Basicamente, esta operação consiste em encontrar o maior número de semelhanças ou o menor número de diferenças entre duas ou mais sequências. Existe uma variedade de problemas, com diversas formulações, que podem requerer a utilização de diferentes estruturas de dados e algoritmos para obter uma solução eficiente ou até mesmo uma que seja apenas razoável.

Uma das funcionalidades na comparação de sequências é a determinação de um ancestral comum a partir de um conjunto de sequências. Por exemplo, ao comparar sequências de seres humanos com a de alguns primatas, é possível descobrir a sequência hipotética de uma espécie ancestral de ambos extinta. Se duas sequências possuem um ancestral comum, elas são ditas homólogas. É muito provável que duas sequências muito parecidas sejam homólogas, e as vezes, o mesmo pode ser dito em relação a duas outras sequências que não sejam muito parecidas. Ainda mais, é possível que duas sequências sejam parecidas embora não sejam homólogas.

Os primeiros algoritmos utilizados na comparação de sequências biológicas apareceram na década de 70 através da técnica de programação dinâmica (NEEDLEMAN; WUNSCH, 1970; SANKOFF, 1975; SMITH; WATERMAN, 1981). Posteriormente, surgiram modelos heurísticos e probabilísticos. Técnicas baseadas no aprendizado de máquina como redes neurais, algoritmos evolutivos, algoritmos genéticos e *simulated annealing* também foram desenvolvidas (LECOMPTE et al., 2001).

O alinhamento de sequências, o qual é formalmente denominado a comparação de sequências biológicas, tem um papel central na era pós-genômica. Lecompte e colaboradores (LECOMPTE et al., 2001) apontam algumas informações obtidas a partir do resultado de sua análise:

- Determinação da função biológica mediante a homologia entre sequências
- Busca de padrões conservados ao longo da evolução que podem servir como pistas para encontrar estruturas conservadas, sinais de localização ou resíduos funcionais que podem descrever uma família ou subfamílias de proteínas.
- Estudos evolutivos para definir relações filogenéticas entre sequências.
- Organização dos domínios dentro de uma família protéica.

- Construção da estrutura molecular a partir do alinhamento de nucleotídeos com uma proteína de estrutura conhecida e, conseqüentemente, determinar a sua função biológica.

Em se tratando de comparar seqüências de DNAmt para estudos de casos forenses, é levado em conta, neste trabalho, a seguinte situação:

- Teremos duas seqüências compostas pelo mesmo alfabeto (A, G, T, C e/ou N), ambas com quase o mesmo tamanho e possuindo algumas centenas de pares de base. Sabemos que as duas seqüências são muito similares, apresentando apenas algumas diferenças isoladas, tais como: inserções, deleções e substituições de caracteres. Com isto, nosso objetivo será o de encontrar o menor número de diferenças entre duas seqüências através do alinhamento.

A próxima seção apresenta os principais métodos utilizados na comparação de seqüências biológicas.

3.1.1 Alinhamento de sequências

Esta seção descreve os métodos mais utilizados na comparação de duas sequências. Especificamente, o objetivo é encontrar o melhor alinhamento entre elas.

Na prática, poderão acontecer diversas versões desta problemática na qual dependerá se estamos interessados em alinhar as sequências por inteira ou apenas suas subsequências. A primeira definição leva ao conceito de uma comparação global e a segunda ao de uma comparação local. Também poderá acontecer uma terceira prática de comparação, cujo objetivo é alinhar os prefixos e sufixos entre as duas sequências. Denominamos esta terceira definição por comparação semiglobal e explicaremos cada uma delas na seção 3.1.3.

Alinhar sequências é colocar uma sequência sobre a outra, de forma que a correspondência entre elas fique clara. Por exemplo, considere estas duas sequências de DNA onde t é a sequência que desejamos comparar, a sequência de amostra, e s a sequência de referência:

$$\begin{aligned}t &= \text{GACGGATTAG} \\s &= \text{GATCGGAATAG}\end{aligned}$$

Ambas as sequências são muito parecidas e diferem em tamanho por apenas uma posição. Ao alinharmos estas duas sequências suas diferenças ficam ainda mais nítidas, como podemos ver:

$$\begin{aligned}t &= \text{G A - C G G A T T A G} \\s &= \text{G A T C G G A A T A G}\end{aligned}$$

Após o alinhamento de s e t verificamos que as únicas diferenças são apenas a deleção de um T na sequência de amostra e uma substituição, ou mudança de base, de A para T, na quarta coluna, lendo-se da direita para a esquerda. Foi inserido um *gap* na sequência de amostra para equacionar perfeitamente as bases entre as duas sequências, tanto antes como depois do *gap*.

Com o exemplo do alinhamento acima, podemos validar a variação no tamanho entre as duas sequências pela inserção do *gap*. Desta forma, o alinhamento é definido como sendo a inserção arbitrária de *gaps* ao longo das posições das sequências para que elas se tornem do mesmo tamanho. Ao termos as duas sequências em tamanhos iguais, elas poderão então ser posicionadas, uma sobre a outra, criando assim uma correspondência entre seus caracteres e *gaps*. A inserção do *gap* pode ser posicionado tanto no começo, no meio ou no fim das sequências de forma a não ter *gaps* alinhados.

3.1.2 Esquema de pontuação

Dado o alinhamento entre duas sequências, o próximo passo a ser tomado é verificar o grau de similaridade deste alinhamento através de um sistema de pontuação.

Cada coluna do alinhamento irá receber um certo valor e o valor total do alinhamento será a soma de todos os valores designados às colunas, de acordo com o seguinte esquema de pontuação:

- *Caracteres ou pares de base iguais* ▷ Indica a ocorrência de um “casamento” ou um *match* entre o caractere de cada sequência, na mesma posição ou coluna: valor +1.
- *Caracteres ou pares de base distintos* ▷ Indica a ocorrência de uma substituição de bases ou um *mismatch* entre o caractere de cada sequência, na mesma posição ou coluna: valor -1.
- *Um gap* ▷ Indica a ocorrência de uma deleção quando o *gap* estiver presente na sequência *t*; uma inserção, caso o *gap* esteja presente na sequência *s*: valor -2.

Dentre as possibilidades de alinhamento entre duas sequências, o melhor deles é aquele que apresenta o *valor máximo* pontuado, ou seja, aquele com o maior grau de similaridade entre as bases.

Considere as sequências $s = \{\text{ATCCGAT}\}$ e $t = \{\text{ACGAAGT}\}$, as figuras 19, 20 e 21 ilustram três exemplos de possíveis alinhamentos entre elas. Utilizando o esquema de pontuação acima, o melhor alinhamento é o ilustrado na figura 21 cujo *valor máximo* é -2.

$$\begin{array}{cccccccc}
 A & T & C & C & G & A & T & - \\
 & | & & | & | & & | & | \\
 A & - & C & G & A & A & G & T
 \end{array}$$

Figura 19: Alinhamento entre s e t com *valor máximo* de: $3 \cdot 1 + 3 \cdot -1 + 2 \cdot -2 = -4$.

$$\begin{array}{cccccccc}
 A & T & C & C & G & A & - & - & T \\
 & | & | & & & & | & | & \\
 A & - & - & C & G & A & A & G & T
 \end{array}$$

Figura 20: Alinhamento entre s e t com *valor máximo* de: $5 \cdot 1 + 0 \cdot -1 + 4 \cdot -2 = -3$.

$$\begin{array}{cccccccc}
 A & T & C & C & G & A & - & T \\
 & | & & | & | & & | & \\
 A & - & C & G & A & A & G & T
 \end{array}$$

Figura 21: Alinhamento entre s e t com *valor máximo* de: $4 \cdot 1 + 2 \cdot -1 + 2 \cdot -2 = -2$.

Alinhamento Semiglobal

O objetivo do alinhamento semiglobal tem o mesmo princípio do alinhamento global: comparar duas sequências por inteira. Mas, no alinhamento semiglobal, todos os *gaps* encontrados na extremidade da sequência são ignorados no cálculo da pontuação.

Os *gaps* da extremidade são aqueles que estão localizados antes do primeiro e/ou depois do último caractere na sequência. Por exemplo:

- Dado as sequências $s = \{GACGACTTTCCATT\}$ e $t = \{GATCGTCC\}$;
- Temos o seguinte alinhamento semiglobal:

G	A	C	G	A	-	C	T	T	T	C	C	A	T	T
-	-	-	G	A	T	C	G	T	-	C	C	-	-	-

Com o valor máximo de: $6 \cdot 1 + 1 \cdot -1 + 2 \cdot -2 = 1$.

Este tipo de alinhamento é geralmente utilizado quando se compara sequências de tamanhos divergentes. Sendo também bem empregado na localização de genes similares.

3.1.4 O algoritmo de alinhamento global

Uma das abordagens para se computar as similaridades entre duas sequências seria gerar todos os alinhamentos possíveis entre elas, depois, analisar cada um dos resultados e, em seguida, escolher somente um deles como sendo o melhor alinhamento.

A seguir, apresentaremos o algoritmo utilizado neste trabalho baseado na técnica de programação dinâmica. Esta técnica consiste em resolver a instância de um problema aproveitando as soluções já computadas e resolvidas de outras instâncias menores do mesmo problema. Por exemplo: dado duas sequências s e t , ao invés de determinar suas similaridades, considerando o tamanho de suas sequências por inteiro, são determinadas as similaridades entre prefixos arbitrários das sequências, utilizando a resolução de pequenos prefixos para resolver prefixos maiores. Neste trabalho, cada base nucleica da sequência representa um prefixo.

Considere m o tamanho da sequência s , e n o tamanho da sequência t . Irão existir $m + 1$ possíveis prefixos de s e $n + 1$ possíveis prefixos de t . Assim, poderemos arrumar nossos cálculos como uma matriz de $(m + 1) \times (n + 1)$ onde a entrada (i, j) contém as similaridades entre $s[1..i]$ e $t[1..j]$.

Exemplificando, a figura 22 ilustra a matriz correspondente a $s = \text{AAAC}$ e $t = \text{AGC}$. Colocamos s ao longo da margem vertical à esquerda e t ao longo da margem horizontal acima para facilitar a visualização dos prefixos. Notem que a primeira coluna e a primeira linha são inicializadas com múltiplos da penalidade do *gap* (-2 para o nosso caso). Isto justifica o fato de que só poderá existir um único alinhamento possível, caso alguma das sequências esteja vazia.

Ao começarmos a preencher a matriz, observamos que podemos computar o valor para uma entrada (i, j) ao reparar três entradas prévias: aquelas por $(i - 1, j)$, $(i - 1, j - 1)$ e $(i, j - 1)$, devido ao fato de que só existem três formas de se obter um alinhamento entre $s[1..i]$ e $t[1..j]$, e cada um deles utiliza um desses três resultados prévios. Portanto, para preencher a matriz e conseguir um alinhamento entre $s[1..i]$ e $t[1..j]$, teremos uma das seguintes opções para escolher:

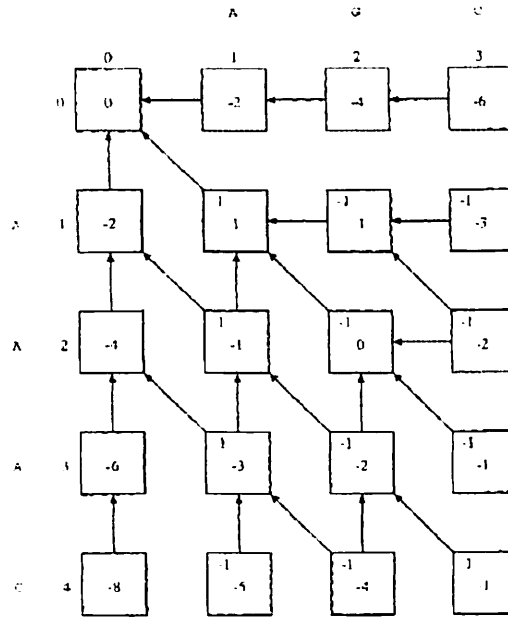


Figura 22: Matriz gerada para computar alinhamentos ótimos.

- Alinhar $s[1..i]$ com $t[1..j - 1]$ e casar $t[j]$ com um *gap*.
- Alinhar $s[1..i - 1]$ com $t[1..j - 1]$ e casar $s[i]$ com $t[j]$.
- Alinhar $s[1..i - 1]$ com $t[1..j]$ e casar $s[i]$ com um *gap*.

Conseqüentemente, a busca pela similaridade é realizada através da seguinte fórmula:

$$\text{sim}(s[1..i], t[1..j]) = \max \begin{cases} \text{sim}(s[1..i], t[1..j - 1]) - 2 \\ \text{sim}(s[1..i - 1], t[1..j - 1]) + p(i, j) \\ \text{sim}(s[1..i - 1], t[1..j]) - 2 \end{cases} \quad (3.1)$$

A função $p(i, j)$ retorna +1 caso $s[i] = t[j]$, e -1 caso $s[i] \neq t[j]$. Os valores de $p(i, j)$ estão escritos no canto esquerdo superior das caixas na figura 22.

O preenchimento da matriz não precisa seguir uma ordem específica. Ela poderá ser preenchida linha por linha, coluna por coluna, da esquerda para direita, de cima para baixa e vice-versa, contanto que a restrição da função de similaridade, descrita acima, seja garantida.

Finalmente, as setas ilustradas na figura 22 indicam o caminho de origem do *valor máximo* gerado de acordo com a função de similaridade. Denominando a matriz da função de similaridade por a , temos que o valor de $a[1, 2]$ foi obtido a partir do maior valor gerado dentre os seguintes valores da função de similaridade:

$$a[1, 2] = \max \begin{cases} a[1, 2 - 1] - 2 \\ a[1 - 1, 2 - 1] + p(1, 2) \\ a[1 - 1, 2] - 2 \end{cases}$$

O maior valor obtido pela função de similaridade vem da posição $a[1, 1]$, com valor de -1 , que será o dado de entrada para a posição $a[1, 2]$, como ilustra a seta na figura 22.

Ao preenchermos toda a matriz com a utilização da função de similaridade, estaremos finalizando o processo de calcular todas as similaridades entre as duas sequências. A seguir, realizaremos uma busca para encontrar o alinhamento ótimo entre elas.

As setas da figura 22 ajuda a visualizar a busca pela construção do processo do alinhamento ótimo. O primeiro passo é começar lendo pelo fim da matriz, ou seja, a partir da última entrada (m, n) e seguir as setas até que elas cheguem a entrada $(0, 0)$. Cada seta corresponde a comparação de uma coluna do alinhamento a ser gerado. Consideremos o seguinte fato:

- Temos uma seta saindo da entrada (i, j) .
- A seta aponta para a horizontal: ela corresponde a uma coluna do alinhamento com um *gap* em s , casado com uma base em $t[j]$.
- A seta aponta para a vertical: ela corresponde a uma coluna do alinhamento com um *gap* em t , casado com uma base em $s[i]$.
- A seta aponta na direção diagonal: ela corresponde a uma coluna do alinhamento onde as bases de $s[i]$ e $t[j]$ se casam.

Como já explicamos no início do capítulo, poderão existir vários alinhamentos ótimos entre duas sequências. Ao percorrermos cada entrada da matriz em busca deste alinhamento, poderemos nos deparar com três ramificações diferentes de acordo com a direção das setas. A cada escolha de uma das três ramificações, estaremos gerando um novo alinhamento ótimo.

Por exemplo, na figura 22, iniciando a busca pela entrada $a[4, 3]$, só temos um caminho a percorrer, a seta na diagonal que nos leva à $a[3, 2]$. Nela, temos outras duas ramificações: uma com a seta para a vertical, em direção à $a[2, 2]$, e uma outra seta para a diagonal, em direção à $a[2, 1]$. Continuando o trajeto por $a[2, 2]$ até o nosso destino $a[0, 0]$, geramos o seguinte alinhamento ótimo ilustrado na figura 23.

$$\begin{array}{cccc}
 A & G & - & C \\
 & | & & | \\
 A & A & A & C
 \end{array}$$

Figura 23: Possível alinhamento ótimo obtido através da matriz ilustrada na figura 22, passando por $a[4, 3] \rightarrow a[3, 2] \rightarrow a[2, 2] \rightarrow a[0, 0]$.

3.2 Inconsistência no alinhamento de sequências de DNA Mitochondrial

A ideia de caracterizar perfis de sequências de DNAm humano através da comparação de uma sequência de amostra com uma sequência padrão, a rCRS, tem sido de grande valia pois, desta maneira, provemos de uma linguagem comum para descrever as variações observadas nos perfis de DNAm humano das populações.

As regras de nomenclatura, para anotar as diferenças entre uma sequência de amostra e a sequência rCRS, já foram descritas nas seções 2.7 e 2.12. Mas, enquanto estas recomendações de nomenclatura atendem a maioria das situações encontradas em estudos populacionais da região controle do DNAm, ainda assim existem algumas outras situações mais complexas onde será preciso um tratamento mais explícito no alinhamento de suas sequências (BUDOWLE; DIZINNO; WILSON, 1999; TULLY et al., 2001).

O alinhamento entre sequências de DNAm, relativas a rCRS, deverá ser padronizado para que amostras idênticas sejam analisadas da mesma forma senão diferentes laboratórios poderão caracterizar diferentemente uma mesma sequência.

Mesmo com a metodologia utilizada no alinhamento de sequências, já consolidada para a geração de variações entre elas, ainda existem situações onde poderão ocorrer alternativas de inserções e deleções, provocando a inconsistência na anotação dos polimorfismos entre as sequências (SALAS; LAREU; CARRACEDO, 2001).

Em Wilson et al. (2002) são propostas recomendações adicionais para garantir a consistência no alinhamento de sequências de DNAm para sua utilização em aplicações de bancos de dados forenses e na comparação de perfis. É abordado um alinhamento baseado no contexto filogenético, utilizando diferentes prioridades para transições, transversões, inserções e deleções, mesmo que estes não reflitam o seu mecanismo biológico natural. As complicações começam a surgir quando encontramos dois ou mais alinhamentos ótimos.

3.2.1 Problemáticas do alinhamento

A seguir apresentaremos um número de exemplos que passam por uma leve revisão na estratégia do alinhamento de sequências do DNAmT com a sequência padrão, a rCRS. São observadas diversas instâncias do alinhamento onde cada uma delas apresenta uma diferente caracterização para o perfil de DNAmT da sequência em análise (WILSON et al., 2002).

Exemplo 1

Uma pequena repetição de binucleotídeos é encontrada na região controle do DNAmT humano próximo ao gene tRNA-*phenylalanine* (BODENTEICH et al., 1992). A rCRS contém cinco repetições de AC, e indivíduos na população apresentaram ter de três a sete repetições. Neste exemplo 1, verificamos uma variação de transição de G-A na posição 513.

Amostra:	A C C C A	A	C A C A C A C A C	C G C T G
rCRS:	A C C C A	G	C A C A C A C A C	A C C G C T G
Posição:		510		520

Exemplo 1: sequências a serem alinhadas.

O alinhamento 1a ilustra um possível alinhamento entre as duas sequências indicando a deleção do binucleotídeo AC.

Amostra:	A C C C A	A	C A C A C A C A C	C	- -	G C T G
rCRS:	A C C C A	G	C A C A C A C A C	A	C C	G C T G
Posição:		510		520		

Alinhamento 1a, com tres diferenças: 513A, 521D, 522D.

Pode-se eliminar a transição inserindo dois *gaps* na sequência de amostra de acordo com as recomendações 1 e 2, gerando assim o alinhamento 1b.

Amostra:	A C C C A	- -	A C A C A C A C	A C C G C T G
rCRS:	A C C C A	G	C A C A C A C A C	A C C G C T G
Posição:		510		520

Alinhamento 1b, com duas diferenças: 513D, 514D.

O alinhamento 1a perde logo na 1ª recomendação com uma diferença a mais ao alinhamento 1b, sendo então, este último, o alinhamento mais adequado, com as suas diferenças anotadas: 513D, 514D.

Exemplo 2

A variação de bases dentro uma região de repetição afeta consideravelmente a consistência do alinhamento. Por exemplo, o alinhamento 2 ilustra uma transição C-T na posição 514 que precede as repetições AC.

Amostra:	A C C C A G T A C A C A C A C C G C T G	
rCRS:	A C C C A G C A C A C A C A C A C C G C T G	
Posição:	510	520

Exemplo 2: sequencias a serem alinhadas.

O alinhamento 2a resulta em duas deleções: 514D, 515D, seguido de uma transição 516T.

Amostra:	A C C C A G - - T A C A C A C A C C G C T G	
rCRS:	A C C C A G C A C A C A C A C A C C G C T G	
Posição:	510	520

Alinhamento 2a, com tres diferenças: 514D, 515D, 516T.

Neste caso, utilizando-se as recomendações 1 e 2, o T poderá ser posicionado em ambos os lados da repetição. Posicionando-o antes das deleções, estas passam a fazer parte da repetição AC e assim, a recomendação 3 é aplicada no alinhamento 2b. Caso a transição seja posicionada depois das deleções, estas então passam a não ser encontradas dentro da repetição e a recomendação 3 não poderá ser aplicada (alinhamento 2a).

Amostra:	A C C C A G T - - A C A C A C A C C G C T G	
rCRS:	A C C C A G C A C A C A C A C A C C G C T G	
Posição:	510	520

Alinhamento 2b, com três diferenças: 514T, 515D, 516D.

De acordo com a recomendação 3, as inserções e deleções deverão ser posicionadas o quanto possível ao fim da 3' mantendo o mesmo número de diferenças em relação a

rCRS. Portanto, o alinhamento 2c é o preferido, com suas diferenças anotadas: 514T, 523D, 524D.

Amostra:	A	C	C	C	A	T	A	C	A	C	A	C	-	-	C	G	C	T	G	
rCRS:	A	C	C	C	A	C	A	C	A	C	A	C	A	C	C	G	C	T	G	
Posição:					510														520	

Alinhamento 2c, com três diferenças: 514T, 523D, 524D.

Exemplo 3

Neste exemplo, observa-se uma transição T-C na posição 16189, dentre o comprimento de citosinas (poly-C) e a substituição de uma transversão A-C na posição 16183.

Amostra:	A	A	A	C	C	C	C	C	C	T	C	C	C	A	T	G	C	T		
rCRS:	A	A	A	A	C	C	C	C	T	C	C	C	C	A	T	G	C	T		
Posição:				16180															16190	

Exemplo 3: sequências a serem alinhadas.

Um possível alinhamento deste perfil, em relação a rCRS, mantém os dois T alinhados no centro em meio ao poly-C, como ilustra o alinhamento 3a.

Amostra:	A	A	A	C	C	C	C	C	C	C	T	C	C	C	-	A	T	G	C	T	
rCRS:	A	A	A	A	C	C	C	C	-	-	T	C	C	C	C	A	T	G	C	T	
Posição:				16180																	16190

Alinhamento 3a, com quatro diferenças: 16183C, 16189D, 16190D, 16195T.

O alinhamento 3a resulta em quatro diferenças, uma transversão e três *indels*. Já o alinhamento 3b resulta em apenas três diferenças, sendo este o mais adequado.

Amostra:	A	A	A	C	C	C	C	C	T	C	C	C	A	T	G	C	T				
rCRS:	A	A	A	A	C	C	C	C	T	C	-	C	C	C	A	T	G	C	T		
Posição:				16180																	16190

Alinhamento 3b, com três diferenças: 16183C, 16189C, 16190.1T.

Exemplo 5

Considere as duas sequências abaixo:

Amostra:	A A A C C C C C C C C C C C G C
rCRS:	A A A C C C C C C C C T C C C C C G C
Posição:	300 310

Exemplo 5: sequências a serem alinhadas.

Temos as seguintes estratégias de alinhamento:

Amostra:	A A A C C C C C C C C C C - - - - G C
rCRS:	A A A C C C C C C C C T C C C C C G C
Posição:	300 310

Alinhamento 5a, com cinco diferenças: 309C, 311D, 312D, 313D, 314D.

Amostra:	A A A C C C C C C C - - - - C C G C
rCRS:	A A A C C C C C C C C T C C C C C G C
Posição:	300 310

Alinhamento 5b, com quatro diferenças: 309D, 310D, 311D, 312D.

Amostra:	A A A C C C C - - - - C C C C G C
rCRS:	A A A C C C C C C C C T C C C C C G C
Posição:	300 310

Alinhamento 5c, com quatro diferenças: 306D, 307D, 308D, 309D.

A princípio, o alinhamento 5a aparenta ser o mais adequado com cinco diferenças em relação a rCRS, com uma transição T-C (310) e mais quatro deleções da posição 312 até a 314.

Porém, existe a possibilidade de outros alinhamentos que resultam em apenas quatro diferenças, 5b e 5c.

O alinhamento 5b organiza suas deleções de forma contígua no fim da 3' após o T deletado na posição 310. Outras estratégias de alinhamento arrumariam as deleções de uma forma não contígua e portanto, são descartadas.

Já o alinhamento 5c não organiza suas deleções contíguas ao fim da 3' como é exigido pela recomendação 3, sendo então o alinhamento 5b o mais adequado.

Exemplo 6

Algumas sequências de DNAmIt exibem até seis deleções de pares de base na região controle em HIV. Esta região inicia na posição 98 e vai até a posição 114, como é ilustrado abaixo.

Amostra:	CTGGAGC	ACCC	
rCRS:	CTGGAGC	CGGAGCACCC	
Posição:	100		110

Exemplo 6: sequências a serem alinhadas.

Existem apenas duas formas potenciais de alinhamento como ilustram os alinhamentos 6a e 6b.

Amostra:	CTGG	-----	AGCACCC
rCRS:	CTGGAGC	CGGAGCACCC	
Posição:	100		110

Alinhamento 6a, com seis diferenças: 102D, 103D, 104D, 105D, 106D, 107D.

Amostra:	CTGGAGC	-----	ACCC
rCRS:	CTGGAGC	CGGAGCACCC	
Posição:	100		110

Alinhamento 6b, com seis diferenças: 105D, 106D, 107D, 108D, 109D, 110D.

O alinhamento 6a resulta em um total de seis diferenças. No entanto, o G pode ser organizado em ambas as extremidades das deleções contíguas ou até mesmo no meio. Porém, as deleções podem ser movidas para o fim da 3' gerando o alinhamento 6b, sendo este último o mais adequado.

Exemplo 7

Em alguns casos as deleções demonstradas no exemplo 6 poderão ser diferentes. Duas substituições de pares de base TC nas posições 96-97 é acompanhada de seis deleções, levemente modificadas do exemplo 6. As sequências abaixo iniciam na posição 96 e terminam na posição 114.

Amostra:	AGATCTGGAGCCCCC	
rCRS:	AGACGCTGGAGCCGGA	GCACCC
Posição:	100	110

Exemplo 7: sequências a serem alinhadas.

Na primeira inspeção, o alinhamento 7a poderá aparentar ser o melhor alinhamento de acordo com as recomendações. Porém, as *indels* são preferidas em relação a transições e transversões. Assim, o alinhamento 7b resulta em dois *indels* ao invés de duas substituições, como é ilustrado abaixo.

Amostra:	AGATCTGGAGCC-----CCC	
rCRS:	AGACGCTGGAGCCGGA	GCACCC
Posição:	100	110

Alinhamento 7a, com oito diferenças: 96T, 97C, 106D, 107D, 108D, 109D, 110D, 111D.

Amostra:	AGATC-CTGGAGCC-----CCC	
rCRS:	AGA-CGCTGGAGCCGGA	GCACCC
Posição:	100	110

Alinhamento 7b, com oito diferenças: 95.1T, 97D, 105D, 106D, 107D, 108D, 109D, 110D.

Ao contrário de uma combinação de transição/transversão, o alinhamento 7b resulta na inserção de um T (95.1T), seguido de uma citosina e depois, seguido de uma deleção na posição 97. Portanto, o alinhamento 7b é o mais adequado.

As recomendações e os exemplos demonstrados, nesta seção, tem como propósito refinar e padronizar o tratamento de variantes do DNAm humano para ser utilizado pela comunidade forense. Estas práticas tem como o objetivo ajudar a comunidade forense, a manter e gerar banco de dados de alta qualidade e, com isto, possibilitar a comparação de perfis a serem interpretados em estudos de caso forense.

3.2.2 Ferramentas para o alinhamento de sequências

O objetivo desta seção é descrever algumas ferramentas encontradas na literatura que alinham sequências de DNA. Demonstraremos a inviabilidade do uso destas ferramentas em estudos de caso forenses, especialmente em se tratando da análise de sequências do DNAmf em comparação com a sequência de referência, a rCRS.

Por último, ainda demonstraremos que o uso da ferramenta comercial de alinhamento o SeqScape (Applied Biosystems), cujo propósito é a sua utilização específica na análise de sequências forenses, também apresentou deficiência quanto ao alinhamento de sequências de DNAmf, na geração de seus resultados, para serem armazenados em bancos de dados forenses.

A maioria das ferramentas aqui citadas poderão ser encontradas para uso *online* ou para *download* através do portal de bioinformática da *European Bioinformatics Institute* (EMBL-EBI, 2005) (figura 21).

Ao acessar a seção *Toolbox*, no portal do EBI, o geneticista se depara com uma grande variedade de ferramentas. Elas estão organizadas e agrupadas, em diferentes categorias, de acordo com o seu tipo de funcionalidade.

É importante salientar que a categoria que nos interessa, e que está mais relacionada com o foco deste trabalho, é a da "*Sequence Analysis*".

Apesar das demais categorias estarem relacionadas com a predição de funções ou estruturas de proteínas, cuja utilidade não abrange o objetivo deste trabalho: a maioria, senão todas, possui, como base, a função do alinhamento de sequências, o que poderá confundir o usuário final.

As categorias são:

- **Similarity & Homology:** Este grupo apresenta mais de 15 ferramentas cujo propósito é o de comparar sequências de nucleotídeos ou de proteínas contra os diversos bancos de dados, na Internet, em busca de similaridades entre as sequências. Neste grupo, podemos encontrar algumas das ferramentas mais conhecidas como o Blast e o Fasta. Ambas possuem diversas ferramentas para diferentes funcionalidades, por exemplo: o *WU-Blast2* é uma ferramenta de alinhamento local e busca, para encontrar regiões de similaridades de sequências em bancos de dados nucleicos ou de proteínas (figura 25). Já o Fasta apresenta duas ferramentas independentes onde cada uma executa uma funcionalidade diferente como o *Fasta Nucleotide* e o *Fasta*

Protein, dentre muitas outras. Observe que na figura 25 até mesmo um geneticista experiente poderá se passar por um usuário leigo ao se deparar com os diversos tipos de configurações que podem ser estabelecidos para uma determinada tarefa em que ele esteja em busca. Nota-se facilmente que a maioria dessas opções de configuração não estão diretamente relacionadas com os conceitos de biologia, o que poderá dificultar ainda mais o seu manuseio.

- **Protein Functional Analysis:** Este grupo apresenta 8 ferramentas cujos propósitos são o de determinar a funcionalidade de proteínas através de diversos métodos e bancos de dados, bastante conhecidos, como o UniProtKB Swiss-Prot e o UniProtKB TrEMBL. Uma das ferramentas de destaque é a *InterProScan* que reúne vários métodos através de uma interface “amigável” (figura 26).
- **Proteomic Services:** Apresenta duas ferramentas para visualizar informações de sequências de proteína e outra para os pesquisadores poderem demonstrar os resultados de suas pesquisas no contexto de anotação do UniProt.
- **Sequence Analysis:** É nesta categoria que se encontram as ferramentas, propriamente ditas, para alinhar sequências de DNA Proteína, com o objetivo de elucidar o grau de similaridade entre elas e a sua origem evolucionária, tal como faz o *ClustalW* (figura 27), cujo enfoque é na utilização de alinhamentos múltiplos, de 2 a 3 sequências ou mais. Encontramos, também, ferramentas para determinar estrutura de genes e os tipos de proteínas que eles codificam, tal como faz o *Transeq*. Neste grupo, dentre as 15 ferramentas de análises disponíveis apenas uma delas, a *Align-EMBOSS*, está voltada para o alinhamento local e global entre duas sequências. Sendo portanto, esta última ferramenta, a única apropriada para alinhar sequências de amostras de DNAmf, com a rCRS, em estudos de casos forenses.
- **Structural Analysis:** Este grupo apresenta as ferramentas para a determinação de estruturas 2D 3D das proteínas, o que facilita, desta forma, o estudo da sua funcionalidade.

The image shows a screenshot of the EBI website's navigation menu. The menu is organized into several main sections:

- Tools**
 - Similarity & Homology
 - Blast2 - ASD NEW
 - Blast2 - EVEC
 - Blast2 - NCBI
 - Blast2 - Paracat
 - Blast2 - YU
 - Fasta
 - Fasta - ASD NEW
 - Fasta - LGIC NEW
 - Fasta - Gene/Protec
 - MParch
 - more
 - Prot. Function. Analysis
 - CLSTR
 - GeneClic
 - InterProScan
 - more
 - Proteomic Services
 - Easy
 - UnProt DAS
 - Sequence Analysis
 - Align
 - ClustalW Updated
 - GeneWise
 - PromoterVis
 - more
 - Structural Analysis
 - DALI
 - DALUS NEW
 - Maxscript
 - MSM Services
 - MSPfold
 - more
 - Tools Miscellaneous
 - EMBL Computational Services
 - Expression Profiler
 - HEAT
 - Quick3D
 - Readseq
 - Web Services
 - Whatch: NEW
 - more
- Databases**
 - Database Browsing & Entry Retrieval via...
 - BioMart
 - EMBL-SVA
 - Fetch Tools
 - Integr3 NEW
 - Query ArrayExpress
 - SRS
 - SR32D
 - UnProt DAS NEW
 - UnProt Search NEW
 - WSDofetch
 - Literature Databases
 - MEDLINE
 - OMIM
 - Patent Abstracts
 - more
 - Microarray Databases
 - ArrayExpress
 - MSAME
 - Nucleotide Databases
 - ASD
 - MTD NEW
 - EMBL-Bank
 - EMBL CDS
 - Ensembl
 - Genoms Reviews
 - INSTRILA
 - more
 - Protein Databases
 - CSA
 - GQA
 - Interact
 - IntEnc
 - InterPro
 - RANDM
 - UnProtKB Swiss-Prot
 - UnProtKB TrEMBL
 - UnProt
 - more
 - Proteomic Databases
 - OrfDB
 - Interact
 - IntEnc
 - more
 - Structure Databases
 - Entrezdb NEW
- Downloads**
 - EMBL FTP Server
 - Help Files
 - Database Repository
 - Software Repository
- Submissions**
 - EBio
 - ArrayExpress via MIAExpress
 - EMBL via WEBIN
 - EMDco
 - INSTRILA
 - RDS-AutoDep
 - UnProt via SPTI
 - VideoAlign

Additional elements on the page include a 'What's New' section with a link to a related section in the EBI's new bioinformatics educational website, a 'Please Note: 16th February 2006 - EBI Online Survey available' message, and a 'We welcome your input to help improve the EBI website' notice with a link to an online survey.

Figura 24: Serviços de Bioinformática oferecidos pelo EBI.

EMBL-EBI
European Bioinformatics Institute

[Home](#)
[About EBI](#)
[Groups](#)
[Services](#)
[Toolbox](#)
[Databases](#)
[Downloads](#)
[Submissions](#)

SIMILARITY SEARCHING & HOMOLOGY

WU-Blast2 Protein Database Query

WU-Blast2 stands for Washington University Basic Local Alignment Search Tool Version 2.0. The emphasis of this tool is to find regions of sequence similarity quickly, with minimum loss of sensitivity. This will yield functional and evolutionary clues about the structure and function of your novel sequence. Dr. Warren Gish at Washington University released this first "gapped" version of BL-FAST allowing for gapped alignments and statistics.

[Download Software](#)

YOUR EMAIL	SEARCH TITLE	RESULTS	PROGRAM	DATABASE	
	Sequence	interactive ▾	WU-blastp ▾	Protein ▾	UniProt ▾
MATRIX	DNA STRAND	EXP. THR.	FILTER	VIEW FILTER	FORMAT
blosum62 ▾	none ▾	default ▾	none ▾	no ▾	Default ▾
SENSITIVITY	STATS	SORT	topcomboN	SCORES	ALIGNMENTS
normal ▾	sump ▾	pvalue ▾	default ▾	default ▾	default ▾

Enter or Paste a PROTEIN ▾ Sequence in any format

PROTEIN
DNA/RNA

Figura 25: Interface da ferramenta WU-Blast2 com suas diversas opções de configuração do alinhamento, entre DNA ou proteínas, para a busca de similaridades nos bancos de dados.

InterProScan Sequence Search

This form allows you to query your sequence against InterPro. For more detailed information see the documentation for the perl stand-alone InterProScan package ([README file](#) or [FAQs](#)) or the InterPro [user manual](#) or [help pages](#).

Please Note: InterProScan job submissions should be limited to one sequence only. The system will no longer process 6 protein sequences simultaneously as of Monday Feb 12, 2008. Please contact [support](#) for help in submitting multiple sequences.

[Download Software](#)

YOUR EMAIL		RESULTS		
		interactive <input type="button" value="v"/>		
APPLICATIONS TO RUN <input type="radio"/> Clear all <input checked="" type="radio"/> Check all				
<input checked="" type="checkbox"/> BlastProDom	<input checked="" type="checkbox"/> FPrintScan	<input checked="" type="checkbox"/> HMMPiR	<input checked="" type="checkbox"/> HMMPfam	<input checked="" type="checkbox"/> HMMSmart
<input checked="" type="checkbox"/> HMMTigr	<input checked="" type="checkbox"/> ProfileScan	<input checked="" type="checkbox"/> ScanRegExp	<input checked="" type="checkbox"/> SuperFam.	<input checked="" type="checkbox"/> SignalP.HMM
<input checked="" type="checkbox"/> TMHMM	<input checked="" type="checkbox"/> HMMPanther	<input checked="" type="checkbox"/> Gens3D		
TRANSLATION TABLE (DNA/RNA only)			MIN. OPEN READING FRAME SIZE	
<input type="text" value="None"/> <input type="button" value="v"/>			<input type="text" value="100"/> <input type="button" value="v"/>	

Enter or Paste a PROTEIN Sequence in any format:

Upload a file

Figura 26: Interface "amigável" do InterProScan.

ClustalW Submission Form

Clustal W is a general purpose multiple sequence alignment program for DNA or proteins. It produces biologically meaningful multiple sequence alignments of divergent sequences. It calculates the best match for the selected sequences and lines them up so that the identities, similarities and differences can be seen. Evolutionary relationships can be seen via viewing Cladograms or Phylograms. [New users, please read the FAQ](#)

YOUR EMAIL	ALIGNMENT TITLE	RESULTS	ALIGNMENT	CPU MODE
	Sequence	interactive ▼	full ▼	single ▼
KTUP WINDOW SIZE	WINDOW LENGTH	SCORE TYPE	TOPDIAG	PAIRGAP
def ▼	def ▼	percent ▼	def ▼	def ▼
MATRIX	GAP OPEN	END GAPS	GAP EXTENSION	GAP DISTANCES
def ▼	def ▼	def ▼	def ▼	def ▼

OUTPUT		PHYLOGENETIC TREE		
OUTPUT FORMAT	OUTPUT ORDER	TREE TYPE	CORRECT DIST	IGNORE GAPS
align numbers ▼	aligned ▼	none ▼	off ▼	off ▼

Enter or Paste a set of Sequences in any supported format

Upload a file

Figura 27: Interface gráfica do ClustalW para o alinhamento de múltiplas seqüências, com suas diversas opções de configuração do alinhamento.

3.2.3 Alinhando sequências nucleotídeas do DNA Mitocondrial

A seguir, utilizaremos como exemplo duas ferramentas de análises para alinhar sequências de DNAmf humano como é realizado em estudos de casos forenses. O objetivo é provar que ainda não existem ferramentas de análises para alinhar sequências de DNAmf humano, em estudos de casos forenses, de acordo com as três recomendações (seção 2.12), como foi apresentado nos exemplos da seção anterior.

O simples fato de existirem diversas ferramentas deste gênero, disponíveis gratuitamente (*online* ou *standalone*) e até mesmo comerciais, já significa uma enorme preocupação para a comunidade forense, pois, o estudo do DNAmf necessita da padronização e da comunicação comum entre os laboratórios para que se possa obter êxito em suas análises.

O risco de se produzir diferentes perfis de DNAmf, sendo eles originados de uma mesma amostra, é muito grande quando um ou mais laboratórios utilizam diferentes ferramentas de análises para alinhar suas sequências. Esta preocupação se dá pelo fato de que as diversas ferramentas de análises são genéricas e não específicas para a utilização em casos forenses. Por serem genéricas, elas poderão apresentar inúmeras opções de configuração e diferentes formas de utilização, provocando a ocorrência de uma ou várias das 5 classes de erros, como é descrito na seção 2.13.

Antes de iniciarmos os testes com as duas ferramentas, vamos determinar a amostra e suas sequências que serão utilizadas. O penúltimo item aponta para o resultado final do perfil, desta amostra, o qual objetivamos atingir:

- A identidade da amostra é a LUC-01.
- Suas sequências são:

```
TTC TTT CATGGGGAAGCAGATTTGGGTAC
C ACCC AAGTATTGACTCACCCATCAACAA
CCGCTATGTATTTTCGTACATTACTGCCAG
TCACCATGAATATTGTACGGTACCATAAA
TACTTGACCACCTGTAGTACATAAAAAACC
CAATCCACATCAAAAACCCCTCCCCATGC
TTACAAGCAAGCACAGCAATCAACCTTCA
ACTATCACACATCAACTGCAACTCCAAAG
CCACCCCTCACCCACTAGGATACCAACAA
ACCTATCCACCCTTAACAGTACATAGTAC
ATAAAAACCATTTACCGTACATAGCACATT
ACAGTCAAAATCCCTTCTCGCCCC
```

HVI

```

TGTGCACGCGATAGCATTGCGAGACGCTGG
AGCCGGAGCACCCCTATGTCGCAGTATCTGT
CTTTGATTCC TGCCCCATCCTGTTATTTAT
CGCACCTACGTTCAATATTACAGGCGAAC
TACTTACTAAAAGTGTGTTGATTAATTAATG
CTTGTAGGACATAGTAATAACAATTGAATG
TCTGCACAGCCGCTTTCCACACAGACATCA
TAACAAAAAATTTCCACCAAAACCCCCCCT
CCCCCGCTTCTGGCCACAGCACTTAAACAC

```

HVII

- O resultado final do perfil deverá possuir o seguinte haplótipo:

HVI - 16111T, 16209C, 16223T, 16290T, 16319A, 16362C'

HVII - 73G, 146C, 153G, 210G, 235G, 263G, 309.1C, 315.1C

- A sequência rCRS poderá ser obtida através da referência: Brandon et al. (2004).

3.2.3.1 A ferramenta de análise Align-EMBOSS

Ao acessar a interface gráfica desta ferramenta (figura 28), o usuário geneticista forense irá se deparar com 5 opções de configuração: *Method*, *Gap Open*, *Gap Extend*, *Molecule* e *Matrix*). Existem duas caixas de texto para inserir cada uma da sequência de amostra e da rCRS.

A configuração de *Method* disponibiliza duas opções para a escolha do tipo de método do alinhamento desejado: Local ou Global. Como foi apresentado na seção 3.1.3, o alinhamento local tem o propósito de caracterizar o alinhamento de sequências de uma maneira oposta ao alinhamento global. A partir daqui, o usuário já poderá cometer erros, dependendo do tipo de dado que ele utilizará para representar a sequência rCRS. Existem duas práticas:

1. Representar a sequência rCRS com todas as bases do genoma.
2. Representar a sequência rCRS como sendo duas sequências independentes, uma para HVI (com apenas 342) e outra para HVII (com apenas 268pb).

A primeira prática significa inserir as 16569 pares de bases nucleicas, acarretando em uma maior complexidade do alinhamento e, portanto, acarretando em uma maior utilização do tempo de processamento para sua conclusão.

Comumente, os geneticistas forenses analisam uma sequência de cada vez, primeiro HVI (comprime as posições 73-340) e depois HVII (comprime as posições 16024-16365). Como cada sequência da amostra (HVI e HVII) tem, em média, 300pb (muito menor em relação ao tamanho do genoma mitocondrial), a escolha do método de alinhamento apropriado, para este caso, será o local (figura 29 e 30).

A escolha do método de alinhamento global causará problemas, visto que o mesmo passará a considerar todo o genoma mitocondrial como sendo a região controle de HVI ou HVII, ocasionando um resultado, em média, com 95% de gaps (figura 31).

A segunda prática significa inserir em torno de 16270pb a menos do que a primeira, resultando em um ganho considerável do custo e do tempo final de processamento do alinhamento.

O método de alinhamento adequado a escolher nesta situação é o global, pois agora trabalhamos especificamente com as duas regiões, HVI e HVII, da sequência de amostra, relativas a da sequência de referência (rCRS), objetivando comparar suas similaridades por inteiro. Porém, nem o método global e nem o local resultará em um alinhamento satisfatório, visto que a ferramenta falha ao determinar corretamente a numeração das bases das devidas regiões de HVI e HVII (figuras 32 e 33 para o alinhamento local) (figuras 34 e 35 para o alinhamento global).

Foram realizados outros testes de alinhamento com diferentes valores de configuração para *Gap Open*, *Gap Extend* e *Matrix*. No entanto, estas alterações não apresentaram nenhuma diferença no resultado em relação aos seus valores *default*.

EMBOSS Pairwise Alignment Algorithms

This tool is used to compare 2 sequences. When you want an alignment that covers the whole length of both sequences, use needle. When you are trying to find the best region of similarity between two sequences, use water.

Method		Gap Open
EMBOSS needle (global) ▼		10.0 ▼
Gap Extend	Molecule	Matrix
0.5 ▼	Protein ▼	Blosum62 ▼

Sequence 1 paste Sequence in any format OR upload a file

Seq 1 Upload a file

Sequence 2 paste Sequence in any format OR upload a file

Seq 2 Upload a file

Figura 28: Interface do Align-EMBOSS com suas configurações de alinhamento pré-determinadas para a análise de moléculas de proteína, um grande risco para geração de erros em estudos de casos forenses.

```

#####
# Program: water
# Runday: Thu Mar 23 17:34:14 2006
# Align_format: srspair
# Report_file: /ebi/extserv/old-work/water-20060323-17341358680340.output
#####

#=====
#
# Aligned_sequences: 2
# 1: EMBOSS_001
# 2: EMBOSS_001
# Matrix: EDNAFULL
# Gap_penalty: 10 0
# Extend_penalty: 0.5
#
# Length: 342
# Identity: 336/342 (98.2%)
# Similarity: 336/342 (98.2%)
# Gaps: 0/342 (0.0%)
# Score: 1656.0
#
#
#=====

EMBOSS_001      1 TTCTTTCATGGGGAAGCAGATTTGGGTACCACCCAAGTATTGACTCACCC      50
                |||
EMBOSS_001    16024 ttcttcatggggaagcagatttgggtaccaccaagtatgactcacc      16073

EMBOSS_001      51 ATCAACAACCGCTATGTATTTCGTACATTACTGCCAGTCACCATGAATAT      100
                |||
EMBOSS_001    16074 atcaacaaccgctatgtatttcgtacattactgccagccaccatgaatat      16123

EMBOSS_001     101 TGTACGGTACCATAAATACTTGACCACCTGTAGTACATAAAAACCCAATC      150
                |||
EMBOSS_001    16124 tgtacggtaccataaatacttgaccacctgtagtacataaaaaccaatc      16173

EMBOSS_001     151 CACATCAAAAACCCCTCCCATGCTTACAAGCAAGCAAGCAATCAACCT      200
                |||
EMBOSS_001    16174 cacatcaaaaacccctcccatgcttacaagcaagtacagcaatcaacc      16223

EMBOSS_001     201 TCAACTATCACACATCAACTGCAACTCCAAGCCACCCCTCACCCACTAG      250
                |||
EMBOSS_001    16224 tcaactatcacacatcaactgcaactccaagccacccctcaccactag      16273

EMBOSS_001     251 GATACCAACAAACCTATCCACCCCTTAACAGTACATAGTACATAAAACCAT      300
                |||
EMBOSS_001    16274 gataccaacaaacctatccacccttaacagtacatagtacataaaacccat      16323

EMBOSS_001     301 TTACCGTACATAGCACATTACAGTCAAATCCCTTCTCGCCCC      342
                |||
EMBOSS_001    16324 ttaccgtacatagcacattacagtcaaatcccttctcgtccc      16365

```

Figura 29: Alinhamento local para HVI da amostra LUC-01, contra os 16569pb da rCRS, gerado pelo Align-EMBOSS. Foram mantidos os valores *default* para *Gap Open*, *Gap Extend* e *Matrix*, com *Molecule* para DNA. As entre linhas amarelas destacam a ambiguidade de numeração das bases geradas pela ferramenta, possibilitando ao usuário de cometer os erros das classes 1, 2 e 4, por exemplo: 87T ou 87C (seção 2.13). As entre linhas verdes destacam o alinhamento correto, de acordo com as três recomendações, produzindo os seguintes polimorfismos para HVI: 16111T, 16209C, 16223T, 16290T, 16319A, 16362C.

```

#####
# Program: water
# Rundate: Thu Mar 23 18:12:39 2006
# Align_format: srspair
# Report_file: /ebi/extserv/old-work/water-20060323-18123808503683.output
#####

#=====
#
# Aligned_sequences: 2
# 1: EMOSS_001
# 2: EMOSS_001
# Matrix: EDNAFULL
# Gap_penalty: 10.0
# Extend_penalty: 0.5
#
# Length: 271
# Identity: 262/271 (96.7%)
# Similarity: 262/271 (96.7%)
# Gaps: 2/271 (0.7%)
# Score: 1271.5
#
#
#=====

EMOSS_001      1  TG1GCACGCGATAGCATTGCGAGACGCTGGAGCCGGAGCACCCCTATGTGC      50
EMOSS_001      72  tatgcacgCGatagcattgCGagacgctggagccggagcaccctatgtcg      121
EMOSS_001      51  CAGTATCTGTCTTTGATTCTGCCCCATCCTGTTATTTATCGCACCTACG      100
EMOSS_001      122  cagtatctgtctttgattcctgcctcatcc2atatttatcgacctacg      171
EMOSS_001      101  TTCAATATTACAGGCGAACATACTTACTAAAGTGTGT4GATTAATTAATG      150
EMOSS_001      172  ttcaatattacaggcgaacatacttactaaagtgtgt2taattaataatg      221
EMOSS_001      151  CTTGTAGGACATAG1AATAACAATTGAATGTCTGCACAGCCGCTTCCAC      200
EMOSS_001      222  ctgtaggacata2aataataacaattgaatgtctgcacagccacttccac      271
EMOSS_001      201  ACAGACATCATAACAAAAAATTTCCACCAAACCCCCCCTCC1CCCCGCTT      250
EMOSS_001      272  acagacatcataacaaaaaatttccaccaaacc1ccccc1gctt      319
EMOSS_001      251  CTGGCCACAGCACTTAAACAC      271
EMOSS_001      320  ctggccacagcacttaaacac      340

```

Figura 30: Alinhamento local para HVII da amostra LUC-01, contra os 16369pb da rCRS, gerado pelo Align-EMBOSS. Foram mantidos os valores *default* para *Gap Open*, *Gap Extend* e *Matriz*, com *Molecule* para DNA. As entre linhas amarelas destacam a ambiguidade de numeração das bases geradas pela ferramenta, possibilitando ao usuário de cometer os erros das classes 1, 2 e 4, por exemplo: 202G ou 202A (seção 2.13). As entre linhas verdes destacam o alinhamento correto e as entre linhas vermelhas os incorretos, de acordo com as três recomendações, produzindo os seguintes polimorfismos para HVII: 73G, 146C, 153G, 210G, 235G, 263G, 309.1C, 309.2T, 310C.

```
#####
# Program: needle
# Rundate: Thu Mar 23 18:45:13 2006
# Align_format: srspair
# Report_file: /ebi/extserv/old-work/needle-20060323-18451162865055.output
#####

#=====
#
# Aligned_sequences: 2
# 1: EMBOSS_001
# 2: EMBOSS_001
# Matrix: EDNAFULL
# Gap_penalty: 10.0
# Extend_penalty: 0.5
#
# Length: 16569
# Identity: 336/16569 ( 2.0%)
# Similarity: 336/16569 ( 2.0%)
# Gaps: 16227/16569 (97.9%)
# Score: 1656.0
#
#
#=====

EMBOSS_001      1  gatcacaggtctatcacacctattaaccactcacgggagctctccatgcat      50
EMBOSS_001      1
EMBOSS_001     51  ttggtat tttcgtctggggggtatgcacgcgatagcattgcgagacgctg     100
EMBOSS_001      1
EMBOSS_001    101  gagccgggagcacacctatgtcgcagtatctgtctttgattcctgcctcacc     150
EMBOSS_001      1
EMBOSS_001    151  ctattat tttatgcacactacgttcaatattacaggcgaacatacttacta     200
EMBOSS_001      1
EMBOSS_001    201  aagtgtgttaattaattaatgcttgtaggacataataataacaattgaat     250
EMBOSS_001      1
```

Figura 31: Alinhamento global para HIV da amostra LUC-01, contra os 16569pb da rCRS, gerado pelo Align-EMBOSS. Foram mantidos os valores *default* para *Gap Open*, *Gap Extend* e *Matrix*, com *Molecule* para DNA. A entre linha vermelha destaca a enorme quantidade de *gaps* inserido no alinhamento, o que não vai de acordo com as três recomendações. O alinhamento não pôde ser exibido por inteiro pois ultrapassou as dimensões do monitor, devido aos 16569pb alinhados. O mesmo experimento foi realizado para HIV da amostra LUC-01 (com as mesmas configurações), apresentando uma taxa de 98% de inserções de *gaps* no alinhamento.


```

#####
# Program: water
# Rundate: Thu Mar 23 19:33:49 2006
# Align_format: srspair
# Report_file: /ebi/extserv/old-work/water-20060323-19334842741681.output
#####

#=====
#
# Aligned_sequences: 2
# 1: EMBOSS_001
# 2: EMBOSS_001
# Matrix: EDNAFULL
# Gap_penalty: 10.0
# Extend_penalty: 0.5
#
# Length: 269
# Identity:      261/269 (97.0%)
# Similarity:    261/269 (97.0%)
# Gaps:          2/269 ( 0.7%)
# Score: 1270.5
#
#
#=====

EMBOSS_001      3 TGCA CGGATAGCATTGCGAGACGCTGGAGCCGGAGCACCCCTATGTCGCA      52
  |||
EMBOSS_001      2 tgcacg c gatagcattg cgagacgctggagccggagcacccctatgtcgca      51

EMBOSS_001     53 GTATCTGTCTTTGATTCC TGC C C C ATCC T G T TATTTATCGCACCTACGTT      102
  |||
EMBOSS_001     52 gtatctgtctttgattcc tgc c c c atcc t g t t a t t t a t c g c a c c t a c g t t      101

EMBOSS_001     103 CAATATTACAGGCGAACATACTTACTAAAGTGTGTTGATTAATTAATGCT      152
  |||
EMBOSS_001     102 caatattacaggcgaacatacttactaaagtgtgttgat taattaatgct      151

EMBOSS_001     153 TGTAGGACATAGTAATAACAATTGAATGTCTGCACAGCCGCTTTCCACAC      202
  |||
EMBOSS_001     152 tgtaggacataa caataacaattgaatgtctgcacagccactttccacac      201

EMBOSS_001     203 AGACATCATAACAAAAAATTTCCACCAAACCCCCCTCCCGCCGCTTCT      252
  |||
EMBOSS_001     202 agacatcataa caaaaaat t t c c a c c a a a c c c c c c t c c c c g c t t c t      249

EMBOSS_001     253 GGCCACAGCACTTAAACAC      271
  |||
EMBOSS_001     250 ggccacagcacttaaacac      268

```

Figura 33: Alinhamento local para HIV da amostra LUC-01 contra HIV da rCRS, gerado pelo Align-EMBOSS. Foram mantidos os valores *default* para *Gap Open*, *Gap Extend* e *Matrix*, com *Molecule* para DNA. As entre linhas amarelas destacam a numeração incorreta das bases geradas pela ferramenta, possibilitando ao usuário de cometer os erros das classes 1, 2 e 4 (seção 2.13). As entre linhas verdes destacam o alinhamento correto e a vermelha o incorreto, de acordo com as três recomendações. Porém, a geração incorreta da numeração das bases resulta em uma falha total do processo de alinhamento.

```

#####
# Program: needle
# Rundate: Thu Mar 23 19:16:27 2006
# Align_format: srspair
# Report_file: /ebi/extserv/old-work/needle-20060323-19162635630612.output
#####

#=====
#
# Aligned_sequences: 2
# 1: EMBOSS_001
# 2: EMBOSS_001
# Matrix: EDNAFULL
# Gap_penalty: 10.0
# Extend_penalty: 0.5
#
# Length: 342
# Identity: 336/342 (98.2%)
# Similarity: 336/342 (98.2%)
# Gaps: 0/342 ( 0.0%)
# Score: 1656.0
#
#
#=====

EMBOSS_001      1 TTCTTTCATGGGGAAGCAGATTTGGGTACCACCCAAGTATTGACTCACCC      50
EMBOSS_001      1 ttctttcatggggaagcagatttgggtaccaccaagtattgactcacc      50

EMBOSS_001     51 ATCAACAACCGCTATGTATTTTCGTACATTACTGCCAGTCACCATGAATAT     100
EMBOSS_001     51 atcaacaaccgctatgtat ttcgtacattactgccagtcaccatgaatat     100

EMBOSS_001    101 TGTACGGTACCATAAATACTTGACCACCTGTAGTACATAAAAACCCAATC     150
EMBOSS_001    101 tgtacggtaccataaatacttgaccacctgtagtacataaaaacccaatc     150

EMBOSS_001    151 CACATCAAAAACCCCTCCCCATGCTTACAAGCAAGCAGCAATCAACCT      200
EMBOSS_001    151 cacatcaaaaacccctccccatgcttacaagcaagcagcaatcaacc      200

EMBOSS_001    201 TCAACTATCACACATCAACTGCAACTCCAAGCCACCCCTCACCCACTAG     250
EMBOSS_001    201 tcaactatcacacatcaactgcaactccaaagccaccctcaccactag     250

EMBOSS_001    251 GATACCAACAAACCTATCCACCCTTAACAGTACATAGTACATAAAAACCAT     300
EMBOSS_001    251 gataccaacaacacctaaccacccttaacagtacatagtacataaaaac      300

EMBOSS_001    301 TTACCGTACATAGCACATTACAGTCAAATCCCTTCTCCGCC      342
EMBOSS_001    301 ttaccgtacatagcacattacagtcaaatcccttctccgcc      342

```

Figura 34: Alinhamento global para HVI da amostra LUC-01 contra HVI da rCRS, gerado pelo Align-EMBOSS. Foram mantidos os valores *default* para *Gap Open*, *Gap Extend* e *Matrix*, com *Molecule* para DNA. As entre linhas amarelas destacam a numeração incorreta das bases geradas pela ferramenta, possibilitando ao usuário de cometer os erros das classes 1, 2 e 4 (seção 2.13). As entre linhas verdes destacam o alinhamento correto, de acordo com as três recomendações. Porém, a geração incorreta da numeração das bases resulta em uma falha total do processo de alinhamento, produzindo os seguintes polimorfismos para HVI: 88T, 186C, 200T, 267T, 296A, 339C.

3.2.3.2 A ferramenta de análise SeqScape

Esta ferramenta de análise vem acompanhada do sequenciador da Applied Biosystems. A grande maioria dos laboratórios de DNA forense utilizam equipamentos da Applied Biosystems, especialmente pelo fato desses equipamentos serem acompanhados de *softwares* voltados para a análise do DNA forense, como o SeqScape.

O SeqScape, como toda ferramenta para fins comerciais, foi modelado com o intuito de facilitar a utilização do processo de análise de sequências para o usuário final, o geneticista forense. O seu processo de análise de sequências é realizado em cinco passos. Eles são:

1º passo: Importar os quatro arquivos `*.ABI` do sequenciador, com as sequências F e R das duas regiões de HVI e HVII. Cada arquivo contém informações relacionadas ao sequenciamento de cada região da amostra em estudo, como também as informações visuais do seu eletroferograma (figura 37).

2º passo: Adicionar os quatro arquivos `*.ABI` no SeqScape para visualização dos dados.

3º passo: Este envolve o processo de geração da sequência consenso (figura 10) a partir das duas sequências F e R, de cada região do D-loop (HVI e HVII). A seguir, cada sequência consenso de HVI e HVII é alinhada com a rCRS e, em seguida, é gerado o resultado do processo da análise (figura 38).

4º passo: Consiste em visualizar o alinhamento gerado da sequência de amostra com a rCRS e o seu eletroferograma. Neste passo o usuário poderá fazer uma revisão da qualidade dos dados, observando os picos de cada base do eletroferograma. Ele também poderá inspecionar e editar os polimorfismos gerados pelo alinhamento (figura 39).

5º passo: Nesta última etapa o usuário poderá gerar relatórios com as informações e os resultados da análise, destacando os polimorfismos que foram obtidos (figura 40).

Como exemplo de teste para a ferramenta do SeqScape, utilizaremos os seguintes dados:

- A identidade da amostra é a AL09.
- Suas sequências são:

```

TTC TTTC ATGGGG AAGCAGATTT
GGGT ACCACCC AAGTATTGACTC
ACCC ATCAAC AACCGCTATGTAT
TTCGTACATTACTGCCAGTCACC
ATGAATATTGTACGGTACCATAA
ATACTTGACCACCTGTAGTACAT
AAAAACCC AATCCACATCAAAAC
CCCC TCCCC ATGCTTACAAGCAA
GTACAGCAATCAACC TTCAACTA
TCACACATCAACTGCAACTCCAA
AGCCACCCCTC ACCCACTAGGAT
ACCAACA AACCTATTC ACCCTTA
ACAGTACATAGTACATAAAACCA
TTTACC GT-CATAGCACATTACA
GTC AAATCCC TTC TCGCCCC

```

HVI

```

GTGCACGC GATAGCA TTGCGAG
ACGCTGGAGCCGGAGCACCC TA
TGTCGCAGTATCTGTC TTTGAT
TCC TGCCCC ATCCTGTTATTTA
TCGCACCTACGTTCAATATTAC
AGGCGAACATACTTACTAAAGT
GTGTTAATTAATTAATGCTTGT
AGGACATAGCAATAACAATTGA
ATGTC TGCACAGCCGC TTTCCA
CACAGACATCATAACAAAAAT
TTCC ACCAAACCCCCCCCCC TCC
CCCCGC TTC TGGCCACAGCACT
TAAACAC

```

HVII

- O resultado final do perfil deverá possuir o seguinte haplótipo:

HVI - 16111T, 16223T, 16290T, 16291T, 16319A, 16362C
 HVII - 73G, 146C, 153G, 235G, 236C, 263G, 309.1C, 309.2C, 315.1C

- A sequência rCRS poderá ser obtida através da referência: (BRANDON et al., 2004).

O SeqScape já vem com o genoma completo do DNAm humano embutido como padrão, possibilitando que o usuário apenas se preocupe em inserir as sequências de HVI e HVII da amostra. Porém ele utiliza outro genoma mitocondrial como referência, o Yoruba (Africano), indo totalmente de encontro com a prática exercida pela comunidade forense, onde a sequência de referência utilizada é a rCRS. Assim, o geneticista forense, ao utilizar o SeqScape, precisará entrar com a sequência rCRS. Caso contrário, suas sequências de

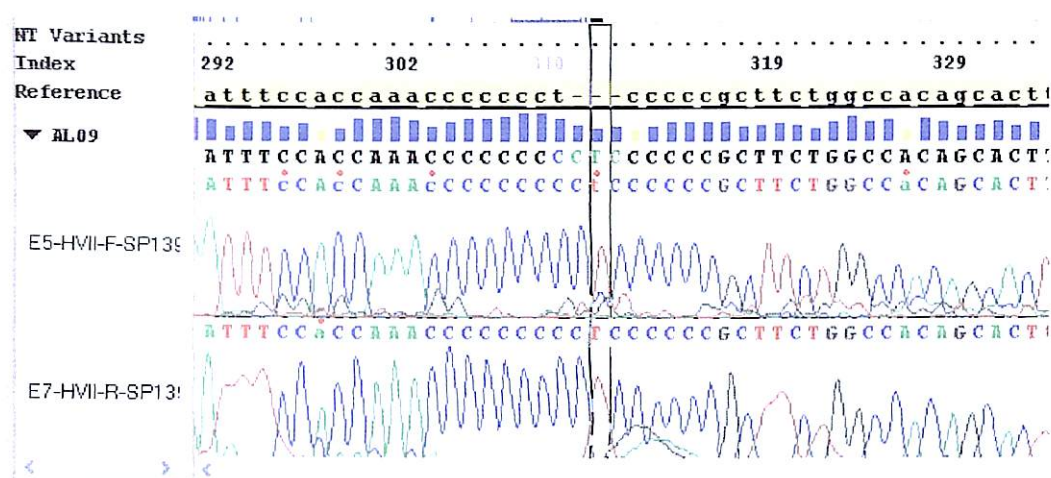


Figura 36: Alinhamento confuso gerado pelo SeqScape da sequência HVII da amostra AL09. O resultado gerado foi o: HVII - 73G, 146C, 153G, 235G, 236C, 263G, 310.1C, 310.2T, 310.3C.

amostra serão analisadas com a Yoruba, gerando resultados inesperados. Da mesma forma que a ferramenta Align-EMBOSS, o SeqScape também obteve sucesso em alinhar a sequência de HVI. No entanto, ela também foi incapaz de alinhar a sequência de HVII (figura 36). O alinhamento obteve os polimorfismos ‘... 310.1C, 310.2T, 310.3C’ ao invés dos ‘... 309.1C, 309.2C, 315.1C’.

Com o fim dos testes, concluímos que ambas as ferramentas (Align-EMBOSS e o SeqScape) são incapazes de alinhar corretamente a sequência de HVII quando há inserções na região do poly-C, não atendendo as três recomendações propostas para o tratamento de variantes do DNAm humano em estudos de casos forenses (seção 2.12). Mesmo que a ferramenta SeqScape possibilite a edição manual desta falha no alinhamento, esta mesma possibilidade poderá acarretar em novos erros, visto que a falha humana é inerente.

Diferente do Align-EMBOSS, o SeqScape destaca em relatórios os polimorfismos obtidos do resultado do alinhamento. Este mesmo relatório fornece informações adicionais que não serão utilizados no estudo de casos forenses e a sua anotação dos polimorfismos não está de acordo com as padronizações propostas por (WILSON et al., 2002), como pode ser observado na figura 40.

No final das análises, o usuário terá que anotar à mão ou copiar e colar, em algum editor de texto, cada polimorfismo da amostra para poder compor o seu perfil de DNAm. Esta prática leva ao grande risco do usuário cometer alguns dos erros das classes 1, 2 e 4.

No capítulo 4 é apresentada uma solução para os problemas aqui tratados, referentes ao alinhamento de sequências de DNAm humano, para o estudo de casos forenses.

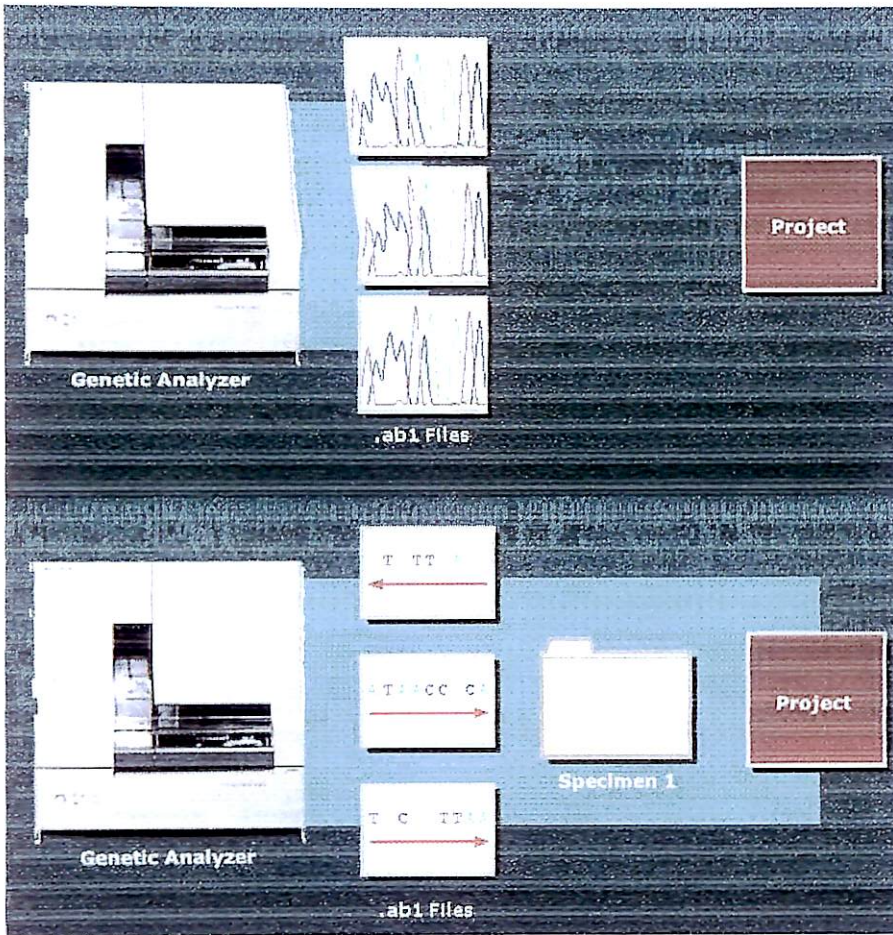


Figura 37: Exemplo ilustrativo de como são gerados e importados os arquivos ABI do sequenciador, como projeto, para o SeqScape.

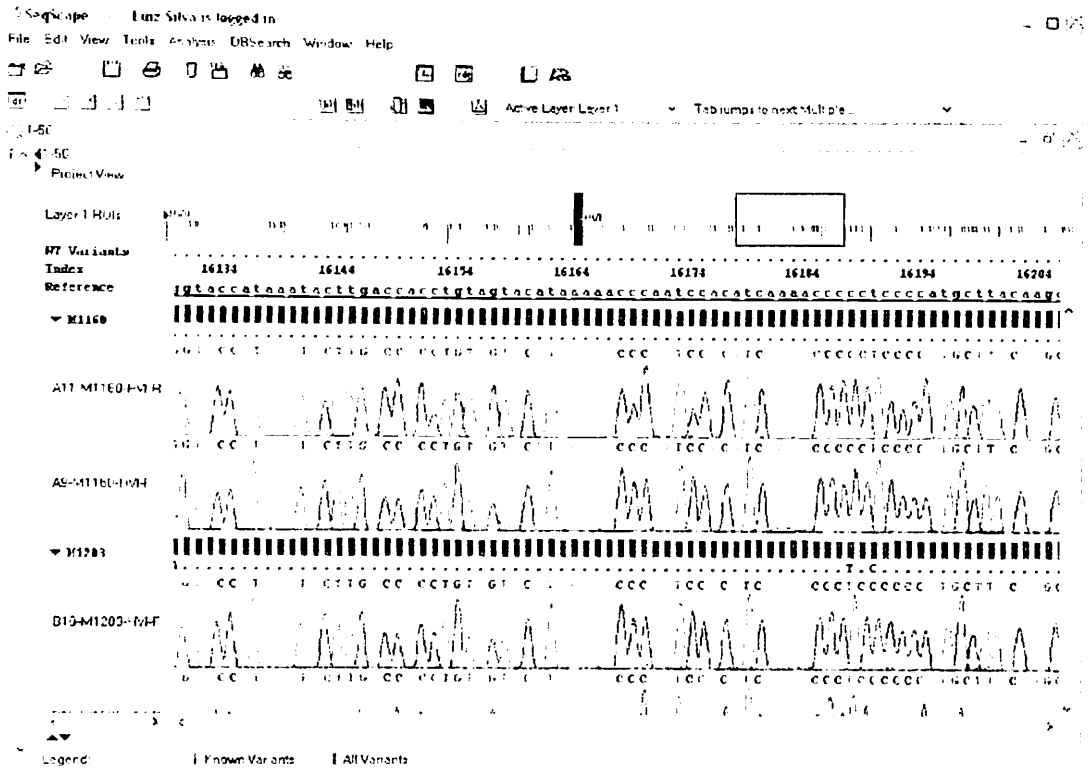


Figura 38: Interface gratica do SeqScape, demonstrando o resultado da analise de seqencias. Observe que podemos visualizar o alinhamento relativo a rCRS e o seu eletroferograma, para que se possa reavaliar a qualidade dos picos das seqencias.

Applied Biosystems		Generated on: 22 Feb 2006 at 13:55:20 GMT-03:00								
Summary										
Active Layer	Layer 1	Project	KB49-100							
Project Creation Date	07 Ago 2005 at 14:03:20 GMT-03:00	Project Modification Date	18 Out 2005 at 15:52:51 GMT-03:00							
Project Template (PT)	KB	PT Creation Date	03 Ago 2005 at 15:09:33 GMT-03:00							
PT Modification Date	16 Out 2005 at 15:52:51 GMT-03:00	Reference Data Group (RDG)	Mitochondrial_CRSCopy2							
RDG Creation Date	07 Ago 2005 at 14:00:05 GMT-03:00	RDG Modification Date	18 Out 2005 at 15:52:51 GMT-03:00							
Display Settings (DS)	Mitochondria-HV1	DS Creation Date	03 Ma 2005 at 16:04:50 GMT-03:00							
DS Modification Date	16 Out 2005 at 15:52:51 GMT-03:00	Analysis Defaults (AD)	KB							
AD Creation Date	03 Ago 2005 at 15:06:12 GMT-03:00	AD Modification Date	18 Out 2005 at 15:52:51 GMT-03:00							
Specimens in Report										
SP982										
Mutations										
Specimen	Base Change	ROI	Position	Length	Type	CV	Known	Effect	Aa Change	Description
SP982	73a>G	HVI	73	1	Sub	46	no	missense	Y1C	
SP982	146>D	HVI	146	1	Sub	42	no	silent	-	
SP982	153a>G	HVI	153	1	Sub	41	no	missense	28V	
SP982	263a>G	HVI	263	1	Sub	36	no	silent	-	
SP982	310c>D	HVI	310	1	Sub	35	no	missense	-	
SP982	311c>T	HVI	311	1	Sub	33	no	missense	-	
For Research use Only. Not for use in diagnostic procedures										
Project Creator: mtDNA1_Laboratório de DNA Forense										
Printed by: seccas@apb.com										
										Page 1

Figura 40: Relatório gerado pelo SeqScape com os dados do resultado da análise.

4 *O Sistema Eva*

“Computers are to biology what mathematics is to physics.”

Harold Morowitz

Este capítulo apresenta uma solução de software, específico, com suporte a gerência, a automatização das análises e ao controle de erros de dados biológicos do DNA Mitochondrial humano, possibilitando a geração de seus perfis genéticos para serem comparados e avaliados em estudos de casos forenses no Brasil ...

4.1 Concepção

A utilização do DNA Mitocondrial como instrumento para a identificação de seres humanos, através de restos mortais encontrados em estado de decomposição, já é uma realidade em países como os Estados Unidos, o Canadá e em diversos outros da Europa, como a Inglaterra, Espanha, Alemanha, dentre outros.

No Brasil esta prática ainda não é muito conhecida e são poucos os laboratórios de DNA forense em atuação, onde apenas um ou outro se destaca pela sua capacitação e perícia no uso de equipamentos e softwares apropriados para diagnosticar e identificar seres humanos, através do estudo do seu DNAn/DNAmt, nas diversas condições e situações em que uma amostra biológica poderá se apresentar, conforme o seu estado físico e integral. Dentre os laboratórios de renome no país podemos citar o laboratório de DNA forense da Universidade Federal de Alagoas¹, onde o desenvolvimento deste trabalho foi realizado em parceria.

Como foi explanado nos capítulos anteriores, a comunidade forense possui uma série de dificuldades para utilizar e analisar o DNAmt. O próprio FBI não obteve êxito ao produzir um sistema com um banco de dados populacional para poder estimar a frequência de um dado perfil de DNAmt em questão.

O fator decisivo que contribuiu para a má qualidade do banco populacional do CODIS foi justamente aceitar dados de sequências de vários laboratórios ao redor do mundo, e inseri-los no banco, sem que ao menos estas informações passassem por um controle de qualidade. Isto comprova que diferentes práticas de análises de sequências do DNAmt são utilizadas entre os laboratórios.

Um outro fator se deve a ausência de ferramentas que extraíssem os polymorfismos gerados pelo alinhamento, em formatos padronizados, das duas regiões de HVI e HVII. Esta prática é realizada manualmente pelo geneticista onde ele busca e anota estes resultados, a olho nú, em uma folha de papel, editores de texto ou em planilhas eletrônica.

Um hábito bastante comum realizado para armazenar os perfis genéticos de DNAmt é comportar esses dados em formato de tabelas, utilizando a planilha do *software* Excel da Microsoft (JIN et al., 2006). Conseqüentemente, o método de comparação destas informações será altamente precário onde, possivelmente, deve se usar a opção de “localizar”, “buscar”, “ir para” ou, até mesmo, realizar a comparação de perfil por perfil manualmente. A figura 41 ilustra bem as etapas desse processo.

¹URL - <http://www.mhn.ufal.br>

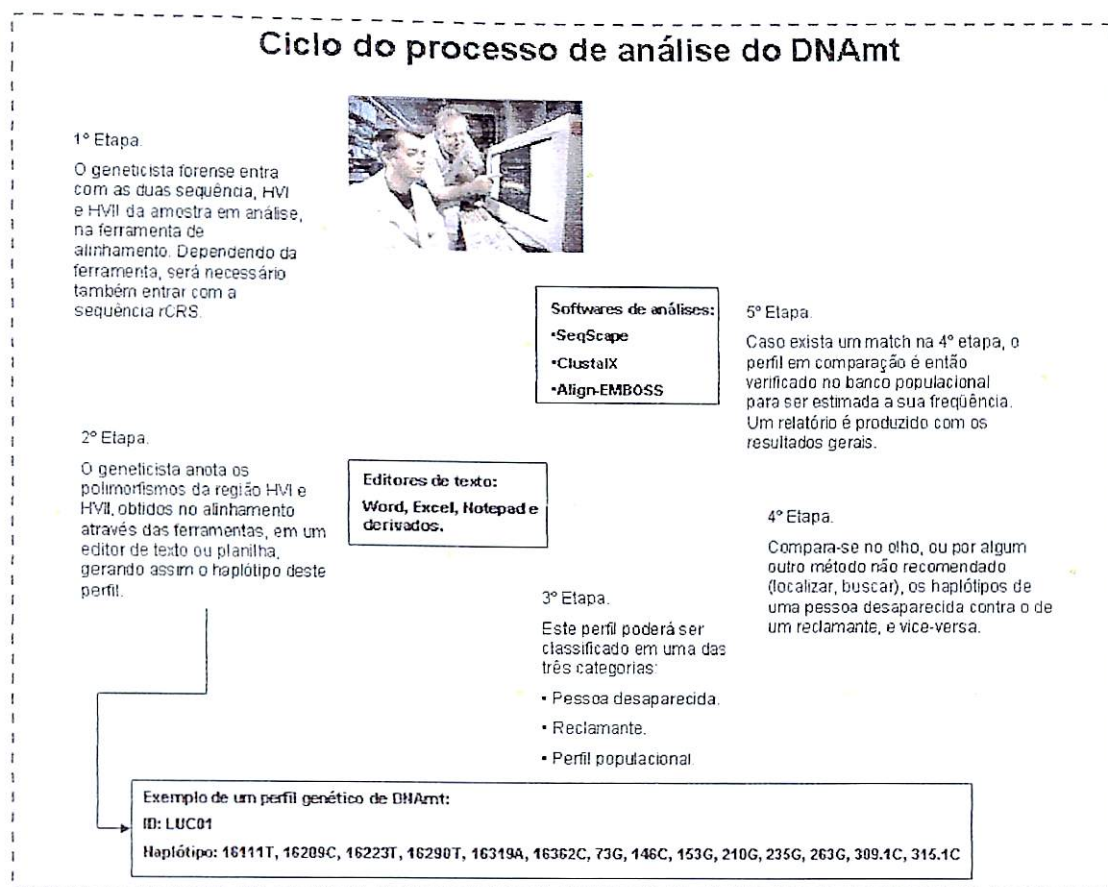


Figura 41: Ilustração das etapas executadas pelos geneticistas para a análise do DNAmT em estudos de casos forenses.

Assentamos a etapa da verificação de erros dos polimorfismos gerados pelo alinhamento, na ilustração do ciclo do processo de análise do DNAmT, devido as problemáticas e a quantidade de erros que já foram apontados nos dados de DNAmT na literatura (seções 2.10 e 2.13). Pode-se dizer que esta prática não é ainda bem familiarizada, e se for, também não é estritamente adotada pelos laboratórios como uma etapa crítica e obrigatória.

Alguns geneticistas até desconfiam, por prepotência ou por falta de conhecimento, da utilidade da análise filogenética para apontar alguns dos possíveis erros que poderão vir a ocorrer. Talvez essa desconfiança seja apenas uma desculpa para evitar a perda de tempo com o minucioso e demorado trabalho que a análise filogenética exige, no caso, apenas para verificar se um simples polimorfismo suspeito poderá ter sido ocasionado por alguma falha em um dos processos de tipagem, análise e/ou na anotação dos dados.

O ambiente de apoio e análise à identificação humana através do DNA Mitochondrial abrange a concepção de um sistema a ser utilizado pelos diversos laboratórios de DNA forense no Brasil, provendo acesso *online* a um banco de dados centralizado. Esta abordagem tem como propósito, integrar os diversos laboratórios nacionais, padronizar os métodos de análises e automatizar o processo de geração dos perfis genéticos de DNAmT para serem armazenados e comparados através de uma base de dados comum.

Para o desenvolvimento do sistema proposto, elaboramos um ambiente que agrupe as diversas ferramentas necessárias que serão utilizadas em estudos de casos forenses para a geração e validação de perfis de DNAmT humano. São elas, ferramentas para alinhar sequências de DNAmT de acordo com as três recomendações (capítulo 3), identificar e validar os haplótipos livres de erros e também, para funcionalidades que dizem respeito a gestão das informações a serem manipuladas, armazenadas e comparadas em um banco de dados central.

O ambiente constitui no desenvolvimento de um sistema *Web*, em conjunto com um banco de dados relacional, no esforço de integrar os laboratórios nacionais de DNA forense, em escopo nacional, possibilitando a utilização mútua, através de um ambiente homogêneo, acessando a uma base de dados comum, com ferramentas e dados padronizados, onde a troca e o compartilhamento de informações será crucial para o sucesso da identificação humana através dos dados genéticos do DNAmT (figura 42).

A escolha de desenvolvimento de um sistema *Web* se deu pelas vantagens que essa abordagem oferece como, por exemplo:

- Possibilita o acesso ao sistema através de um simples *browser*, de qualquer localidade, onde exista uma conexão de Internet.
- Todo o arcabouço do sistema é centralizado, evitando qualquer necessidade de instalação de componentes ou módulos nos terminais do cliente, referentes ao sistema.
- As atualizações no servidor refletem para todos os clientes, evitando a necessidade de atualizar cada um dos terminais de acesso individualmente.
- A necessidade do poder de processamento do aplicativo não reflete no lado do cliente.
- Possibilita a distribuição e o compartilhamento de dados, ao mesmo tempo que estes se encontram centralizados.

Arquitetura Cliente/Servidor de um Sistema Web

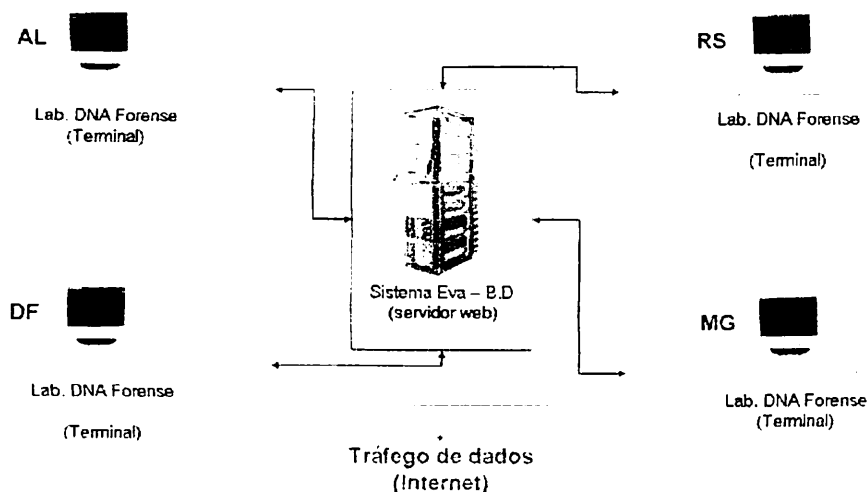


Figura 42: Esquema de funcionamento de um sistema *Web*. A linha verde representa o fluxo da Internet, a laranja a rede local dos terminais e a azul, a rede local do servidor *Web*. As setas pretas representam o canal de comunicação que interliga as redes.

A aplicação foi implementada utilizando a linguagem de programação PHP² versão-5.1.2. O PHP é uma linguagem de programação bastante poderosa e simples, com suporte para o desenvolvimento da programação orientada a objetos. Esta linguagem permite criar aplicações *Web* dinâmicas, possibilitando uma interação com o usuário através de formulários, parâmetros de entrada, entre outras características.

O código PHP é executado como linguagem de script no servidor, sendo enviado para o cliente apenas o código HTML. Desta maneira, é possível interagir com bancos de dados e aplicações existentes nos servidores.

Utilizamos o PHP em conjunto com o servidor *Web* Apache³ versão-2.0.55 mais o banco de dados Access⁴ (somente protótipo). A linguagem também se destaca pela possibilidade de interagir com uma vasta lista de banco de dados. Dentre eles estão um dos dois mais bem conceituados como o Oracle, PostgreSQL e o MySQL. Um recurso avançado do PHP é permitir conexões persistentes de banco de dados, minimizando a necessidade de constantes conexões (operações que aumentam o tempo de resposta das aplicações).

²URL - <http://www.php.net>

³URL - <http://www.apache.org>

⁴URL - <http://www.microsoft.com/access>

4.2 Modelagem

O sistema proposto neste trabalho, que a título de referência passa a ser denominado: Eva - *Identificação humana através do DNA Mitochondrial*, leva em conta a centralização das informações genéticas do DNAm, coletadas em âmbito nacional, para serem analisadas e armazenadas em uma base de dados padronizada e livre de erros. Desta forma o Eva gerencia estas informações, no esforço de agilizar o processo da comparação destes dados, evitando redundâncias, visto que dois ou mais laboratórios poderão estar tipando e comparando as mesmas amostras de um mesmo caso, em diferentes estados. Isto aprimora a abrangência da identificação humana em todo o território nacional.

Por exemplo: um pai de família que mora no nordeste é levado sequestrado, morto e seu corpo incendiado, no sul do país. A identificação desse indivíduo poderá ser rapidamente agilizada pela inserção da análise do seu perfil DNAm no Eva. Partindo da idéia de que através da doação de amostras do DNAm de seus familiares (da mesma linhagem materna), estas serão também inseridas, no sistema Eva, diretamente de um dos laboratórios de DNA forense daquela região do país, e eventualmente possibilitando a identificação. A figura 44 ilustra este fluxo.

O sistema Eva visa otimizar o desempenho de todo o processo de identificação humana, desde a coleta da amostra biológica de um parente que mora em outro estado até ao envio da coleta das amostras biológicas de seus parentes que também residem em uma outra região distante, independente do laboratório que irá executar a extração e as análises desses perfis de DNAm para serem comparados.

A figura 45 ilustra a arquitetura projetada e desenvolvida para o sistema Eva, composta pelos quatro módulos descritos abaixo:

- Alinhamento de sequências.
- Validador de polimorfismos.
- Buscador de similaridades.
- Calculador probabilístico.

Cada módulo é descrito nas seções seguintes.

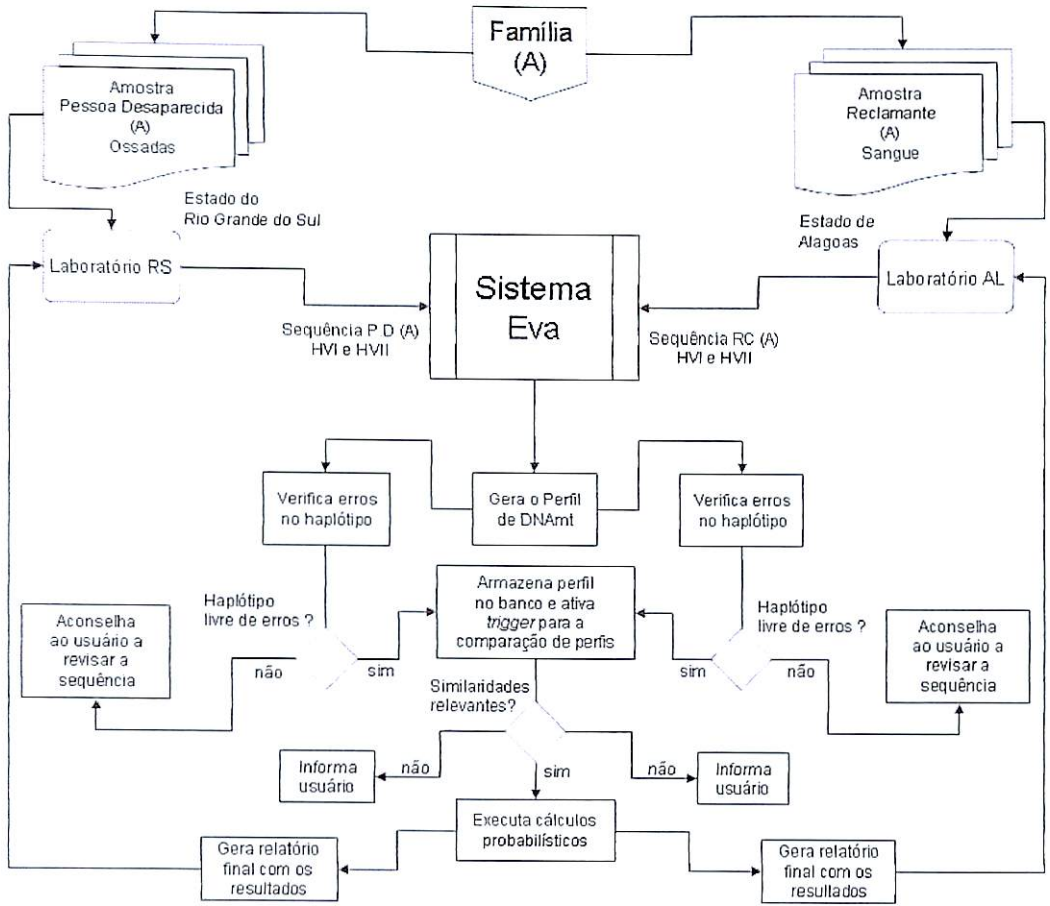


Figura 44: Diagrama do fluxo de dados no sistema Eva.

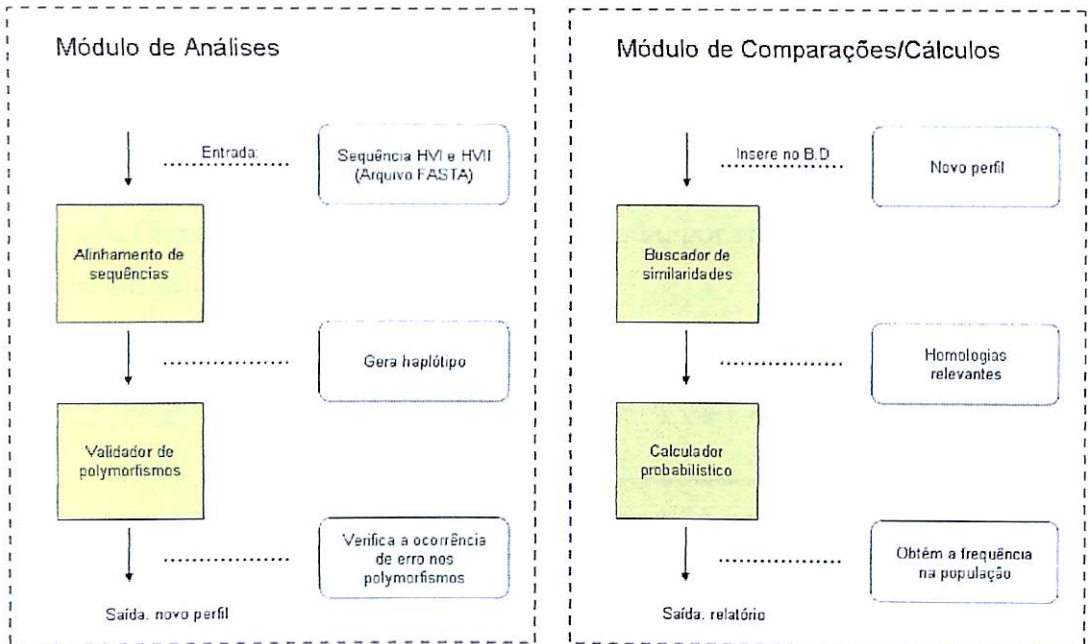


Figura 45: Arquitetura do sistema Eva - Identificação humana através do DNA Mitocondrial, composta pelos quatro módulos.

4.2.1 Módulo - Alinhamento de sequências

Diante dos fatos descritos nas seções 3.2.2, 3.2.3 e em suas subseções, fica evidente que a análise do alinhamento de sequências do DNAmT para fins de estudo de casos forenses ainda é muito precária. Essa precariedade se dá devido a ausência de uma ferramenta específica para o alinhamento de suas sequências. Uma outra problemática existente é a carência de padronização para a anotação dos polimorfismos do haplótipo, gerados a partir do alinhamento.

Na seção 2.12 é apresentada uma hierarquia que deverá ser seguida para relatar os polimorfismos, e nas seções 3.2 e 3.2.1 essa problemática é ainda mais explicitada, com exemplos que apontam as recomendações sugeridas para que se mantenha uma padronização.

Portanto, este módulo foi desenvolvido com o objetivo de alinhar, de forma específica, as sequências de DNAmT para estudos de casos forenses. Além disto, após a execução do alinhamento, o módulo gera o haplótipo com os polimorfismos anotados, conforme os padrões, para posteriormente ser armazenado e comparado com os demais haplótipos no banco de dados.

O módulo tem como entrada as duas sequências HVI e HVII no formato Fasta. Este formato é constituído de um arquivo texto onde, por padrão, a primeira linha representa o cabeçalho e a partir da segunda linha coloca-se as bases da sequência. Os arquivos no formato Fasta vem sempre precedido com o símbolo ‘ ’ como primeiro caractere na primeira linha do arquivo. Após esse símbolo, ainda na primeira linha, a primeira palavra representa o nome ou o código dado a sequência; a segunda, o tipo de molécula (nucleotídeo ou proteína) utilizado; por fim anota-se a descrição da região e o tamanho da sequência (figura 46). Cada sequência é analisada, por vez, com a sequência rCRS que já vem embutida no Eva (figura 17).

O módulo utiliza o algoritmo de alinhamento global, descrito na seção 3.1.4, visto que é alinhado HVI da sequência de amostra com HVI da rCRS (mesma tática

```

>L1C-01 Nucleotídeo HVI 171
TGTCACGGGATAGCATTGCGAGACGCTGGAGCCGGAGCACCCCTA
TGTGGAGATCTGTCTTTGATTCCTGCCCATCCGTGTTATTTAT
CGC-CCTACGTTCAATATTACAGGCCGACATACTTACTAAAGTG
GTTGATTAATTAATGCTTGTGGACATAGTAATAACAAATTGAATG
TCTGCAC-GCCGCCTTCCAC-C-G-CATC-TAACAAAAATTTCC
ACCAACCCCCCCCCCTCCCCCGGCTTCGGCCACAGCACTTAACAC
  
```

Figura 46: Exemplo de um arquivo Fasta formatado.

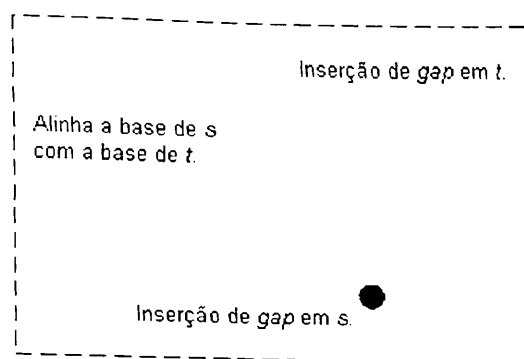


Figura 48: Heurística adotada pelo módulo - Alinhamento de sequências, na leitura da matriz para obter o alinhamento ótimo. A preferência das setas se dá de acordo com a sequência das cores: verde, laranja e azul.

4.2.2 Módulo - Validador de polimorfismos

Todo o processo da análise do DNAmT é bastante minucioso, desde a tipagem até geração do seu perfil genético. Pois, em cada uma destas etapas, o DNAmT estará sujeito a erros que poderão ser provocados por uma eventual contaminação de laboratório devido a prática de manuseio da amostra ou, até mesmo, nas etapas de alinhamento de suas sequências e na geração do seu haplótipo.

Como é descrito na seção 2.13, existem cinco classes de erros que classificam os tipos mais comuns que poderão ser gerados durante a análise do DNAmT. Nesta mesma seção, também é explicado que a técnica mais conhecida para a verificação destes erros é executar uma análise filogenética do haplótipo do perfil suspeito em questão. No entanto, a sua utilização ainda não é muito bem vinda, devido ao tempo que leva para que ela seja concluída e ao seu minucioso trabalho, visto que é necessária a intervenção e verificação pelo o usuário, dos grafos e árvores que são gerados durante o decorrer do seu processo.

Entretanto, o site do MITOMAP (BRANDON et al., 2004) contém uma tabela com todos os polimorfismos validados pela comunidade genética, provendo também da sua referência literária que os valida (tabela 5).

Com estas informações, o geneticista forense é capaz de verificar se os polimorfismos, das regiões HVI e HVII, do haplótipo, de um perfil genético de DNAmT, estão coerentes com os polimorfismos já verificados e validados pela comunidade genética. Portanto, esta prática se torna uma alternativa para verificar erros que poderão ser provocados pela classe 3, já que o módulo de alinhamento de sequências (seção anterior) se encarrega de evitar os possíveis erros que poderão ser gerados pelas classes 1, 2 e 4.

Search for	Pattern	Size	Class
MITOMAP: MITO Control Region			
Sequence Polymorphisms			
Last updated: 01/10/00			
Nucleotide Position	Nucleotide Change	References	
7	A-G	reference	
8	G-A	reference	
9	T-C	reference	
10	C-CC	reference	
11	C-T	reference	
12	C-CC	reference	
13	A-G	reference	
14	T-C	reference	
15	G-A	reference	
16	G-A	reference	
17	T-C	reference	
18	A-AC	reference	
19	T-C	reference	
20	T-C	reference	
21	C-T	reference	
22	G-C	reference	
23	T-C	reference	
24	C-T	reference	
25	G-G-G-G	reference	

Tabela 5: Parte da tabela que contém todos os polimorfismos validados pela literatura, da posição 7 à 16567, através do MITOMAP.

Porém, o geneticista forense, ao usufruir deste serviço oferecido pelo MITOMAP, terá sempre que procurar por cada um dos polimorfismos do haplótipo do perfil genético em questão e, em seguida, acessar o site do MITOMAP procurando cada posição referente aos polimorfismos que ele deseja comparar para verificar sua autenticação. Desta forma, o geneticista forense estará correndo o risco de provocar erros das classes 2 e 4.

O presente módulo - *Validador de polimorfismos* tem como objetivo acessar o site do MITOMAP, capturar as informações dos polimorfismos e armazená-las no banco de dados do EVA. Com isto o módulo analisa cada posição e a base dos polimorfismos do haplótipo, que foram gerados pelo módulo de alinhamento de sequências, na sua base de dados de polimorfismos. Por fim o resultado da análise é exibido ao usuário indicando se os polimorfismos estão de acordo (figura 49). A figura 50 ilustra a execução deste serviço.

No entanto, poderá acontecer de que algum polimorfismo, do haplótipo em questão, não esteja referenciado no site do MITOMAP. Neste caso, o sistema aconselha ao usuário de abortar a operação e reanalisar o eletroferograma, as sequências, executar uma análise filogenética e, até mesmo, resequenciar a amostra, pois o polimorfismo que não estiver validado poderá ter sido gerado através de algum erro durante a tipagem ou no decorrer do seu sequenciamento (classe de erros 3).

ID Amostra: **PD0001**

Haplótipo de:

- HVI - 16111C, 16209C, 16220T, 16290T, 16319A, 16362C

*Favor Verificar se os Polimorfismos estão de acordo com a nomenclatura abaixo. Caso contrário, é aconselhável Revisar e/ou realizar uma Análise Filogenética da sequência antes de prosseguir adiante...!

Polimorfismos validados pelo Mitomap:

- HVI -

16111	A	T
16209	C	C
16220	T	T
16290	T	T
16319	del A, C	
16362	C	C

ID Amostra: **PD0001**

Haplótipo de:

- HVII - 70G, 148C, 153G, 210G, 235G, 263G, 3091C, 3151C

*Favor Verificar se os Polimorfismos estão de acordo com a nomenclatura abaixo. Caso contrário, é aconselhável Revisar e/ou realizar uma Análise Filogenética da sequência antes de prosseguir adiante...!

Polimorfismos validados pelo Mitomap:

- HVII -

70	G	G
148	C	C
153	G	G
210	G	G
235	G	G
263	T	G
309	de CCins(n)	T
315	de CCins(n)	T

Figura 49: Resultado da análise dos polimorfismos do haplótipo da amostra PD0001, gerados pelo módulo - validador de polimorfismos, e exibidos pelo módulo - Alinhamento de seqüências.

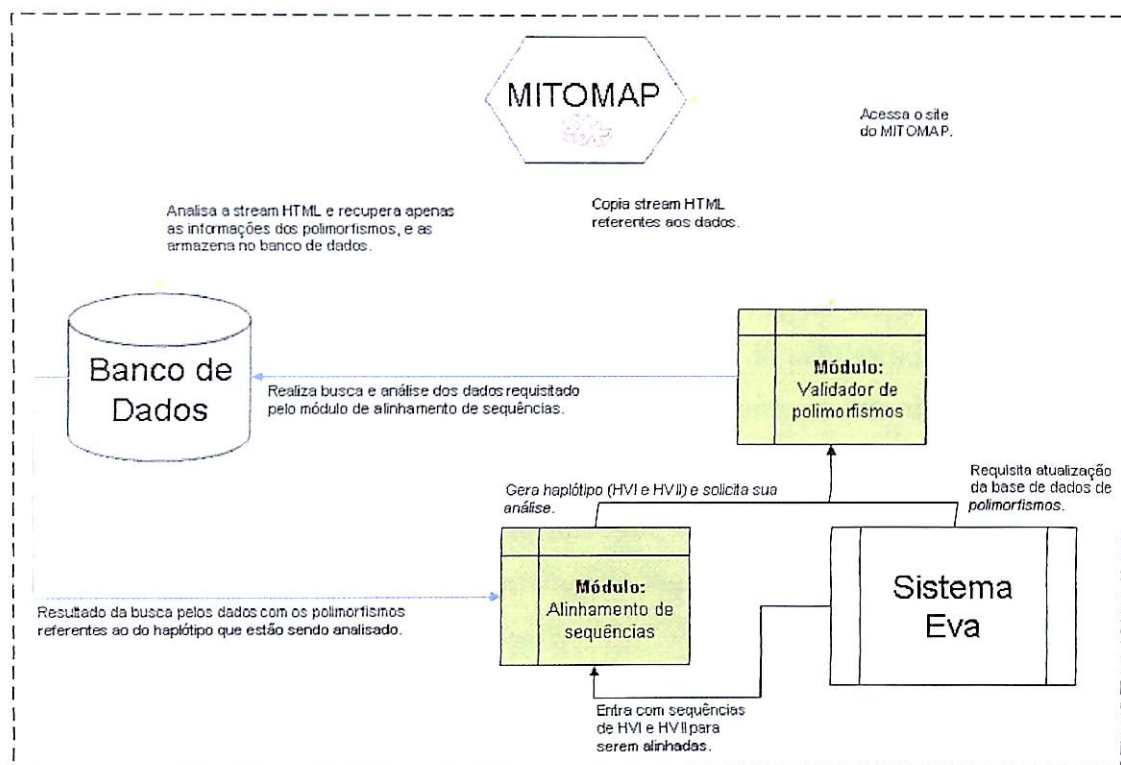


Figura 50: Diagrama do módulo - Validador de polimorfismos.

4.2.3 Módulo - Buscador de similaridades

A criação de um banco de dados se fez necessária diante da concepção do sistema Eva e da importância de se criar dados com qualidade para serem armazenados e gerenciados de maneira apropriada.

A concepção de um sistema para dar suporte a identificação de pessoas desaparecidas, através da análise do DNAm, necessita da criação de um banco de dados populacional, constituído de perfis escolhidos ao acaso, utilizados como ferramenta para estimar o peso de uma evidência (*match*), como também a de um banco de dados forense para dar suporte à gerência dos perfis de pessoas desaparecidas e de seus reclamantes.

Desta forma essa base de dados, em conjunto com o servidor *Web*, permitirá o compartilhamento de perfis de DNAm, de pessoas desaparecidas (PD) e os de reclamantes (RC), entre os laboratórios, referentes da mesma linhagem materna.

A problemática desta concepção é percebida na medida em que vai aumentando e se acumulando, no banco, o número de perfis de DNAm de reclamantes e o de pessoas desaparecidas, para serem comparados e analisados. A solução desta problemática se torna inviável com a comparação e a análise destes perfis pelas práticas exercidas atualmente, qual seja utilizando editores de textos ou planilhas e, ou até mesmo a olho nú.

No esforço de resolver esta problemática, o presente módulo, ao armazenar o perfil gerado pelo módulo de alinhamento de sequências, ativa a *trigger* de comparação deste recente perfil com os demais perfis no banco.

Por exemplo: ao se analisar, validar e armazenar um novo perfil de DNAm de uma pessoa desaparecida, o presente módulo, automaticamente, aciona o seu dispositivo de comparação deste novo perfil com os demais perfis de reclamantes já armazenados na base de dados e vice-versa.

O número de comparações C de um perfil genético em questão se dá pela seguinte equação, onde N é o tamanho da base de dados de PD ou RC vezes x que é a quantidade de perfis genéticos em que se pretende comparar:

$$C = N \cdot x \quad (4.1)$$

O presente módulo compara e analisa os perfis de acordo com as recomendações de interpretação descritas na seção 2.8. São realizadas quatro tipos de análises comparativas para um dado perfil em questão:

- Os perfis em comparação variam em dois ou mais polimorfismos. É notificada a ocorrência de uma exclusão.
- Os perfis em comparação apresentam o mesmo haplótipo. É notificada a ocorrência de um *match* perfeito, não-exclusão.
- Os perfis em comparação diferem apenas pela presença de heteroplasmia. É notificada a ocorrência de um *match*, não-exclusão.
- Os dois perfis em comparação diferem apenas por um único polimorfismo. É notificada a ocorrência de um *match*, inconclusivo.

O presente módulo também realiza análises de busca de similaridades do perfil em questão com os perfis do banco populacional, após a certificação da ocorrência de um *match* na sua comparação com a base de dados de PD ou RC.

Nesta análise, com o banco populacional, o presente módulo interage com o módulo calculador probabilístico para poder estimar o peso da evidência do perfil genético em questão. Esta interação é descrita na seção seguinte.

A figura 52 ilustra o diagrama do serviço executado pelo módulo buscador de similaridades e a figura 53 ilustra o resultado das análises comparativas gerada pelo presente módulo.

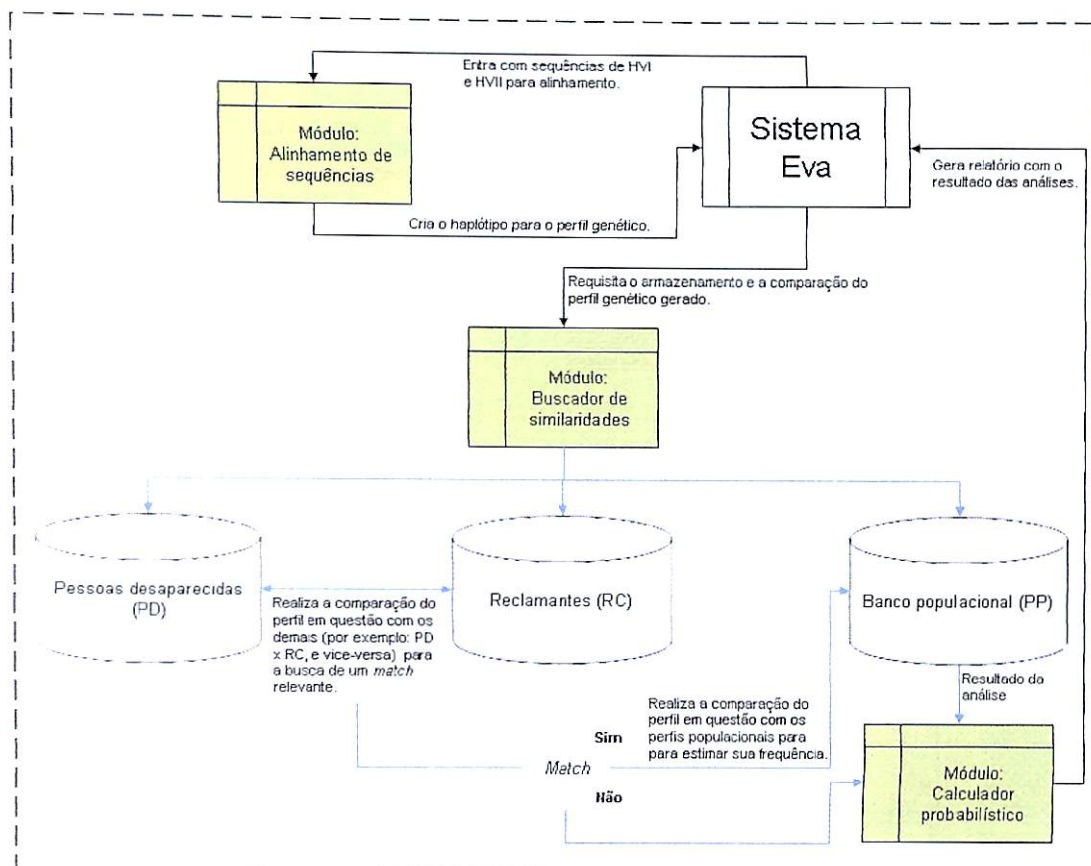


Figura 52: Diagrama do módulo - Buscador de similaridades.

Resultado das Comparações	
<u>Pessoa Desaparecida</u>	
ID amostra:	PD0001
Caso forense:	Teste
Caso especial:	
Haplótipo:	<ul style="list-style-type: none"> • HVI - 16111T, 16209C, 16223T, 16290T, 16319A, 16362C • HVII - 73G, 146C, 153G, 210G, 235G, 263G, 309.1C, 315.1C
Tipo da amostra:	Ossó
Estado referente:	Alagoas
Laboratório:	AL.01
Responsável:	Luis Henrique Teixeira Caetano
<u>Reclamantes Idênticos:</u>	
1)	
Código da Ficha:	97
ID amostra:	RC0001
Caso forense:	Teste
Caso especial:	
Haplótipo:	<ul style="list-style-type: none"> • HVI - 16111T, 16209C, 16223T, 16290T, 16319A, 16362C • HVII - 73G, 146C, 153G, 210G, 235G, 263G, 309.1C, 315.1C
Data inicial:	08/04/2006
Tipo da amostra:	Sangue
Estado referente:	Alagoas
Laboratório:	AL.01
Responsável:	Luis Henrique Teixeira Caetano
<u>Reclamantes Heteroplásmicos:</u>	
1)	
Código da Ficha:	98
ID amostra:	RC0002
Caso forense:	
Caso especial:	
Haplótipo:	<ul style="list-style-type: none"> • HVI - 16111T, 16209N, 16223T, 16290T, 16319A, 16362C • HVII - 73G, 146C, 153G, 210G, 235G, 263G, 309.1C, 315.1C
Data inicial:	08/04/2006
Tipo da amostra:	Sangue
Estado referente:	Alagoas
Laboratório:	AL.01
Responsável:	Luis Henrique Teixeira Caetano
<u>Reclamantes 1 Diferença:</u>	
1)	
Código da Ficha:	99
ID amostra:	RC0003
Caso forense:	
Caso especial:	
Haplótipo:	<ul style="list-style-type: none"> • HVI - 16111T, 16209C, 16223T, 16290A, 16319A, 16362C • HVII - 73G, 146C, 153G, 210G, 235G, 263G, 309.1C, 315.1C
Data inicial:	08/04/2006
Tipo da amostra:	Sangue
Estado referente:	Pernambuco
Laboratório:	AL.01
Responsável:	Luis Henrique Teixeira Caetano

Figura 53: Resultado da análise das comparações entre um perfil de um PD com os perfis de RC, gerado pelo módulo - Buscador de similaridades. As entre linhas verdes representam os perfis RC com os quais se obteve um *match* em relação ao perfil PD. As entre linhas amarelas representam as variantes em relação à PD.

4.2.4 Módulo - Calculador probabilístico

Após ter completado o processo de análise referente à sequência de uma amostra, que engloba a geração do seu perfil genético, a verificação de erros no seu haplótipo e a verificação de um *match* relevante, a etapa final a ser realizada de todo este processo é estimar o peso da evidência desta amostra na população.

Para a execução desta etapa o geneticista forense necessita de uma base de dados composta por perfis da população para poder estimar a frequência da amostra (perfil) em estudo, qual seja ela de um PD ou RC.

Por exemplo, suponha que o Eva possua, na sua base de dados de RC, 50 perfis armazenados a espera de um *match* relevante na sua comparação com um perfil de PD que venha a ser inserido no sistema. Suponhamos ainda que, ao entrar com um novo perfil de um PD, o Eva revele a ocorrência de um *match* entre dois perfis de RC. Este *match* significa que esta nova amostra de PD poderá ser o parente desaparecido de um destes dois reclamantes, o qual eles estejam à procura. O presente módulo calcula a probabilidade desta amostra PD ser ou não ser este possível parente desaparecido. Para isto, inicialmente, o módulo buscador de similaridades analisa o perfil em questão para verificar a sua presença no banco de dados populacional. Em seguida, o resultado desta análise é então passado para este módulo estimar o peso da evidência deste perfil (PD) gerando, assim, o resultado probabilístico de que esta amostra de uma pessoa desaparecida seja, possivelmente, o parente de um desses dois reclamantes.

O módulo realiza este cálculo de acordo com o número de observações do perfil em questão no banco de dados populacional, de acordo como é descrito na seção 2.9. A figura 54 ilustra este serviço executado pelo presente módulo em conjunto com o módulo buscador de similaridades.

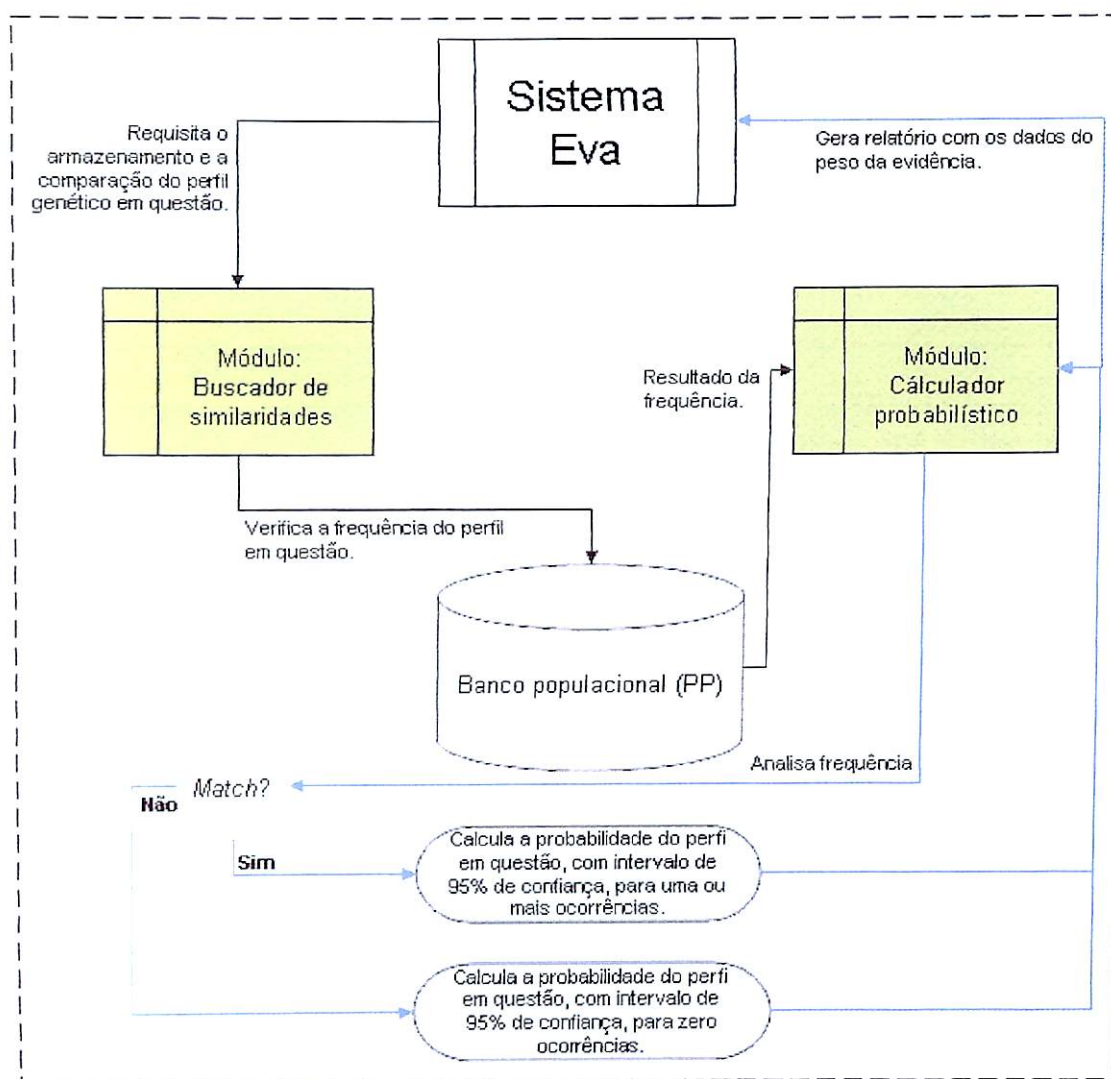


Figura 54: Diagrama do módulo - Calculador probabilístico.

5 *Experimentos e Simulações*

*“Só não falha quem não tenta
e quem não tenta jamais terá sucesso.”*

Reflexão

Neste capítulo são apresentados os dados utilizados nos testes realizados com o sistema Eva para confirmar a acurácia de suas ferramentas . . .

5.1 Análise das 123 amostras

No trabalho de Barbosa (2006), também realizado em parceria com laboratório de DNA forense da UFAL, foram escolhidas ao acaso 123 amostras de indivíduos das diversas cidades do estado de Alagoas (figura 55). Maceió e Arapiraca foram as duas cidades com o maior número de amostras coletadas, 33 em Maceió e 11 amostras de Arapiraca. Estas 123 amostras foram sequenciadas e analisadas para compor o banco populacional do Eva. Nestas 123 amostras, encontram-se 110 haplótipos diferentes (perfis) e o haplótipo mais frequente é encontrado em apenas 5 dos 123 indivíduos. Desta forma, a diversidade genética do banco de dados populacional do Eva (composta por estas 123 amostras) foi estimada em 99.7% (SCHNEIDER et al.).

Estas 123 amostras foram submetidas para serem alinhadas no Eva, como teste, para verificar se o módulo de alinhamento de seqüências estaria alinhando perfeitamente de acordo com os padrões propostos pela literatura.

As seqüências das duas regiões de HVI e HVII das 123 amostras foram alinhadas com sucesso, através do Eva. O alinhamento apresentou ser 100% eficaz em todas as 216 seqüências, compostas por HVI e HVII, gerando e anotando o perfil de cada uma delas (figura 56) de maneira apropriada. Tendo alcançado este objetivo, as 123 amostras puderam ser alinhadas e os seus perfis genéticos foram gerados, automaticamente, para então serem armazenados com qualidade e segurança, possibilitando assim a criação do banco de dados populacional. A ferramenta de alinhamento, ao gerar e anotar o perfil genético com sucesso, contribui para a eliminação dos erros que podem ser provocados pelas classes 1, 2 e 1 (seção 2.13).



Figura 55: Ilustração do mapa que representa o Estado de Alagoas, indicando os municípios de origem dos 123 indivíduos analisados. Fonte: (BARBOSA, 2006).

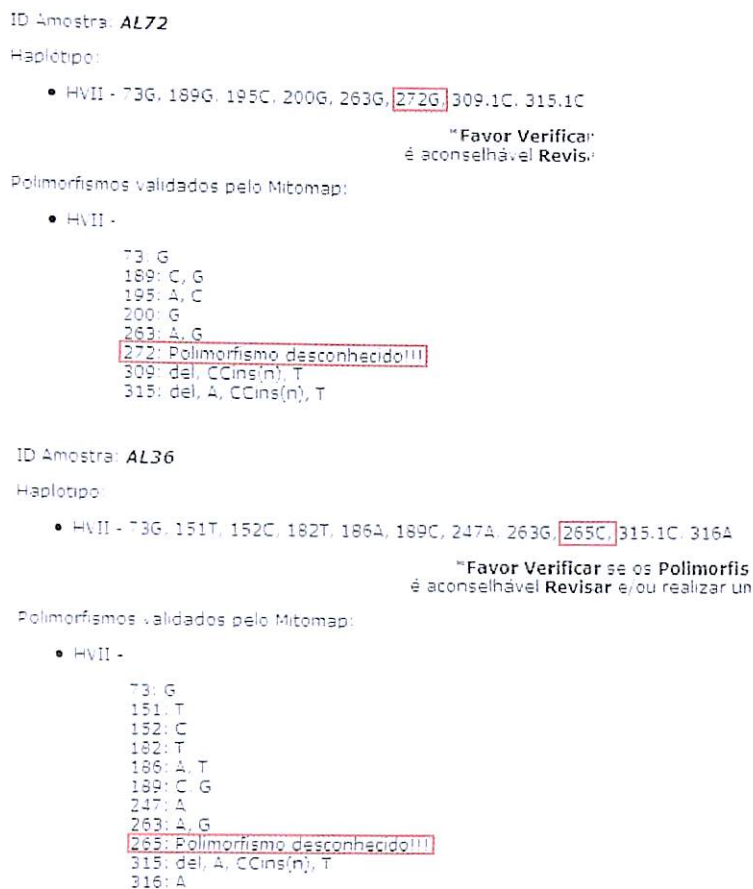


Figura 56: Mutações suspeitas de erro, detectadas pelo Eva.

Neste mesmo estudo (BARBOSA, 2006) verificou-se que dentre as sequências das 123 amostras 96 foram únicas para HVI e 79 para HVII. A região de HVI apresentou 87 substituições onde 77 são transições e as outras 10 são transversões, e mais 2 deleções. Já nas sequências de HVII observou-se 41 substituições com 37 transições e 4 transversões, mais 3 deleções e 4 tipos de inserções. A maioria das mutações (polimorfismos) em ambos os segmentos foram de transições, o que confirma a proposta de Wilson (WILSON et al., 2002) no tratamento de variantes (seção 2.12) que reflete a complexidade da elaboração do alinhamento de sequências de DNA Mitocondrial para o estudo de casos forenses (seção 3.2).

O módulo validador de polimorfismos mostrou ser uma valiosa ferramenta para detectar possíveis erros da classe 3. Os perfis tidos como “suspeitos” foram validados com sucesso pelo módulo. A figura 56 apresenta um resultado gerado pelo Eva onde as substituições na região de HVII, apresentando o polimorfismo 265C no perfil AL36 e a substituição 272G no perfil AL72, foram apontadas como sendo desconhecidas. Porém, o ressequenciamento destas amostras confirmou a aparição das duas mutações inéditas.

5.2 Estudo de caso forense

Serão descritos, nas duas próximas seções, dois casos forenses como exemplo de uso do sistema Eva para a identificação humana, através de restos biológicos degradados, pelo estudo do DNAm.

O primeiro caso trata de um incidente verídico onde estaremos ligando uma amostra de cabelo degradado (encontrada na cena de um crime) a um suspeito criminoso, foragido, através da sua análise com uma amostra do cabelo da mãe do suspeito. Porém, o nome de todos os envolvidos neste caso serão mantidos em sigilo, com nomes fictícios.

O segundo caso descreve a simulação da queda de um avião onde a grande maioria da identificação dos restos mortais, dos passageiros, só poderão ser identificados através do estudo do DNAm.

5.2.1 O caso Mercedes

A secretaria de segurança pública do Estado do Mato Grosso enviou amostras de cabelos, encontradas em cenas de crimes, para o laboratório de DNA forense da UFAL, suspeitas de pertencerem a um único *serial killer*.

A polícia começou a desconfiar destas amostras de cabelos encontradas em algumas cenas de crimes, bastante semelhantes. A polícia verificava que a vítima era morta por estrangulamento e sempre havia, ao lado da sua mão direita, um monte de cabelo cortado.

A partir daí a polícia daquele estado começou a associar que estes crimes estavam sendo cometidos por um mesmo assassino. Após cometer o homicídio de suas vítimas, o *serial killer* cortava seu próprio cabelo e o deixava junto à vítima como sendo uma espécie de marca registrada.

Alguns suspeitos começaram a ser levantados. Um deles estava foragido e já era conhecido pela própria polícia. Providências foram tomadas para que a mãe do suspeito foragido fornecesse amostras do seu cabelo para serem comparadas com as amostras de cabelos encontradas na cena dos crimes.

Estas amostras de cabelos (do principal suspeito e de sua mãe) foram então tipadas pelo laboratório de DNA Forense da UFAL. Foram enviadas duas amostras de cabelo de duas cenas de crime e mais uma amostra de cabelo da mãe do suspeito, denominada Mercedes.

Primeiro foram sequenciadas as regiões hipervariáveis, HVI e HVII do DNAm, das duas amostras de cabelo, das cenas do crime, denominadas de Cab01 e Cab02. Em seguida o mesmo processo foi realizado para sequenciar as duas sequências de HVI e HVII da amostra de cabelo de sua suposta mãe (Mercedes), denominada de CabM. O objetivo foi gerar o perfil de Cab01 e de Cab02 para serem comparados com o perfil de CabM.

Em seguida as duas sequências de HVI e HVII, de Cab01 e Cab02, foram submetidas ao sistema Eva para serem alinhadas e gerados o seu perfil genético de DNAm para serem armazenados na base de dados de pessoas desaparecidas, com o rótulo do seu caso forense de: CF M 01.

Suas sequências foram alinhadas e seus perfis gerados com sucesso. O sistema Eva detectou a ocorrência de uma substituição suspeita no sítio 263G que, com uma atualização do banco de polimorfismos, essa suspeita foi eliminada, evitando assim um ressequenciamento das suas amostras (figura 57 e 58).

Por último a amostra CabM foi analisada, gerado o seu perfil e armazenada na base de dados de reclamantes para ser analisada e comparada com as amostras Cab01 e Cab02 (figura 59).

O resultado final das análises comparativas apontaram um *match* de uma não-exclusão (perfis idênticos) entre as três amostras. De acordo com o banco populacional, que na época comportava apenas 10 perfis populacionais, estimou-se que a probabilidade deste perfil ser encontrado na população é de 25.9% e, com 95% de confiança, é possível excluir 74.1% da população como possíveis fontes desta amostra, visto que a sua frequência foi zero no banco populacional. Entretanto, o simples fato do sistema ter apontado:

1. A igualdade entre os dois cabelos, encontrados em cenas de crime semelhantes, dado que a polícia já tinha levantado um suspeito, de seu conhecimento, que estava foragido.
 2. Um *match* entre as duas amostras de cabelo, das cenas de crime, com a amostra de cabelo da fonte de referência, ou seja, da mãe deste suspeito.
- Podemos concluir que: O resultado de que as três amostras possuem o mesmo haplótipo já poderá ser utilizado como forte indício de que o *serial killer* suspeito seja, realmente, o responsável por todos os crimes que contenham este mesmo perfil genético nas amostras de cabelo.

Reclamante

Código de ficha: 170

ID amostra: **CabM**

Caso forense: CF/M/01

Caso especial: CF/M/01

Haploides:

- HVI - 16172C, 16223T, 16278T, 16311C, 16318G, 16319A
- HVII - 73G, 146C, 150T, 152C, 162T, 195C, 196T, 263G, 315.1C, 325T

Tipo de amostra: Cabelo

Estado referente: Mato Grosso

Laboratório: AL/01

Responsável: Luis Henrique Teixeira Caetano

Resultado probabilístico: 0,259%. Com 95% de confiança, podemos excluir 74,1% da população como possíveis fontes do perfil genético.

Frequência no banco populacional: 0

Tamanho do banco populacional: 10 amostras.

Pessoas Desaparecidas Idênticas:

1:

ID amostra: **Cab01**

Caso forense: CF/M/01

Caso especial: CF/M/01

Haploides:

- HVI - 16172C, 16223T, 16278T, 16311C, 16318G, 16319A
- HVII - 73G, 146C, 150T, 152C, 162T, 195C, 196T, 263G, 315.1C, 325T

Data inicial: 13-01-2006

Tipo de amostra: Cabelo

Estado referente: Mato Grosso

Laboratório: AL/01

Responsável: Luis Henrique Teixeira Caetano

2:

ID amostra: **Cab02**

Caso forense: CF/M/01

Caso especial: CF/M/01

Haploides:

- HVI - 16172C, 16223T, 16278T, 16311C, 16318G, 16319A
- HVII - 73G, 146C, 150T, 152C, 162T, 195C, 196T, 263G, 315.1C, 325T

Data inicial: 13-04-2006

Tipo de amostra: Cabelo

Estado referente: Mato Grosso

Laboratório: AL/01

Responsável: Luis Henrique Teixeira Caetano

Figura 59: Resultado final do caso CF/M/01 realizado através do Eva.

5.2.2 Acidente aéreo

Os laboratórios de DNA forense têm grande dificuldade em analisar casos onde o número de amostras seja muito grande. Essa problemática se dá especialmente pela falta de softwares que dêem suporte para a automatização das análises, do armazenamento e da comparação dos perfis destas amostras (BUDOWLE; BIEBER; EISENBERG, 2005).

Podemos citar vários casos famosos que já ocorreram pelo mundo, como, por exemplo, o desastre do Tsunami na Ásia e o ataque de 11 de Setembro das duas torres gêmeas em Nova York, EUA. Podemos também citar um outro caso envolvendo um grande número de mortos, com corpos parcialmente carbonizados, apresentando difícil identificação, o qual foi o incêndio do supermercado no Paraguai, onde as autoridades daquele país pediram ajuda aos países vizinhos, especialmente ao Brasil, para ajudar na identificação de suas vítimas através da análise do DNA.

Grandes desastres envolvem um esforço muito grande de vários laboratórios para tipar e gerenciar as amostras de milhares de vítimas para serem identificadas. O sistema Eva pode vir a contribuir para dar este tipo de suporte, tanto na automatização das análises dessas sequências como na gerência dos seus dados.

Por exemplo, no caso de um acidente aéreo onde mais da metade dos restos mortais dos passageiros não podem ser identificados por outro meio a não ser pelo estudo do seu DNAm, devido à degradação das amostras e considerando que:

- O avião transportava 200 passageiros a bordo.
- 50 dos 200 passageiros puderam ser identificados através de vestígios, sinais no corpo, dentre outros aspectos físicos, como também através da tipagem do seu DNAm.
- Restando, portanto, 150 passageiros para serem identificados através do estudo do DNAm.

Considerando ainda que nenhum destes 150 passageiros possuam algum laço de parentesco de 1º grau entre si, teremos, então, mais 150 famílias à procura da identificação do resto mortal do seu familiar que estava a bordo.

Portanto, o problema consiste em ter 150 reclamantes r_i que, teoricamente, devem ser comparados com cada uma das $N = 150$ amostras não identificadas (dos passageiros), totalizando em 150 iterações i .

Porém, a cada comparação, teoricamente, ocorrerá uma identificação e, portanto, o valor de N será subtraído pelo somatório de i a cada nova iteração. A equação abaixo expressa a quantidade de análises e comparações C que terão de ser realizadas, neste cenário, para que todas as amostras dos passageiros sejam identificadas e ligadas a cada um dos seus 150 reclamantes:

$$C = \sum_{i=0}^{N-1} \sum_{r=1}^1 r_i \cdot (N - i) \quad (5.1)$$

Mesmo que seja relacionado a amostra de um reclamante com a de um passageiro, antes que se termine a comparação com o total das $(N - i)$ amostras, a iteração não poderá ser interrompida, pois estamos considerando que poderá existir a possibilidade de termos passageiros com laços de parentesco de 2º grau em diante e da mesma linhagem materna (primos e ou primas por parte da mãe).

O número de análises de sequências e a quantidade de comparações, para associar as amostras dos passageiros aos seus reclamantes, é grandiosa demais ($C = 11325$) para ser realizada em tempo hábil e com segurança com as práticas e ferramentas a que os laboratórios dispõem e utilizam até os dias de hoje (capítulos 2 e 3).

O sistema Eva busca contribuir, em relação a estas problemáticas, padronizando e automatizando todo o processo de análise das sequências de DNAm, o armazenamento e a comparação de seus dados para o estudo de casos forenses (capítulo 4), que envolvam um grande número de corpos e ou amostras biológicas a serem identificadas.

6 *Conclusões e Trabalhos Futuros*

*“Nada se cria,
nada se perde,
tudo se transforma.”*

Lavoisier

Neste capítulo são apresentados as conclusões e alguns trabalhos futuros ...

6.1 Conclusões

O objetivo primordial deste trabalho foi o de desenvolver uma ferramenta para possibilitar a geração e o armazenamento de perfis de DNA Mitocondrial, com qualidade e segurança, para compor o banco de dados forense e populacional.

Até então, não era possível realizar tal feito devido a ausência de uma ferramenta específica para tratar das sequências e dos dados do DNA Mitocondrial. A falta de integração entre as ferramentas utilizadas pelos laboratórios também contribuía para a deficiência de todo o processo. A maneira como os perfis de DNA Mitocondrial eram gerados e armazenados, em arquivos de texto ou em planilhas, impossibilitava uma gerência adequada para que estes dados pudessem ser analisados e compartilhados entre os laboratórios.

A concepção de se desenvolver um ambiente computacional para dar apoio à análise das sequências do DNA Mitocondrial forense necessitava da integração e automatização das diversas etapas do processo de análise através de um sistema único que pudesse ser comum e acessado pelos diversos laboratórios.

Dentre as diversas problemáticas encontradas durante este estudo, a maior atenção se deu para o desenvolvimento da ferramenta de alinhamento (específica) para as sequências de DNA Mitocondrial. A sua necessidade era extrema, pois todas as outras etapas posteriores de análise dependem do seu serviço. Para isto, pesquisou-se diversos algoritmos e técnicas de alinhamento de sequências (capítulo 3). Esta etapa do estudo foi bastante desgastante e demorada pois diversas sequências, com diferentes características, foram submetidas durante o desenvolvimento do algoritmo de alinhamento para testes.

A definição da estratégia de como realizar o processo de alinhamento também foi um quanto minuciosa devido às diversas abordagens existentes para a comparação de sequências e a elaboração de heurísticas para harmonizar o alinhamento, considerando que existiam dois métodos para atacar o problema:

- O primeiro, através da análise do genoma inteiro do DNA Mitocondrial, alinhando localmente a sua extensão em busca das duas regiões de IIVI ou IIVII.
- O segundo, ter apenas como referência o segmento destas duas regiões e, conseqüentemente, adotar a abordagem de um alinhamento global.

A elaboração e o desenvolvimento deste alinhamento, pelo segundo método, tornou possível a geração de perfis de DNA Mitochondrial em formato padronizado, de acordo com as exigências propostas na literatura (seção 2.12).

O DNA Mitochondrial está sujeito a erros, diante das várias etapas e do seu minucioso processo de análise, desde a sua tipagem à geração e o armazenamento de perfis para comparações no bancos de dados. Um ambiente como o proposto neste trabalho não estaria completo sem uma ferramenta de verificação destes possíveis erros. Deixar que apenas a análise filogenética se encarregasse deste processo de verificação ocasionaria na perda de tempo e na dependência de uma outra ferramenta a parte do Eva. Analisar, verificar e validar os polimorfismos de um haplótipo em questão, com os polimorfismos já validados pela literatura, no MITOMAP, através do Eva, foi uma idéia inovadora para a maioria da comunidade forense, como uma ferramenta para livrar o haplótipo da suspeita de erros.

Felizmente, com a ferramenta de alinhamento padronizada e automatizada para gerar o haplótipo de uma amostra em questão, em conjunto com a técnica de validar os polimorfismos, esta abordagem resolveu as quatro primeiras das cinco classes de erros existentes no processo do DNA Mitochondrial. Infelizmente, a quinta classe de erro está relacionada com a recombinação artificial, só podendo então ser detectada através de uma análise filogenética. No entanto esta classe de erro poderá ser evitada, ao se utilizar boas práticas de manuseio das amostras em laboratório.

Para fins de identificação humana através do DNA Mitochondrial, com o intuito de integrar os diversos laboratórios nacionais, fez-se necessário o armazenamento de seus dados em um banco de dados relacional, centralizado, acessado através de um servidor *Web*. O seu armazenamento em banco de dados relacionais possibilita a segurança e a consistência na formatação dos dados, como também permite o relacionamento entre a criação das três bases de dados de pessoas desaparecidas, reclamantes e de perfis populacionais. Esta última base de dados é indispensável em estudos de casos forenses para estimar o peso de uma evidência (seção 2.9).

As 123 amostras tipadas do Estado de Alagoas, utilizadas para compor o banco de dados populacional do Eva, mostraram boa diversidade genética e estão, portanto, aprovadas para serem utilizadas na prática forense para a identificação humana. Cada Estado Brasileiro poderá passar a utilizar o sistema Eva para compor a sua própria base de dados populacional e assim estará contribuindo, desta forma, para aprimorar a estimativa do peso de uma evidência no território nacional.

A realização deste estudo e o desenvolvimento do ambiente computacional demonstraram resultados que avançam muito em relação às práticas exercidas no estudo de casos forenses pela análise do DNA Mitochondrial humano.

A valorização deste projeto se dá ainda mais pela convivência e o trabalho realizado, diretamente, no laboratório de DNA forense da UFAL, em parceria com o Instituto de Computação, destacando a multidisciplinaridade e a aquisição da excelência exercida neste estudo.

6.2 Trabalhos futuros

Apesar do sistema proposto estar modelado para fins de estudos de casos forenses na identificação humana, o estudo do haplótipo do DNA Mitocondrial possui outras finalidades de pesquisa que poderão ser acoplados ao sistema Eva.

As variações do haplótipo, do DNA Mitocondrial, poderão ser tema de estudo em diversas outras ramificações disciplinares, além da ciência forense. Médicos pesquisadores têm ligado a ocorrência de um número de doenças às mutações que poderão ocorrer no genoma mitocondrial.

Estudos evolucionários poderão ser realizados na variação das sequências do DNA Mitocondrial humano com o de outras espécies no esforço de tentar elucidar algum relacionamento entre eles. Um exemplo de um estudo aplicado nesta linha foi a descoberta de que o homem de Neanderthal não é o ancestral do homem moderno, baseado na análise das sequências obtidas da região controle extraídas de suas ossadas (KRINGS et al., 1997).

Antropólogos moleculares estudam as diferenças nas sequências de DNA Mitocondrial de vários grupos populacionais para examinar a ancestralidade e a migração de povos pela história da humanidade. A maioria destes estudos poderão ser realizados utilizando perfis de DNA Mitocondrial. Por exemplo, como foi constatado por Barbosa (2006), das 123 amostras utilizadas para o banco de dados populacional do Eva, 45% são de origem Africana, 27% Ameríndias e 25% Européias, onde apenas 3% delas não puderam ser classificadas. Com isto, podemos concluir que a população de alagoas, em sua maioria (15%), é descendente da linhagem materna do continente Africano (seção 2.11).

Há ainda algumas possíveis melhoras que poderão ser acrescentadas ao Eva para complementar ainda mais o seu ambiente de funcionalidades. Dentre elas, podemos citar:

- A análise das sequências de F e R, que são criadas a partir do sequenciador, para gerar a sequência consenso de HVI e HVII.
- O módulo calculador probabilístico poderá ser incrementado com novos modelos para diferentes tipos de análises estatísticas que poderão ser realizadas nos perfis encontrados no banco, como, por exemplo:
 - Calcular a diversidade genética, a probabilidade de dois indivíduos escolhidos ao acaso apresentarem haplótipos diferentes.

- Calcular a diversidade de nucleotídeos, a probabilidade de dois nucleotídeos escolhidos ao acaso serem diferentes.
- Calcular a probabilidade de coincidência, dado que dois indivíduos, tomados ao acaso, exibam o mesmo haplótipo.
- Adicionar novos marcadores do genoma mitocondrial para a identificação humana, como a região HVIII e também o estudo de SNP's (minúsculas variações que poderão ocorrer pelo genoma).
- Melhorar a interface gráfica do Eva tornando-a cada vez mais intuitiva para o usuário geneticista.
- Realizar um estudo de complexidade dos algoritmos utilizados pelo Eva, visando diminuir o tempo de resposta, quando o banco populacional estiver com uma grande massa de dados.
- Aprimorar e fortalecer, cada vez mais, a segurança do Eva, visto que o sistema se trata de uma aplicação *Web* e será utilizado por diversos laboratórios do país (Brasil) ou até do mundo. Restringir o seu uso, futuramente, através de uma *virtual private network* (VPN) poderá contribuir, ainda mais, para uma maior segurança no seu controle de acesso, visto que o único controle implementado até agora, desta natureza, se resume a uma conta de *Login* com nome de usuário e senha.

Estas e dentre outras modificações futuras irão fortalecer e ajudar a comunidade forense a realizar estudos de casos para identificar amostras e/ou restos mortais humanos através da análise do seu DNA Mitocondrial.

Referências

- ACHILLI, A. et al. The molecular dissection of mtDNA haplogroup H confirms that the Franco-Cantabrian glacial refuge was a major source for the European gene pool. *American Journal of Human Genetics*, v. 75, p. 910–918, 2004.
- ALLARD, M. W. et al. Characterization of the caucasian haplogroups present in the SWGDAM forensic mtDNA dataset for 1771 human control region sequences. *Journal of Forensic Science*, v. 47, 2002.
- ALLARD, M. W. et al. Characterization of human control region sequences of the African American SWGDAM forensic mtDNA data set. *Forensic Science Internacional*, v. 148, p. 169–179, 2005.
- ALLARD, M. W. et al. Control region sequences for East Asian individuals in the Scientific Working Group on DNA Analysis Methods forensic mtDNA data set. *Legal Medicine*, v. 6, p. 11–24, 2004.
- ALVES-SILVA, J. et al. The Ancestry of Brazilian mtDNA Lineages. *American Journal of Human Genetics*, v. 67, p. 444–461, 2000.
- ANDERSON, S. et al. Sequence and organization of the human mitochondrial genome. *Nature*, v. 290, p. 457–465, 1981.
- ANDREWS, R. M. et al. Reanalysis and revision of the Cambridge reference sequence for human mitochondrial DNA. *Nature Genetics*, v. 23, p. 147, 1999.
- ATTIMONELLI, M. et al. MitBASE: a comprehensive and integrated mitochondrial DNA database. *Nucleic Acids Research*, v. 28, p. 148–142, 2000.
- BANDELT, H.-J. et al. Detecting errors in mtDNA data by phylogenetic analysis. *International Journal of Legal Medicine*, v. 115, p. 64–69, 2001.
- BANDELT, H.-J. et al. The Fingerprint of Phantom Mutations in Mitochondrial DNA Data. *American Journal of Human Genetics*, v. 71, p. 1150–1160, 2002.
- BANDELT, H.-J.; SALAS, A.; BRAVI, C. Problems in the mtDNA database. *Science*, v. 305, p. 1402–1404, 2004.
- BANDELT, H.-J.; SALAS, A.; LUTZ-BONENGEL, S. Artificial Recombination in Forensic mtDNA population databases. *International Journal of Legal Medicine*, v. 118, p. 267–273, 2004.
- BARBOSA, A. B. de G. *Determinação do polimorfismo das seqüências de DNA mitocondrial humano na população de Alagoas, Brasil*. Dissertação (Mestrado) — UFPE, 2006.

- BARNES, M. R.; GRAY, I. C. *Bioinformatics for Geneticists*. [S.l.]: British Library, 2003.
- BENTON, D. Bioinformatics: principles and potential of a new multidisciplinary tool. *Trends in Biotechnology*, v. 14, p. 261–272, 1996.
- BODENTEICH, A. et al. Dinucleotide repeat in the human mitochondrial D-loop. *Human Molecular Genetics*, v. 1, p. 140, 1992.
- BRANDON, M. C. et al. *MITOMAP: a human mitochondrial genome database*. 2001. Último acesso: 2006. Disponível em: <<http://www.mitomap.org>>.
- BRANDSTÄTTER, A.; PARSONS, T. Rapid screening of mtDNA coding region SNPs for the identification of west European Caucasian haplogroups. *International Journal of Legal Medicine*, v. 117, p. 291–298, 2003.
- BUDOWLE, B. et al. Forensic mitochondrial DNA: applications, debates and foundations. *Annual review of Genomics and Human Genetics*, v. 4, p. 119–143, 2003.
- BUDOWLE, B.; BIEBER, F. R.; EISENBERG, A. J. Forensic aspects of mass disasters: Strategic considerations for DNA-based human identification. *Legal Medicine*, v. 7, p. 230–243, 2005.
- BUDOWLE, B.; DIZINNO, J.; WILSON, M. Interpretation guidelines for mitochondrial DNA sequencing. In: *Proceedings of the Tenth International Symposium on Human Identification*. Madison - WI: Promega, 1999. Disponível em: <<http://www.promega.com/ussymp10proc/default.html>>.
- BUDOWLE, B.; POLANSKEY, D.; ALLARD, M. W. Addressing the Use of Phylogenetics for Identification of Sequences in Error in the SWGDAM Mitochondrial DNA Database. *Journal of Forensic Science*, v. 49, 2004.
- BUDOWLE, B. et al. Mitochondrial DNA regions HVI and HVII Population Data. *Forensic Science Internacional*, v. 103, p. 23–35, 1999.
- BUTLER, J. M. *Forensic DNA Typing*. 2^a. ed. [S.l.: s.n.], 2005.
- CAETANO, L. H. T. et al. A Bioinformatic tool to assist in human mtDNA profiles for forensic purposes in Brazil. In: *X-meeting 1^o Internacional Conference on the AB3C*. [S.l.: s.n.], 2005.
- CAETANO, L. H. T. et al. Development of a Bioinformatic tool for analysis, data storage and comparisons of human mtDNA profiles for forensic purposes in Brazil. In: *BIOMAT International Symposium on Mathematical and Computational Biology*. [S.l.: s.n.], 2005.
- CARRACEDO, A. et al. Results of a collaborative study of the EDNAP group regarding the reproducibility and robustness of the Y-chromosome STRs DYS19, DYS389 I and II, DYS390 and DYS393 in a PCR pentaplex format. *Forensic Science Internacional*, v. 119, p. 24–41, 2001.

- CARRACEDO, A. et al. DNA Commission of the International Society for Forensic Genetics: guidelines for mitochondrial DNA. *Forensic Science Internacional*, v. 110, p. 79–85, 2000.
- CARRACEDO, A. et al. Reproducibility of mtDNA analysis between laboratories: a report of the European DNA profiling group (EDNAP). *Forensic Science Internacional*, v. 97, p. 165–170, 1998.
- CHIEN, X. et al. Rearranged mitochondrial genomes are present in the human oocytes. *American Journal of Human Genetics*, v. 57, p. 239, 1995.
- COBLE, M. D. et al. Single nucleotide polymorphisms over the entire mtDNA genome that increase the power of forensic testing in Caucasians. *Internacional Journal of Legal Medicine*, v. 118, p. 137–146, 2004.
- DEBENHAM, P. Heteroplasmy and the Tsar. *Nature*, v. 380, p. 484–485, 1996.
- DENNIS, C. Error reports threaten to unravel databases of mitochondrial DNA. *Nature*, v. 421, p. 773–774, 2003.
- EMBL-EBI. *European Bioinformatic Institute*. 2005. Disponível em: <<http://www.ebi.ac.uk/Tools/>>.
- FORSTER, P. *To Err is Human*. [S.l.]: Annals of Human Genetics, 2003.
- GIBAS, C.; JAMBECK, P. *Descobrendo Bioinformática*. [S.l.]: O'Reilly, 2001.
- GILL, P. et al. Identification of the remains of the Romanov family by DNA analysis. *Nature Genetics*, v. 6, p. 130–135, 1994.
- HOLLAND, M.; PARSONS, T. Mitochondrial DNA Sequence Analysis Validation and use for Forensic Casework. *Forensic Science Rev.*, v. 11, p. 21–50, 1999.
- INGMAN, M. et al. Mitochondrial genome variation and the origin of modern humans. *Nature*, v. 408, p. 708–713, 2000.
- ISENBERG, A. *Forensic Mitochondrial DNA Analysis*. [S.l.]: Forensic Science Handbook, 2004.
- JIN, H. J. et al. Forensic genetic analysis of mitochondrial DNA hypervariable region I/II sequences: An expanded Korean population database. *Forensic Science Internacional*, v. 158, p. 125–130, 2006.
- KOST, S. *An Introduction to SQL Injection Attacks for Oracle Developers*. January 2004. Disponível em: <<http://www.integrigy.com>>.
- KRINGS, M. et al. Neandertal DNA Sequences and the Origin of Modern Humans. *Cell*, v. 90, p. 19–30, 1997.
- LECOMPTE, O. et al. Multiple alignment of complete sequences (MACS) in the post-genomic era. *Gene*, v. 270, p. 17–30, 2001.
- LESK, A. M. *Introduction to Bioinformatics*. [S.l.]: British Library, 2002.

- MELTON, T. Mitochondrial DNA heteroplasmy. *Forensic Science Review*, v. 16, p. 1–20, 2004.
- MILLER, K. W.; BROWN, B. L.; BUDOWLE, B. The Combined DNA Index System. In: *International Congress Series*, [S.l.: s.n.], 2003, p. 617–620.
- MONSON, K. L. et al. *The mtDNA population database: an integrated software and database resource*. 2002. Forensic Science Communications [online]. Disponível em: <<http://www.fbi.gov/hq/lab/fsc/backissu/april2002/miller1.htm>>.
- MONTERA, L. *Regiões ortólogas em múltiplos genomas*. Dissertação (Mestrado) — UFMS, 2004.
- NEEDLEMAN, S.; WUNSCH, C. A general method applicable to the search for similarities in the amino acid sequence of two proteins. *Journal of Molecular Biology*, v. 48, p. 443–453, 1970.
- PARSON, W. et al. The EDNAP mitochondrial DNA population database (EMPOP) collaborative exercises: organisation, results and perspectives. *Forensic Science International*, v. 139, p. 215–226, 2001.
- PARSON, W. et al. EMPPOP - the EDNAP mtDNA population database concept for a new generation, high quality mtDNA database. *Internacional Congress Series*, v. 1261, p. 106–108, 2004.
- PARSONS, T. J. et al. A high observed substitution rate in the human mitochondrial DNA control region. *Nature Genetics*, v. 15, p. 363–368, 1997.
- PEVZNER, P. A. *Computational Molecular Biology*, [S.l.]: MIT press, 2001.
- RAND, S.; SCHÜRENKAMP, M.; BRINKMANN, B. The GEDNAP (German DNA profiling group) blind trial concept. *International Journal of Legal Medicine*, v. 116, p. 199–206, 2002.
- RÖHL, A. et al. An annotated mtDNA Database. *International Journal of Legal Medicine*, v. 115, p. 29–39, 2001.
- RUIZ-PESINI, E. et al. Effects of Purifying and Adaptive Selection on Regional Variation in Human mtDNA. *Science*, v. 303, p. 223–226, 2001.
- SALAS, A. et al. A practical guide to mitochondrial DNA error prevention in clinical, forensic, and population genetics. *Biochemical and Biophysical Research Communications*, v. 335, p. 891–899, 2005.
- SALAS, A.; LAREU, M.; CARRACEDO, A. Heteroplasmy in mtDNA and the weight of evidence in forensic mtDNA analysis: a case report. *International Journal of Legal Medicine*, v. 114, p. 186–190, 2001.
- SANKOFF, D. Minimal mutation trees of sequences. *Journal on Applied Mathematics*, v. 28, p. 35–42, 1975.
- SATOH, M.; KUROIWA, T. Organization of multiple nucleoids and DNA molecules in mitochondria of a human cell. *Experimental Cell Research*, v. 196, p. 137–140, 1991.

- SCHNEIDER, S. et al. *Arlequin ver. 2.000: A software for population genetics data analysis*. University of Geneva, Switzerland.
- SETUBAL, J.; MEHDANIS, J. *Introduction to Computacional Molecular Biology*. [S.l.]: Brooks, United States., 1997.
- SILVA, L. A. F. da; PASSOS, N. S. *DNA Forense: Coleta de Amostras Biológicas em locais de Crime para Estudo do DNA*. 1º. ed. [S.l.]: edUFAL, 2002.
- SMITH, T. F.; WATERMAN, M. S. Identification of Common Molecular Subsequences. *Journal of Molecular Biology*, v. 147, p. 195–197, 1981.
- STEWART, J. et al. Length variation in HV2 of the human mitochondrial DNA control region. *Journal of Forensic Science*, v. 46, p. 862–870, 2001.
- STONEKING, M. et al. Population variation of human mitochondrial DNA control region sequences detected by enzymatic amplification and sequence-specific oligonucleotide probes. *American Journal of Human Genetics*, v. 48, p. 370–382, 1991.
- STONEKING, M. et al. Establishing the identity of Anna Anderson Manahan. *Nature Genetics*, v. 9, p. 9–10, 1995.
- SWGDM. Guidelines for the mitochondrial DNA (mtDNA) nucleotide sequence interpretation. *Forensic Science Communication*, v. 5, 2003. Disponível em: <<http://www.fbi.gov/hq/lab/fsc/backissu/april2003/swgdammitodna.htm>>.
- TICONA, W. G. C. *Aplicação de algoritmos genéticos multi-objetivo para alinhamento de seqüências biológicas*. Dissertação (Mestrado) — USP, 2003.
- TULLY, G. et al. Considerations by the European DNA profiling (EDNAP) group on the working practices, nomenclature and interpretations of mitochondrial DNA profiles. *Forensic Science Internacional*, v. 121, p. 83–91, 2001.
- TULLY, L. A. et al. A sensitive denaturing gradient-gel electrophoresis assay reveals a high frequency of heteroplasmy in hypervariable region 1 of the human mtDNA control region. *The American Journal of Human Genetics*, v. 67, p. 1029–1032, 2000.
- WALLACE, D.; BROWN, M.; LOTT, M. Mitochondrial DNA variation in human evolution and disease. *Gene*, v. 238, p. 211–230, 1999.
- WILSON, M. R. et al. Recommendations for consistent treatment of length variants in the human mitochondrial DNA control region. *Forensic Science Internacional*, v. 129, p. 35–42, 2002.
- WILSON, M. R. et al. Guidelines for the use of mitochondrial DNA sequencing in forensic science. *Crime Laboratory Digest*, v. 20, p. 68–77, 1993.
- WITTIGA, H. et al. Mitochondrial DNA in the central european population human identification with the help of the forensic mtDNA DLoop-Base Database. *Forensic Science Internacional*, v. 113, p. 113–118, 2000.
- YAO, Y.-G.; BRAVI, C. M.; BANDELT, H.-J. A call for mtDNA data quality control in forensic science. *Forensic Science Internacional*, v. 141, p. 1–6, 2004.

Este documento foi preparado utilizando L^AT_EX em conjunto com o editor L^AX.
As referências bibliográficas foram administradas com o editor JabRef.
As referências estão no estilo ABNT da norma 6023.
Contato: zootalk@gmail.com

